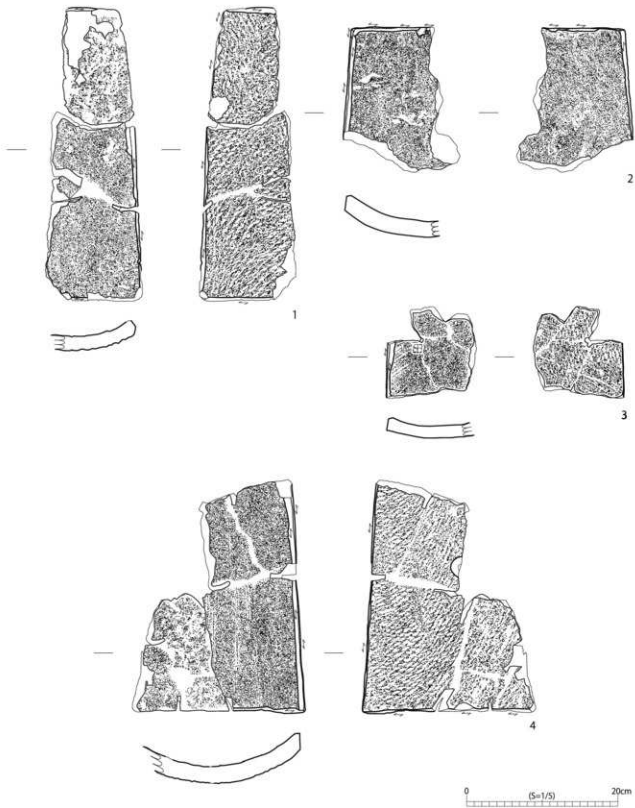
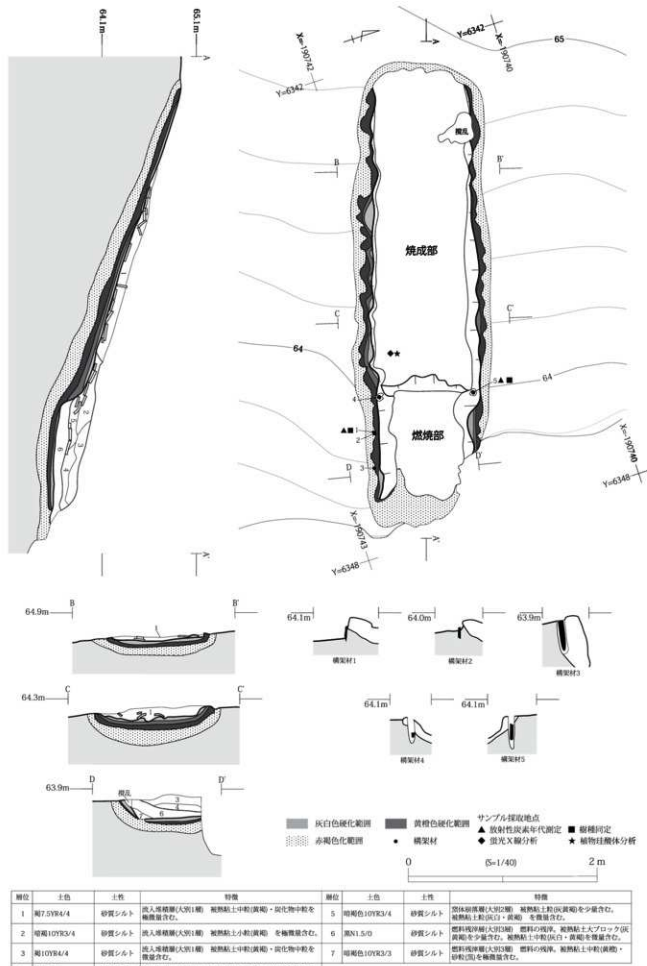


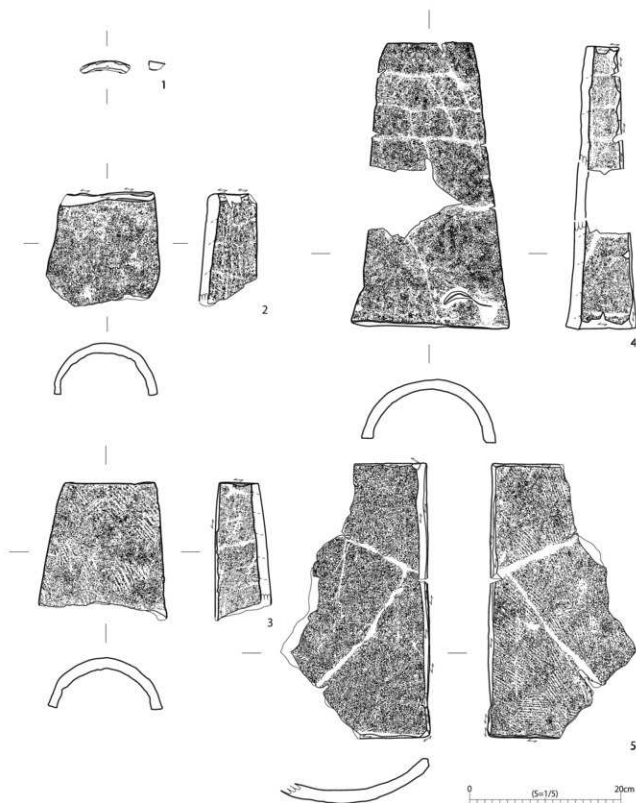
第256図 12号窯跡出土遺物(1)



第257図 12号窯跡出土遺物(2)

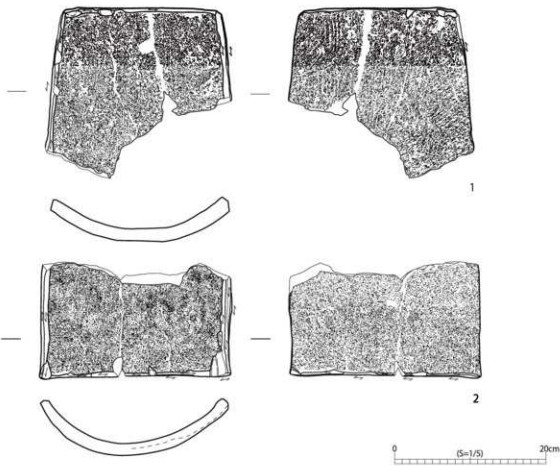


第258図 13号墓跡平面図・土層断面図



番号	遺構名 グリッド	部位	種別	最大長 (cm)	正面幅 (cm)	裏面幅 (cm)	厚さ (cm)	玄(正面) 長(cm)	玄(正面) 厚さ(cm)	色調	成形・調整 参考	物群 番号	写真 番号
1	13号窯跡	1	斜丸瓦	1.2v	-	-	1.2*	0.9+	1.2*	肉面：布目模 + ナデ 凸面：ナデ		F-120	83-5
2	13号窯跡	7	丸瓦	15.1+ 至15.1	-	至10.5	至1.4	-	-	肉面：2.5Y 4/2 凸面：2.5Y 6/1	肉面：粘土模面→布目模 凸面：側面・模様面→ラケツリ	F-121	83-6
3	13号窯跡	4	丸瓦	18.3+ 至18.3	-	至11.8	1.5	-	-	肉面：10YR 6/2 凸面：7.5YR 7/2	肉面：粘土模面→布目模 凸面：側面・模様面→ラケツリ	F-122	83-7
4	13号窯跡	1	丸瓦	38.0	20.8	11.2	1.6	-	-	肉面：10YR 6/1 凸面：10YR 6/1	肉面：粘土模面→布目模 凸面：ケツメイ→ラチナ 模様：ヘラタギ	F-123	83-8
5	13号窯跡	1	平瓦	36.5	9.5+	9.2+	1.8	-	-	肉面：7.5YR 5/1 凸面：3YR 6/1	肉面：布目模 + ナデ 凸面：輪郭→平行タタキ→布目模 + ナデ 模様：ヘラケツリ 模様：粘土模面	G-322	83-9

第259図 13号窯跡出土遺物(1)



番号	泥炭化 グリッド	層位	種別	最大長 (cm)	広場幅 (cm)	鉛直幅 (cm)	厚さ (cm)	瓦当面 長(cm)	瓦当面 厚さ(cm)	色調	成形・調整・備考			写真 番号	写真 面版
											内面	外面	備考		
1 13号窯跡	1	平瓦	22.5+	-	20.9	2.1	-	-	-	内面: SY7/1 外面: SY7/1	内面: 布目面→ナデ 外面: 磨印→ナデ	備考: 開口部→正直	G-323	84-1	
2 13号窯跡	1	平瓦	15.5	25.4	-	1.7	-	-	-	内面: NS7/0 外面: 7.5YRS/1	内面: 布目面→ナデシ 外面: ナデシ	備考: 開口・広場面へラケズリ→広場面正直 新面: たたら粘土貼り合せ板	G-324	84-2	

第260図 13号窯跡出土遺物(2)

【窯体構造】半地下式有階無段の窯窓である。

【規模】残存長4.6m、幅95cm、壁高10cm

【中軸線の方向】N - 72° - W

【操業面数】1面

【焼成部】平面形は、奥壁が削平により失われているが、長方形である。残存長3.4m、最大幅95cm、残存壁高10cm、床面は18°の角度で傾斜する。

床面は凸凹があり、焼台や床面遺物は流入土や後世の削平のために失われている。

壁は、両側壁が床面付近の立ち上がりがわずかに残存している。両側壁とも床面からやや緩やかに立ち上がる。

被熱状況は、残存する壁面・床面は灰白色硬化している。窯体の断ち割り調査では、床面および壁面からⅢ層にかけて灰白色硬化(4cm)、黄橙色硬化(6cm)、赤褐色化(8cm)の状況を確認した。

【燃焼部】平面形は方形である。残存長1.2m、最大幅80cm、残存壁高20cm、床面は4°の角度で傾斜する。焼成部との間の階は高さ25cmで、60°の角度で立ち上がる(写真35-7)。焚口は削平されて残存していない。

構架材は南側壁外で3ヶ所(写真36-2)と、焼成部との間の両側壁内で2ヶ所(写真36-1)の計5ヶ所で検出した。材の直径は壁外のものが2.0~2.5cm、壁内のものが4.0~4.5cmである。

被熱状況は、壁面が黄橙色硬化し、床面の大部分が灰白色硬化している。窯体の断ち割り調査では、床面および壁面からⅢ層にかけて灰白色硬化(4cm)、黄橙色被熱(4cm)、赤褐色被熱(10cm)の状況を確認した。

【堆積層】 大別3層、細別7層を確認した。大別1層は焼土粒を含む窯崩壊後の流入堆積層、大別2層は崩落した天井材、焼土粒を多量に含む黄褐色シルトの窯体崩落層であり、大別3層は燃焼部床面直上の焼土粒や炭化物を多く含む黒色シルトの燃料残滓層である。

【出土遺物】 大別1層から軒丸瓦の周縁部片と無段丸瓦、凸面無文の平瓦が出土しており、大別2層から凸面にハケメ調整が施された平瓦が出土している。総破片数は256点である。7点を図示した。

14号窯跡（SO14）（第261～265図・第14表）

【確認状況】 調査区西側の斜面下方、N-32グリッドに位置する。Ⅲ層上面で確認した。残存状態は斜面上方の10～12号窯跡と比べて良好である。上部は後世の削平を受けて煙出部が失われているが、奥壁の一部が残存している。焼成部と燃焼部を確認した。他の遺構との重複関係はなく、北側に位置する13号窯跡まで9.3m、南側の15号窯跡まで4.9mである。

【窯体構造】 半地下式有階無段の窯窟である。

【規模】 残存長4.2m、幅1.0m、壁高25cm

【中軸線の方向】 N-89°-W

【操業面数】 1面

【焼成部】 平面形は長方形である。全長3.50m、最大幅1.05m、残存壁高25cm、床面は17°の角度で傾斜する。

床面は凸凹があり、焼台は凸面を上にした平瓦を横位に3～5枚並べたものを1列としている。断続的なものもあるが6列確認した（写真36-7）。

壁は、奥壁が残存しており、高さ30cm、床面からの角度が110°で、外反して立ち上がる。側壁は南側壁に比べて北側壁の立ち上がりがやや緩い傾斜となっている。窯体の断ち割り調査の結果、北側壁と床面は粘土塊を繋げながら一連のものとしたことが認められるが、南側壁はそれらとは分離して構築されていた。修築の可能性も考えられるが、側壁すべてが分離しており、貼り替えに伴う痕跡や被熱範囲の相違は認められなかった。

構架材は北側壁外で8ヶ所、南側壁外で5ヶ所の計13ヶ所を検出した（写真36-8）。いずれも炭化しており、直径は1.5cmである。構架材断ち割り調査により、壁に沿ってほぼ垂直か、窯体に向かってやや内側に傾斜して立ち上がることが認められた（写真36-9・10）。

被熱状況は、残存する壁面、床面は灰白色硬化している。窯体の断ち割り調査では、床面および壁面からⅢ層にかけて灰白色硬化（4cm）、黄褐色硬化（6cm）、赤褐色化（12cm）の状況を確認した。

【燃焼部】 平面形は方形である。残存長75cm、最大幅75cm、残存壁高20cm、床面は5°の角度で傾斜する。焼成部との間の階は高さ20cmで、51°の角度で立ち上がる。焚口は削平されて残存していない。

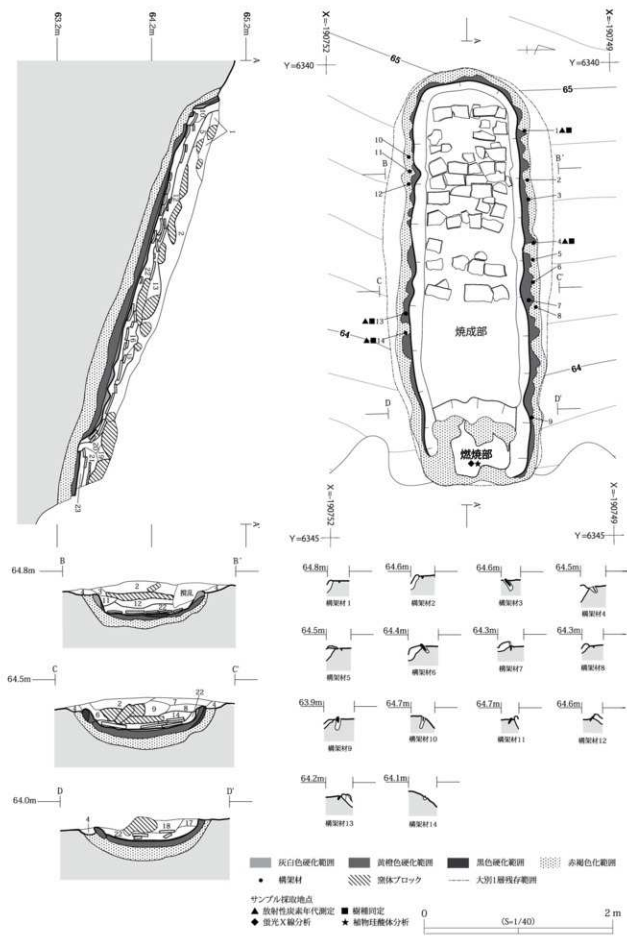
壁は、南側壁が削平によって大部分が失われていたが、北側壁では形状が確認できる状態で残存していた。

構架材は附付近の北側壁外で1ヶ所検出した。材は炭化しており、直径は3.5cmで焼成部のものより太い木材が用いられている。

被熱状況は、壁面は黄褐色化し、床面の大部分は灰白色化していた。窯体の断ち割り調査では、床面および壁面からⅢ層にかけて灰白色化（4cm）、赤褐色化（14cm）の状況を確認した。

【堆積層】 大別4層、細別23層を確認した。大別1層は焼土粒を含む窯崩壊後の流入堆積層で、大別2層は崩落した天井材、焼土粒を含む黄褐色シルトの窯体崩落層である。大別3層は窯廃棄後の流入堆積層で、大別4層は燃焼部床面直上の焼土粒や炭化物を多く含む黒色シルトの燃料残滓層である。

【出土遺物】 大別1層から隅切瓦、大別3層から軒丸瓦の周縁部片、凸面無文の平瓦や「田」押印瓦が出



第261図 14号窯跡平面図・土層断面図

14号窯跡土層觀察表

層位	土色	土性	特徴
1 堀闌10Y3/4	シルト	投入堆積物(大引口)。被熱粘土大ブロック(黄褐色)を少量含む。投入粘土大粒を複数含む。	被熱粘土大ブロック(黄褐色・黃色)を少量含む。
2 堀10Y4/6	砂質シルト	投入堆積物(大引口)。被熱粘土中粒(黄褐色)・被熱粘土中・ブロック(灰褐色)。	投入堆積物(大引口)。被熱粘土中粒(灰・灰白)・泥化物中粒を複数含む。
3 堀10Y4/6	砂質シルト	投入堆積物(大引口)。被熱粘土大粒(灰白)を微量含む。	投入堆積物(大引口)。被熱粘土大粒(黄褐色)を少量含む。
4 にぶい-堀闌10Y5/4	砂質シルト	投入堆積物(大引口)。被熱粘土中粒(黄褐色)を微量含む。	投入堆積物(大引口)。被熱粘土中粒(黄褐色)を微量含む。
5 堀10Y4/4	砂質シルト	投入堆積物(大引口)。黄褐色土を含む。被熱粘土大ブロック(灰褐色)。	投入堆積物(大引口)。被熱粘土大粒(黄褐色)・泥化物中粒を微量含む。土粒子を複数含む。
6 堀10Y4/6	砂質シルト	投入堆積物(大引口)。被熱粘土大粒(黄褐色)・泥化物中粒を微量含む。	投入堆積物(大引口)。被熱粘土中粒(黄褐色)・泥化物大粒を微量含む。
7 堀闌10Y3/4	砂質シルト	投入堆積物(大引口)。被熱粘土中粒(黄褐色・灰白)を微量含む。	投入堆積物(大引口)。被熱粘土中粒(黄褐色)を微量含む。
8 にぶい-堀闌10Y4/3	砂質シルト	投入堆積物(大引口)。被熱粘土中粒(灰・黄褐色)を微量含む。	投入堆積物(大引口)。第1・泥化物中粒を微量含む。
9 にぶい-堀闌10Y5/4	砂質シルト	投入堆積物(大引口)。被熱粘土大粒(黄褐色)・黄褐色を微量含む。	投入堆積物(大引口)。下部に灰を含む。泥化物中粒を微量含む。
10 堀10Y4/6	砂質シルト	腐体堆積物(大引口)。被熱粘土大粒(灰白)を微量含む。	腐体堆積物(大引口)。被熱粘土大粒(灰白)・土粒子を微量含む。
11 堀闌10Y3/4	砂質シルト	腐体堆積物(大引口)。被熱粘土大粒(灰白)・黄褐色を微量含む。	腐体堆積物(大引口)。被熱粘土大粒(灰白)・土粒子(黄褐色)を含む。被熱粘土大粒(灰白)を微量含む。
12 堀10Y4/6	砂質シルト	腐体堆積物(大引口)。被熱粘土大粒(灰白)。	

土している。焼台として確認した床面出土遺物は、熨斗瓦が1点含まれているほかは、すべて平瓦である。総破片数は435点で、13点を図示した。

15号窯跡(SO15)(第266～268図・第14表)

【確認状況】 調査区西側の斜面下方、N-32グリッドに位置する。Ⅲ層上面で確認した。残存状態は悪く、上部は後世の削平と擾乱の影響を受け、奥壁の大半と煙出部が失われ、焼成部と燃焼部を確認した。他の遺構との重複関係はなく、北側に位置する14号窯跡まで4.9m、南側の16号窯跡まで3.65mである。

【窯体構造】 半地下式有階無段の窯窟である。

【規模】 残存長4.35m、幅1.05m、壁高10cm

【中軸線の方向】 N-89°-W

【操業面数】 1面

【焼成部】 平面形は、壁面が大きく崩落しているが、長方形である。残存長3.6m、最大幅1.05m、残存壁高10cm、床面は18°の角度で傾斜する。

床面は凹凸があり、平瓦で構成された焼台を検出した。焼台は奥壁付近で凸面を上にした平瓦を横位に1列4枚並べたものである。

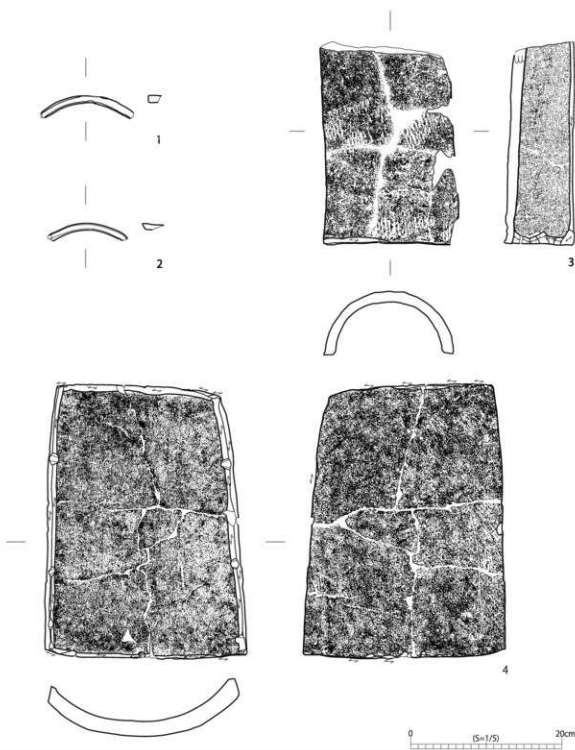
壁は、奥壁が残存しており、高さ15cm、床面からの角度が97°で、外反して立ち上がる。南側壁が削平と擾乱の影響で失われていたが、北側壁の一部を検出した。側壁の外側に架構粘土の残存範囲を確認した。

構架材は北側壁外で1ヶ所、焼成部床下で1ヶ所の計2ヶ所を検出した。材はいずれも炭化しており、直径は2.5cmである。断ち割り調査により垂直に立ち上ることが認められた。構架材1は窯体の断ち割り調査の際、床面を除去した後にⅢ層の赤褐色化面から検出された(写真37-5)。構架材2は北側壁際に床面とほぼ同じ高さで認められ、天井架構粘土と北側壁の間の側壁外に材を設置した後に粘土塊を被覆して天井を架構していったものと考えられる。

被熱状況は、残存する壁面、床面は黄褐色硬化している。窯体の断ち割り調査では、床面および壁面からⅢ層にかけて黄褐色硬化(8cm)、黒色硬化(4cm)、赤褐色化(8cm)の状況を確認した。

【燃焼部】 平面形は方形である。残存長70cm、最大幅70cm、残存壁高20cm、床面は6°の角度で傾斜する。焼成部との間の階は高さ20cmで、78°の角度で立ち上がる。焚口は削平されて残存していない。

壁は、焼成部と同様に南側壁が擾乱によって失われており、北側壁の一部を確認するのみである。

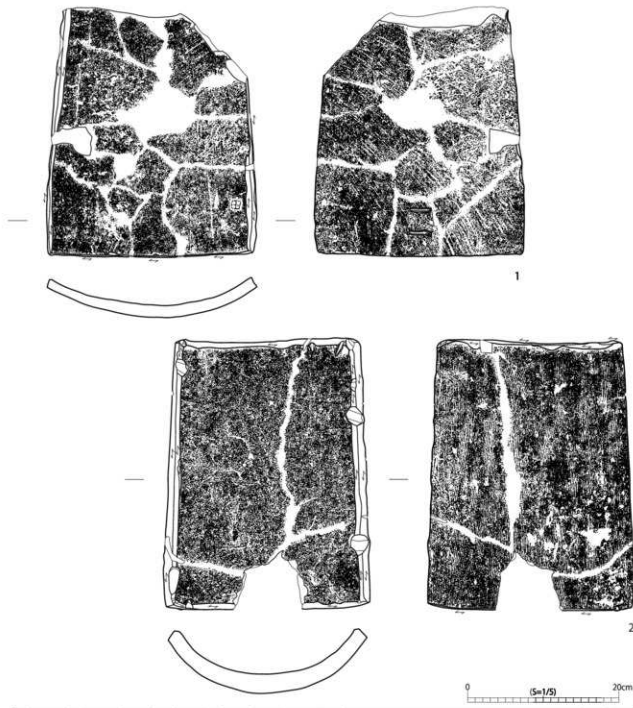


番号	遺物名 グリッド	層位	種別	最大長 [cm]	正面幅 [cm]	裏面幅 [cm]	厚さ [cm]	裏当面 [cm]	裏当面 厚さ [cm]	色調	成形・調整・備考			登録 番号	写真 番号
											前面	背面	側面		
1	14号窓跡	22	軒丸瓦	1.6+	-	-	-	12.3+	1.6+	黒褐色	前面：2.5Y 6/1 背面：3.5Y 7/1	前面：ナデ 背面：ナデ		F-124	84-3
2	14号窓跡	22	軒丸瓦	2.8+	-	-	-	10.8+	2.8+	黒褐色	前面：2.5Y 5/1 背面：2.5Y 5/1	前面：ナデ 背面：ナデ		F-125	84-4
3	14号窓跡	22	丸瓦	26.8+ 玉	16.6+ 玉	-	1.5 玉	-	-	黒褐色	前面：7.5R5/1 背面：NS5/0	前面：粘土練成→布目板 背面：側面・底面面へラケズリ		F-126	84-5
4	14号窓跡	22	平瓦	36.9	26.6	21.6	2.4	-	-	黒褐色	前面：布目板→ナデケシ 背面：ナデケシ	前面：ナデケシ→任重		G-325	84-6

第262図 14号窓跡出土遺物(1)

被熱状況は、壁面と床面の大部分は黄褐色硬化していた。窓体の断ち割り調査では、床面および壁面からⅢ層にかけて黄褐色硬化（4 cm）、赤褐色化（6 cm）の状況を確認した。

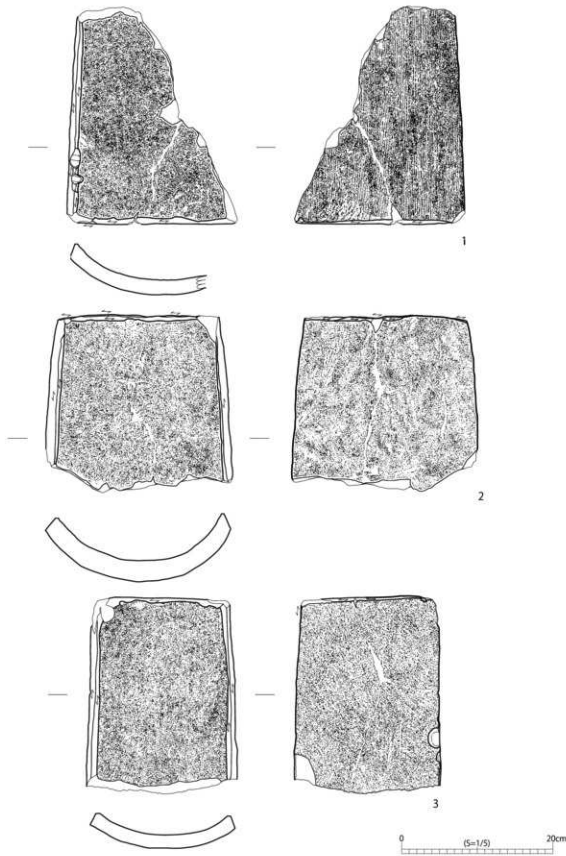
【堆積層】 大別3層、細別13層を確認した。大別1層は崩落した天井材、焼土粒を含む黄褐色シルトの



第263図 14号窯跡出土遺物(2)

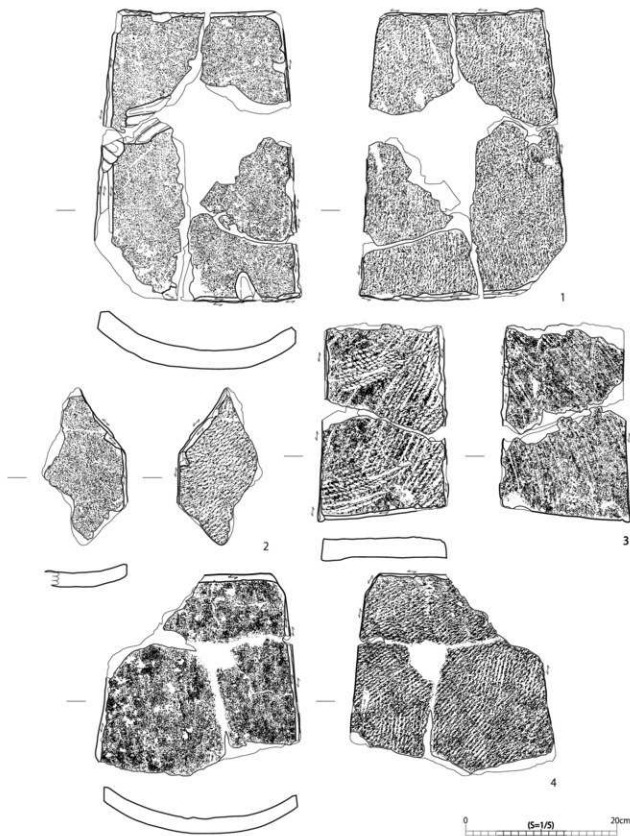
窯体崩落層、大別2層は窯操業終了後に流入した流入堆積層である。大別3層は燃焼部床面直上の炭化物、焼土粒を含む黒色シルト主体の燃料残滓層である。

【出土遺物】 大別1層から面戸瓦と考えられる道具瓦が出土しており、他に無段丸瓦や重弁蓮華文軒丸瓦が出土している。大別2層から隅切瓦、大別3層から「田」押印瓦が出土している。焼台として確認した瓦はすべて平瓦である。そのほかの出土遺物の大半は流入土の影響を受けて原位置をとどめていない。総破片数は433点で、8点を図示した。



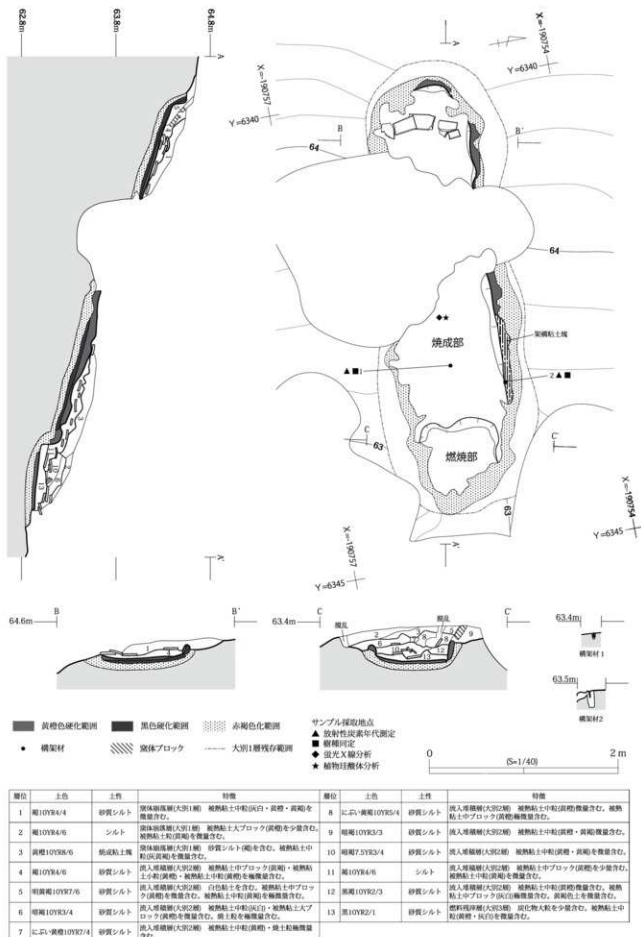
第264図 14号窯跡出土遺物(3)

番号	遺構名 グリッド	部位	種別	最大長 (cm)	広場幅 (cm)	狭場幅 (cm)	厚さ (cm)	瓦当面 長(cm)	瓦当面 厚さ(cm)	色調	成形・調理・備考		登録 番号	写真 番号
											凹面	凸面		
1	14号窯跡	22	平瓦	28.8+	20.9+	-	2.0	-	-	表面: Ng/0 底面: Ng/0	凹面: 布目板→ナデケシ 凸面: 滾印引き→ハケメ 縁縫: 無し・広場面ヘラケズリ→縁面江底	G-328	85-3	
2	14号窯跡	22	平瓦	23.2+	-	18.7	2.8	-	-	表面: Ng/0 底面: Ng/0 縁縫: 無し・広場面ヘラケズリ→縁面江底	G-329	86-1		
3	14号窯跡	22	平瓦	26.1+	-	15.2 (17.5)	2.0	-	-	表面: Ng/0 底面: Ng/0	凹面: 手切り舟→布目板→ナデケシ 凸面: 滾印引き→ナデケシ 縁縫: 無し・狭場面ヘラケズリ→江底	G-330	86-3	

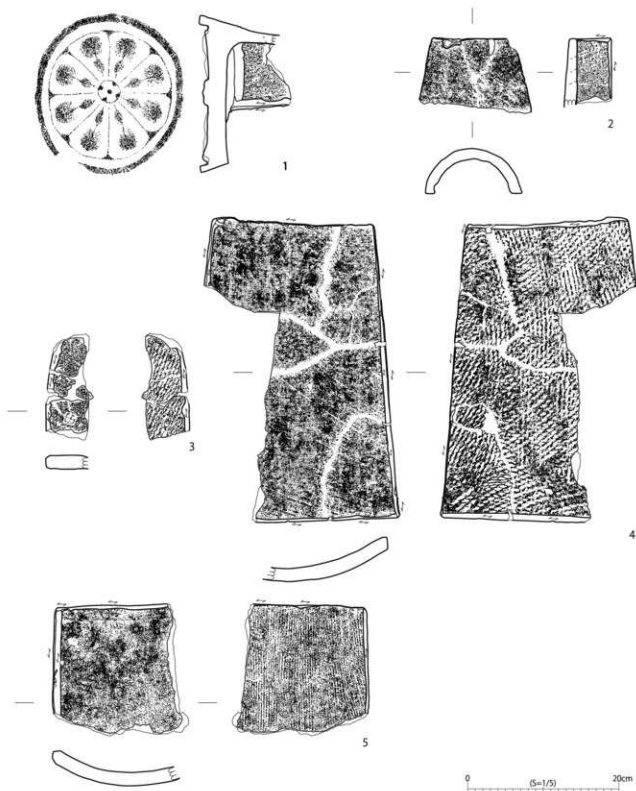


番号	遺構名 グリッド	解説	幅	最大長 (cm)	広場幅 (cm)	狭場幅 (cm)	厚さ (cm)	瓦当面 長(cm)	瓦当面 厚さ(cm)	色調	成形・調整 備考	登録 番号	写真 番号
1	14号窓跡	22	平瓦	38.6 (27.3)	17.9	21.0	2.9	-	-	表面: IOYRS/1 裏面: IOYRS/1	表面: 布目板→ナデ→圧痕 裏面: ハケズリ→圧痕	G-331	86-5
2	14号窓跡	22	脇切瓦	20.8+ 10.7+	-	2.0	-	-	-	表面: NS/0 裏面: NS/0	表面: 布目板→ナデ 裏面: ハケズリ	H-047	86-2
3	14号窓跡	22	脇切瓦	26.3+	17.1	-	2.8	-	-	表面: IOY 5/1 裏面: ハケズリ→脇切→布目板→ナデ 裏面: ハケズリ→脇切	表面: 布目板→ナデ 裏面: ハケズリ→脇切	H-048	86-4
4	14号窓跡	3	脇切瓦	26.8+	-	8.6 (19.8)	2.1	-	-	表面: SYR 6/1 裏面: NS/0	表面: 布目板→ナデ 裏面: 圧印	H-049	86-6

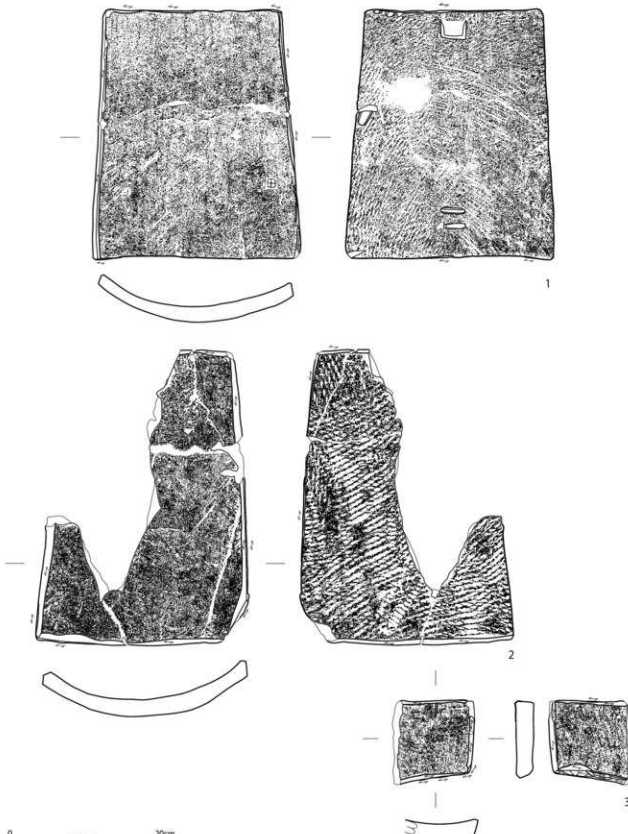
第265図 14号窓跡出土遺物(4)



第266図 15号窯跡平面図・土層断面図



第267図 15号窯跡出土遺物(1)



第268図 15号窯跡出土遺物(2)

番号	遺物名 グリッド	層位	種別	縦大径 [cm]	横幅 [cm]	厚さ [cm]	直面	直面 厚さ [cm]	凹面	凹面 厚さ [cm]	成形・調整・備考		登録 番号	写真 回数
											内面	外面		
1	15号窯跡	1	平瓦	33.2	26.9	2.3	2.2	-	-	-	内面：IOYR 5/2 凸面：IOYR 6/2	内面：糸切り面→ナデケシ 凸面：糸切り面→側印き→ナデ→凹面 内面：ヘラケズリ	G-335	87-6 101
2	15号窯跡	2	蹲汎瓦	39.0	24.6	6.6 (20.4)	2.4	-	-	-	内面：IOYR 5/2 凸面：IOYR 6/4	内面：糸切り面→ナデケシ 凸面：側印き→ナデ→凹面 内面：ヘラケズリ	H-050	88-1
3	15号窯跡	1	面戸瓦	11.1	9.5+	2.5	-	-	-	-	内面：IOYR 4/1 凸面：IOYR 4/1	内面：布目面→ナデケシ 凸面：側印き→ナデケシ 内面：ヘラケズリ	H-051	88-2

16号窯跡 (SO16) (第269~278図・第14表)

【確認状況】 調査区西側の斜面下方、N-31°・32.0-32グリッドに位置する。Ⅲ層上面で確認した。上部は後世の削平を受けて、煙出部と奥壁の一部が失われているが、両側壁の残存状態は良好であった。焼成部と燃焼部、灰原を確認した。灰原は17号窯跡の灰原と重複し、17号窯跡の灰原が本窯跡灰原を一部で覆っている。北に位置する15号窯跡まで3.65m、南に隣接する17号窯跡で1.35mである。

【窯体構造】 半地下式無階無段の窯窓である。

【規模】 残存長4.95m、幅1.1m、壁高30cm

【中軸線の方向】 N-73°-W

【操業面数】 1面

【焼成部】 平面形は、長方形である。残存長3.8m、最大幅1.1m、残存壁高30cm、床面は19°の角度で傾斜する。

床面はやや凹凸がある。焼台は不明である。

壁は、奥壁が残存しており、高さが25cmで、床面から108°の角度で、外反して立ち上がる。側壁は両側壁ともに15~30cm残存しており、南側壁よりも北側壁の立ち上がりがやや緩い傾斜となっている。窯体の断ち割り調査の結果、14号窯跡と同様に北側壁と床面は粘土塊を繋げながら一枚のものとして構築し、南側壁はそれらとは分離して貼り付けていることを確認した。また、燃焼部に近い南側壁の上部に、天井部に連続すると考えられる粗いスサ入り粘土が、側壁をくるむようにして貼り付けられていた(写真38-7)。また、南側壁上部の断面で窯壁の造り替えに伴う粘土塊の貼り替え痕跡を確認した。

構架材は南側壁外で2ヶ所検出した(写真38-3~6)。いずれも炭化しており、材の直径は2.5cmで、構架材の断ち割り調査により、壁に伴ってほぼ垂直に立ち上がることを確認した。

被熱状況は他の窯とやや異なり、残存する壁面、床面は全体的ではなく、斑状に黄橙色硬化していた。窯体の断ち割り調査では、黄橙色硬化(4cm)、黒色硬化(6cm)、赤褐色化(10cm)の状況を確認した。窯体縦割り断面では床面の黄橙色硬化と黒色硬化が交互に連続していることを確認した。

【燃焼部】 平面形は方形である。残存長1.15m、最大幅75cm、残存壁高15cmで、床面は9°の角度で傾斜する。階は無くⅢ層を貼って床面としており、被熱によって赤褐色化している。

側壁は、南側壁が削平によってほぼ失われ、北側壁も立ち上がりが確認できる程度の状態であった。窯体の断ち割り調査の際に、燃焼部床下から焼成部床下にかけて径8cm、長さ40cmの炭化材を確認した(写真38-11)。床下からの炭化材出土と焼成部床面の被熱範囲の差異から燃焼部の造り替えか、焼成部の拡張が行われたことが看取され、このことから操業回数は2回以上あったとみられる。

構架材は南側壁に3本検出した。いずれも炭化しており、直径は2.0~3.5cmである。構架材3と5は断面形が1辺3~3.5cmの方形で、埋設のために面取りされていた。

被熱状況は、壁面が黄橙色硬化し、床面の大部分は赤褐色化していた。窯体の断ち割り調査では、黄橙色硬化(6cm)、赤褐色化(10cm)の状況を確認した。

【前庭部】 削平されて不明である。

【灰原】 燃焼部の東側に黒褐色シルト範囲が見られた。17号窯跡の灰原と重複している。範囲は、削平により失われた部分もあるが、南北2.65m、東西2.8mで、不整円形である。堆積状況は南側上部を17号窯跡の灰原の堆積土によって覆われていた。

【堆積層】 大別6層、細別42層を確認した。大別1層は焼土粒を含む窯崩壊後の流入堆積層、大別2層は崩落した天井材、焼土粒を多量に含む黄褐色シルトの窯体崩落層である。大別3層は炭化物や焼土を含む燃料残

16号窓跡・17号窓跡土層観察表

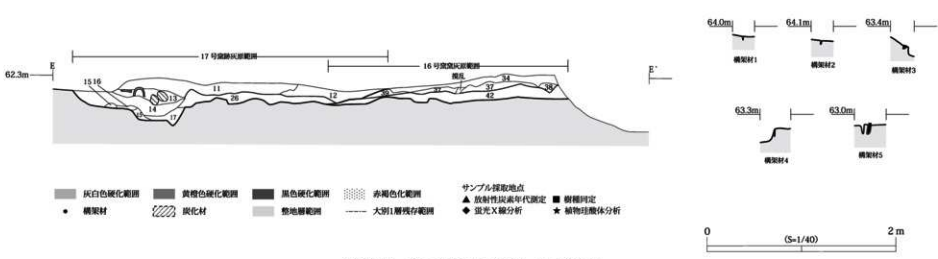
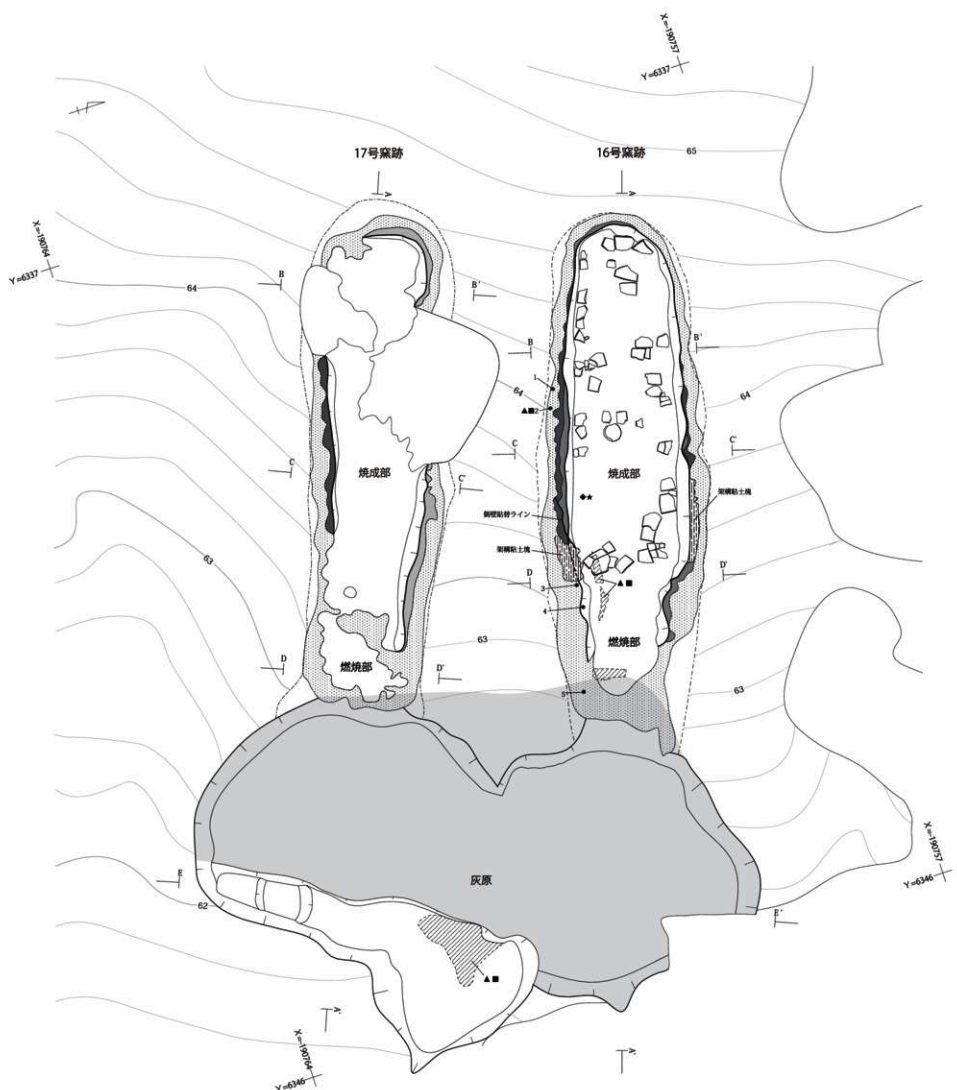
層位	土色	土性	特徴	層位	土色	土性	特徴
1 にぶい黄褐色10YR4/3	砂質シルト	流入堆積物(大別1層) 被熱粘土(黄褐色)-被熱粘土(灰褐色)を複数含む。	22 黄10YR4/6	砂質シルト	泥体原基層(大別2層) 砂質シルト(黄褐色)-被熱粘土中粒(黄褐色)を複数含む。		
2 黄10YR4/6	砂質シルト	流入堆積物(大別1層) 被熱粘土(灰褐色)-被熱粘土(灰褐色)を複数含む。	23 黄褐色10YR2/3	砂質シルト	泥体原基層(大別2層) 被熱粘土(灰褐色)-被熱粘土(灰褐色)-灰白、黃褐色-炭化物大粒を複数含む。		
3 にぶい黄褐色10YR5/4	砂質シルト	流入堆積物(大別1層) 被熱粘土(灰褐色)-被熱粘土(灰褐色)を複数含む。	24 黄10YR5/6	砂質シルト	泥体原基層(大別2層) 炭化物中粒を複数含む。		
4 黄10YR4/4	砂質シルト	流入堆積物(大別1層) 被熱粘土(灰褐色)-灰褐色、炭化物大粒を複数含む。	25 黄10YR5/6	砂質シルト	泥体原基層(大別2層) 被熱粘土(灰褐色)-被熱粘土(灰褐色)-炭化物小粒を複数含む。		
5 にぶい黄褐色10YR4/3	砂質シルト	流入堆積物(大別1層) 被熱粘土(灰褐色)-炭化物大粒を複数含む。	26 黄10YR4/4	砂質シルト	泥体原基層(大別2層) 被熱粘土(灰褐色)-黃褐色-炭化物を複数含む。		
6 噴褐色10YR4/4	砂質シルト	人入堆積物(大別1層) 被熱粘土(灰褐色)-炭化物大粒を複数含む。	27 噴褐色10YR3/4	砂質シルト	泥体原基層(大別2層) 被熱粘土(灰褐色)-炭化物を複数含む。		
7 黄10YR4/5	砂質シルト	流入堆積物(大別1層) 砂質シルト(黄褐色)を複数含む。	28 黄10YR1.7/1	砂質シルト	泥体原基層(大別2層) 被熱粘土(灰褐色)-黃褐色-灰白色-土粒下部に砂質を複数含む。		
8 噴褐色10YR3/3	砂質シルト	流入堆積物(大別1層) 被熱粘土(灰褐色)-明黄色、炭化物を複数含む。	29 黄褐色10YR5/6	砂質シルト	泥体原基層(大別2層) 被熱粘土(灰褐色)-炭化物-土粒を複数含む。		
9 噴褐色10YR3/4	砂質シルト	流入堆積物(大別1層) 被熱粘土(灰褐色)-炭化物大粒少許含む。	30 黑褐10YR3/2	砂質シルト	泥体原基層(大別2層) 被熱粘土(灰褐色)-炭化物-土粒を複数含む。		
10 噴褐色10YR3/4	砂質シルト	流入堆積物(大別1層) 被熱粘土(灰褐色)-炭化物小粒複数含む。	31 にぶい黄褐色10YR4/3	砂質シルト	泥体原基層(大別2層) 被熱粘土(灰褐色)-炭化物大粒を複数含む。		
11 黑褐10YR2/3	砂質シルト	流入堆積物(大別1層) 被熱粘土(灰褐色)-炭化物大粒を複数含む。	32 黑褐10YR3/2	砂質シルト	泥体原基層(大別2層) 炭化物大粒を複数含む。		
12 にぶい黄褐色10YR4/3	砂質シルト	流入堆積物(大別1層) 被熱粘土(灰褐色)-黃褐色を少許含む。	33 黄褐色10YR3/3	砂質シルト	泥体原基層(大別2層) 被熱粘土中粒を複数含む。		
13 噴褐色10YR3/3	砂質シルト	人入堆積物(大別1層) 被熱粘土(中粒) 炭化物小粒を複数含む。	34 黄褐色10YR2/3	砂質シルト	泥体原基層(大別2層) 炭化物中粒を複数含む。		
14 黄2.5Y5/6	砂質シルト	人入堆積物(大別1層) 被熱粘土(小粒) 黄褐色少許含む。	35 黄褐色10YR2/3	砂質シルト	泥体原基層(大別2層) 被熱粘土(小粒) 黄褐色少許含む。		
15 黄10YR4/4	砂質シルト	泥体原基層(大別2層) 被熱粘土(灰褐色)-少量含む。	36 噴褐色10YR3/3	砂質シルト	泥体原基層(大別2層) 炭化物中粒-土粒を複数含む。		
16 にぶい黄褐色10YR4/5	砂質シルト	泥体原基層(大別2層) 被熱粘土(中粒) 明黄色、炭化物中粒を複数含む。	37 にぶい黄褐色10YR5/4	砂質シルト	泥体原基層(大別2層) 炭化物中粒-炭化物大粒を少許含む。		
17 黄褐色10YR5/6	砂質シルト	人入堆積物(大別1層) 被熱粘土(小粒) 黄褐色少許含む。	38 黄褐色10YR2/2	砂質シルト	泥体原基層(大別2層) 被熱粘土(中粒) 灰褐色-炭化物大粒-土粒を複数含む。		
18 黄10YR4/4	砂質シルト	泥体原基層(大別1層) 被熱粘土(中粒) 黄褐色少許含む。	39 黄褐色10YR4/2	砂質シルト	泥体原基層(大別2層) 被熱粘土(中粒) 黄褐色少許含む。		
19 にぶい黄褐色10YR4/3	砂質シルト	泥体原基層(大別1層) 砂質シルト(褐色)-被熱粘土(中粒) 黄褐色少許含む。	40 黄褐色10YR2/1	砂質シルト	泥体原基層(大別2層) 下部に灰褐色を含む。		
20 黄10YR4/6	砂質シルト	泥体原基層(大別1層) 砂質シルト(褐色)を複数含む。	41 にぶい黄褐色10YR6/3	シルト	泥体原基層(大別2層) 白灰色少許含む。		
21 黑褐10YR3/3	砂質シルト	泥体原基層(大別1層) 被熱粘土(灰褐色)-黃褐色を複数含む。	42 にぶい黄褐色10YR5/4	シルト	泥体原基層(大別2層) 灰褐色少許含む。		

17号窓跡

層位	土色	土性	特徴	層位	土色	土性	特徴
1 噴褐色10YR3/4	砂質シルト	人入堆積物(大別1層) 被熱粘土(灰褐色)-炭化物大粒を複数含む。	15 黄褐色10YR7/6	砂質シルト	泥体原基層(大別2層) 砂質シルト(褐色)を複数含む。		
2 黄10YR4/4	砂質シルト	人入堆積物(大別1層) 被熱粘土(灰褐色)-白灰色を少許含む。	16 黄褐色10YR7/4	砂質シルト	泥体原基層(大別2層) 砂質シルト(褐色)を複数含む。		
3 黄褐色10YR3/4	砂質シルト	人入堆積物(大別1層) 被熱粘土(小粒) 黄褐色を複数含む。	17 にぶい黄褐色10YR5/3	砂質シルト	泥体原基層(大別2層) 被熱粘土(中粒) 灰褐色-炭化物大粒-土粒を複数含む。		
4 にぶい黄褐色10YR5/4	砂質シルト	人入堆積物(大別1層) 被熱粘土(灰褐色)-黃褐色-黃褐色を複数含む。	18 黄褐色10YR3/2	砂質シルト	泥体原基層(大別2層) 灰褐色少許含む。		
5 噴褐色10YR3/4	砂質シルト	人入堆積物(大別1層) 被熱粘土(小粒) 黄褐色を複数含む。	19 黄褐色10YR2/2	砂質シルト	泥体原基層(大別2層) 灰褐色少許含む。		
6 黄2.5Y5/6	シルト	人入堆積物(大別1層) 被熱粘土(小粒) 黄褐色少許含む。	20 黄褐色10YR4/6	砂質シルト	泥体原基層(大別2層) 灰褐色少許含む。		
7 黄2.5Y4/6	シルト	人入堆積物(大別1層) 士粒を複数含む。	21 黄10YR1.7/1	砂質シルト	泥体原基層(大別2層) 被熱粘土(中粒) 黄褐色少許含む。		
8 噴褐色10YR3/4	砂質シルト	死灰堆積物(大別2層) 砂質シルト(褐色)を複数含む。	22 黄10YR1.7/1	砂質シルト	泥体原基層(大別2層) 被熱粘土(中粒) 黄褐色少許含む。		
9 黑褐10YR2/3	シルト	死灰堆積物(大別2層) 士粒を複数含む。	23 黄褐色10YR3/2	砂質シルト	泥体原基層(大別2層) 被熱粘土(中粒) 黄褐色少許含む。		
10 黄褐色10YR4/2	砂質シルト	死灰堆積物(大別2層) 灰褐色(土)を含む。	24 黄褐色10YR2/2	砂質シルト	泥体原基層(大別2層) 士粒-土粒を少許含む。		
11 にぶい黄褐色10YR4/3	砂質シルト	死灰堆積物(大別2層) 灰褐色少許含む。	25 黄褐色10YR3/1	シルト	泥体原基層(大別2層) 士粒-土粒を少許含む。		
12 にぶい黄褐色10YR4/3	シルト	死灰堆積物(大別2層) 士粒-土粒を複数含む。	26 にぶい黄褐色10YR6/3	粘土質シルト	泥体原基層(大別2層) 白灰色少許含む。		
13 黑褐10YR2/2	砂質シルト	死灰堆積物(大別2層) 被熱粘土(灰褐色)-黃褐色を少許含む。	27 噴褐色10YR3/3	シルト	泥体原基層(大別2層) 灰褐色少許含む。		
14 黑褐10YR2/1	砂質シルト	死灰堆積物(大別2層) 被熱粘土(灰褐色)-黃褐色を少許含む。					

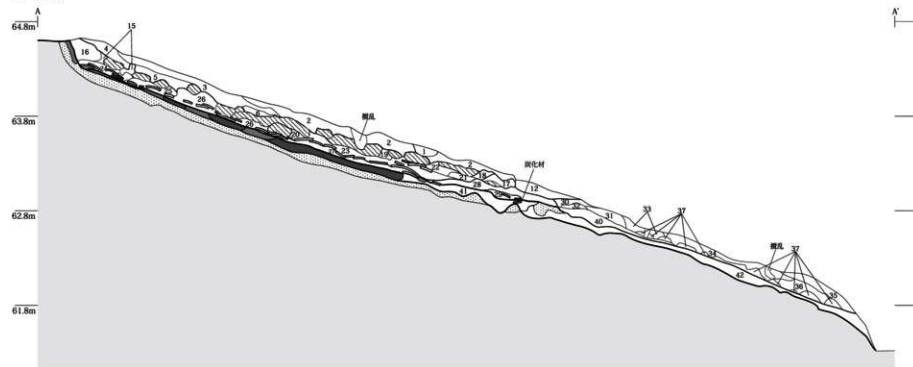
萍層、あるいは抵抗層にともなう赤褐色化したⅢ層主体の燃焼部床層である。大別4層は灰原堆積層、大別5層は燃焼部の貼り替え、大別6層は灰原整地層である。

【出土遺物】 大別1層で熨斗瓦、大別2・3層で無段瓦丸・隅切瓦、大別5層で重弁蓮華文軒丸瓦が出土している。床面出土遺物として確認した瓦類の大半が平瓦である。総破片数は664点で、26点を図示した。

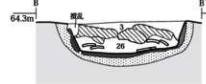


第269図 16・17号窯跡平面図・土層断面図

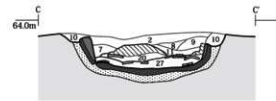
16号窯跡



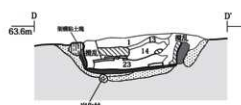
K'



B'

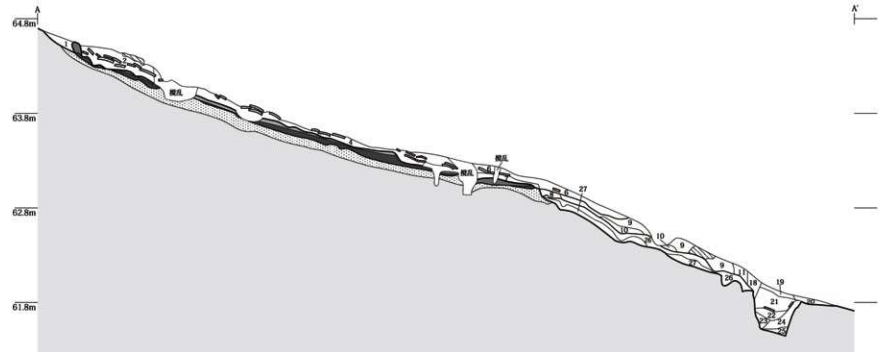


C'



D'

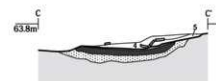
17号窯跡



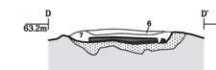
K'



B'



C'

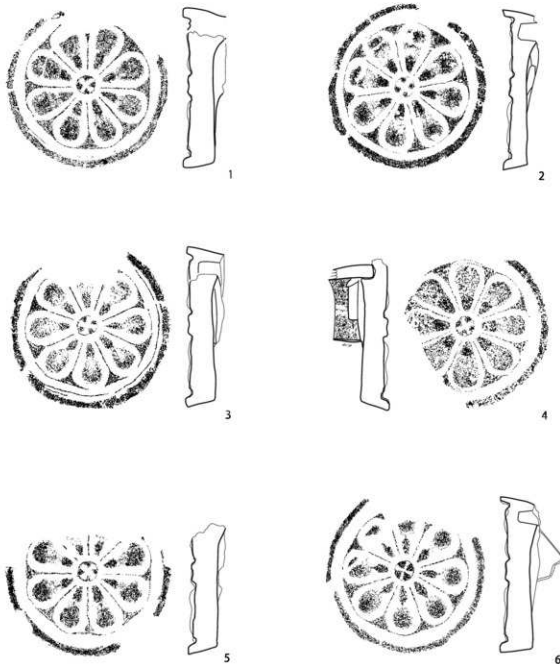


D'

■ 灰白色焼化粧土
■ 黄褐色焼化粧土
■ 黒色焼化粧土
■ 未焼化粧土
△△△ 滲水ブロック
□□□ 塩化物

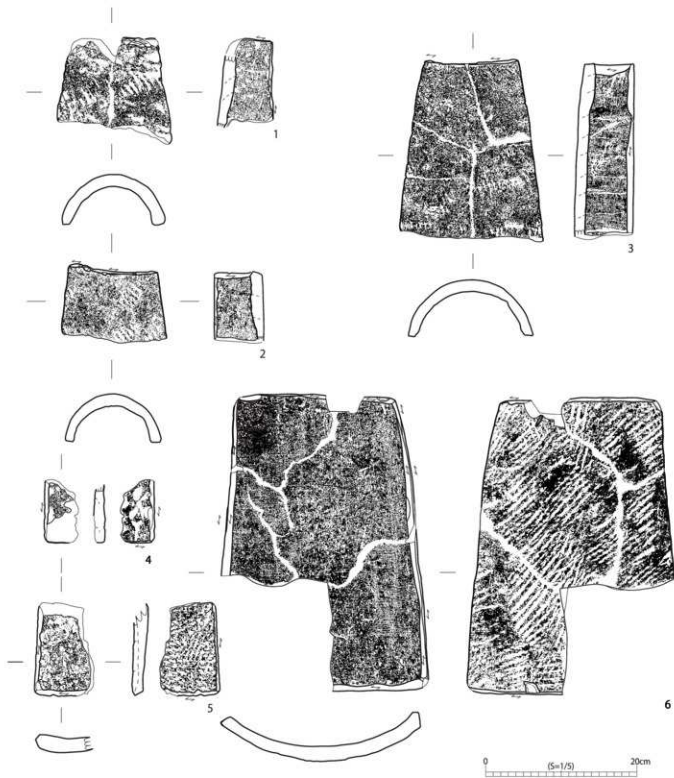
第270図 16・17号窯跡土層断面図

0
(S=1/40)
2m



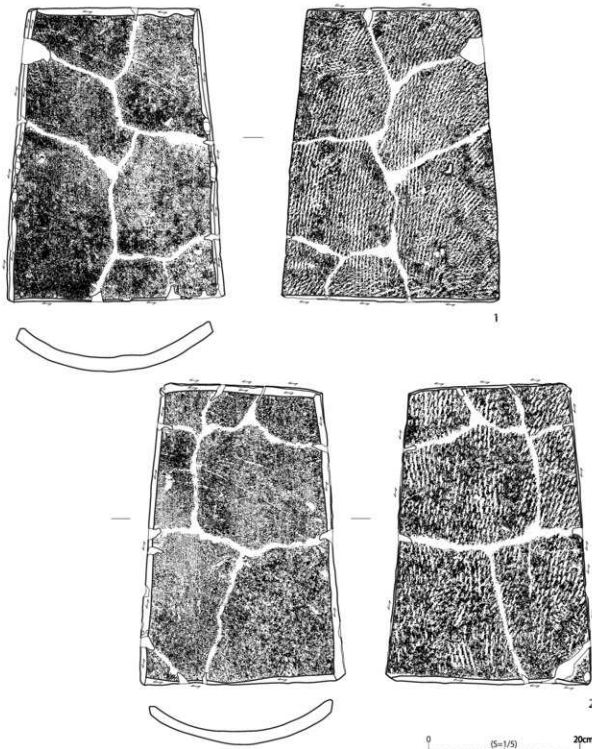
第271図 16号窯跡出土遺物(1)

番号	遺物名 グリッド	部位	幅員 (cm)	広幅 (cm)	狭幅 (cm)	厚さ (cm)	直当面 (cm)	瓦当面 (cm)	色調	成因・調査 参考			登録 番号	写真 番号
										瓦当面	瓦当裏	周縁		
1	16号窯跡	27	軒丸瓦	5.0+	-	-	18.0 (20.2)	3.2	瓦当面: 2.5Y 8/1 瓦当裏: 10YR 1/1 周縁: 10YR 1/2	瓦当面: 四 瓦当裏: ヘラケズリ→ナデ 周縁: ヘラケズリ→ナデ	調査面: 有目輪写	F-129	88-3	
2	16号窯跡	27	軒丸瓦	4.6+	-	-	21.2	2.5	瓦当面: 5Y 7/1 瓦当裏: 10YR 5/2 周縁: 10YR 4/1	瓦当面: 四 瓦当裏: ヘラケズリ→ナデ 周縁: ヘラナデ	調査面: 有目輪写	F-130	88-4	
3	16号窯跡	27	軒丸瓦	4.7+	-	-	21.2	4.0	瓦当面: 10YR 5/2 瓦当裏: 10YR 6/1 周縁: 10YR 4/1	瓦当面: 四 瓦当裏: ヘラケズリ→ナデ 周縁: ヘラナデ	調査面: 有目輪写	F-131	88-5	
4	16号窯跡	27	軒丸瓦	4.7+	-	-	20.0	3.1	瓦当面: 5Y 7/1 瓦当裏: 5Y 7/1 周縁: 7.5YR 7/3 内側: 7.5YR 7/3	瓦当面: 四 瓦当裏: ヘラケズリ→ナデ 周縁: ヘラナデ	調査面: 有目輪写	F-132	88-6	
5	16号窯跡	27	軒丸瓦	4.5+	-	-	17.9+	3.4	瓦当面: 10YR 6/1 瓦当裏: 10YR 6/1 周縁: 10YR 6/1	瓦当面: 四 瓦当裏: ヘラケズリ→ナデ 周縁: ヘラケズリ→ナデ	調査面: 有目輪写	F-133	88-7	
6	16号窯跡	26	軒丸瓦	6.9+	-	-	20.5	3.2	瓦当面: 10YR 6/1 瓦当裏: 10YR 6/1 周縁: 10YR 6/1	瓦当面: 四 瓦当裏: ヘラケズリ→ナデ 周縁: ヘラケズリ→ナデ	調査面: 有目輪写	F-134	88-8	



番号	遺物名 グリッド	部位	幅 mm	正面幅 mm	正面幅 mm	側面幅 mm	厚さ mm	裏面 厚さ mm	色面	成形・調整 参考	写真 番号
1	16号窯跡 灰瓦	35	丸瓦	14.1± 至14.4	-	至4.4 (11.5)	至1.2	-	凹面：10YR 6/3 凸面：2.5Y6/2	凹面：粘土細面→布日面 凸面：脚印き→ロクロナデ 側面：側面・底面へケズり	F-135 89-1
2	16号窯跡	29	丸瓦	10.4± 至10.4	-	至1.4	至1.6	-	凹面：7.5Y 5/1 凸面：7.5Y 6/1	凹面：粘土細面→布日面 凸面：脚印き→ロクロナデ 側面：側面・底面へケズり→側面直粗	F-136 89-2
3	16号窯跡	26	丸瓦	24.1±	-	12.4	1.6	-	凹面：2.5Y 6/2 凸面：10YR 6/2	凹面：粘土細面→布日面→一部ナデ 凸面：脚印き→ロクロナデ→ハラ ケズり→一部ナデ 側面：側面・底面へケズり	F-137 89-3
4	16号窯跡 灰瓦	35	丸瓦	8.4±	4.4±	-	1.4	-	凹面：2.5Y 6/2	凹面：粘土細面→布日面 凸面：ナデ 側面：側面・底面へケズり	F-138 89-4
5	16号窯跡 灰瓦	31	平瓦	12.3±	7.0±	-	2.1	-	凹面：10YR 6/2 凸面：10YR 6/2	凹面：布日面 凸面：脚印き 側面：側面・底面へケズり 削面：たらたら粘土貼り合せ曲 面：ヘラナズリ 側面：ヘラケズり→秋端面・底面直粗	G-336 89-5
6	16号窯跡	29	平瓦	39.2	11.8 (27.3)	20.7	2.0	-	凹面：5Y 7/1	凹面：布日面→ナデ→一部ナラケズり 凸面：脚印き→一部布日面→一部 ナラケズリ 側面：ヘラケズり→秋端面・底面直粗	G-337 89-6

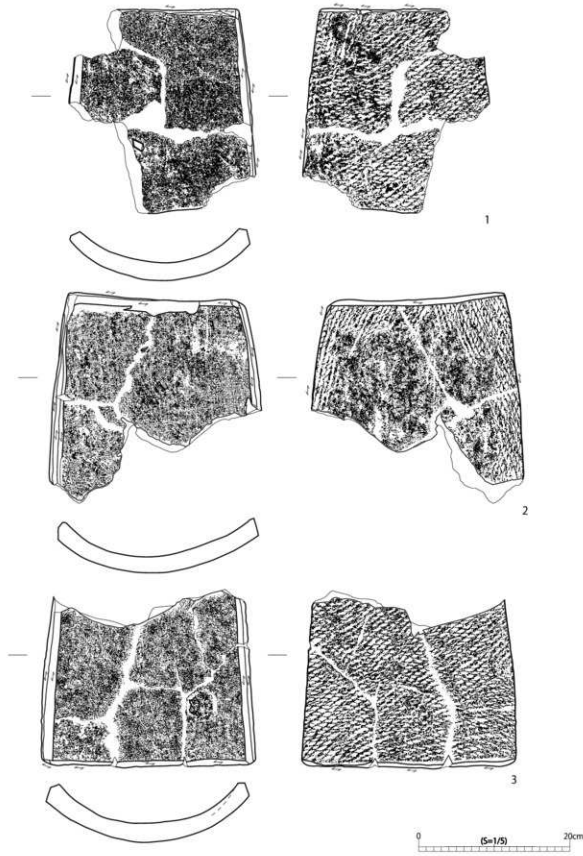
第272図 16号窯跡出土遺物(2)



第273図 16号窯跡出土遺物(3)

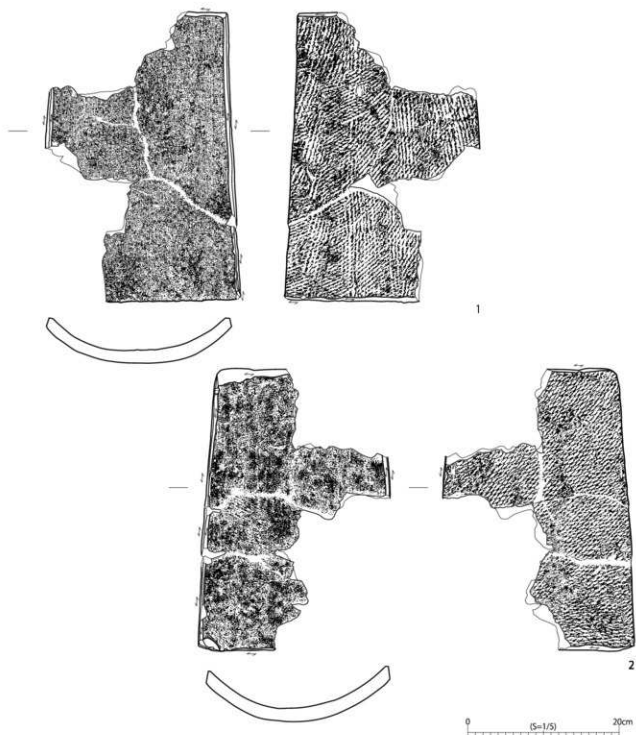
17号窯跡(SO17) (第 268・269・279～281図・第14表)

【確認状況】 調査区西側の斜面下方、O-31・32 グリッドにかけて位置する。Ⅲ層上面で確認した。残存状態は悪く、上部は後世の削平を受けて煙出部と奥壁の一部が失われていた。焼成部と燃焼部、灰原を確認した。灰原は 16号窯跡灰原と重複し、一部で 16号窯跡の灰原を覆っている。16号窯跡と規模、構造などが近似すること



第274図 16号窯跡出土遺物(4)

番号	遺物名 グリッド	組位	種別	最大径	式端幅	背端幅	厚さ	瓦当面	瓦当面 厚さ(cm)	色調	成形・調整 編号			登録 番号	写真 頁数
											内面	外面	備考		
1	16号窯	27	平瓦	26.9	8.9 (25.4)	15.7 (20.7)	2.5	-	-	黒褐色	内面：7.5YR 2/3 内面：素切竹格子→布目織マツダ 内面：素切竹格子→布目織マツダ 内面：素切竹格子→布目織マツダ	内面：素切竹格子→布目織マツダ 内面：素切竹格子→布目織マツダ 内面：素切竹格子→布目織マツダ	G-340	90-2	
2	16号窯	26	平瓦	27.0+	-	22.4	2.3	-	-	黒褐色	内面：5.5YR 7/2 内面：素切竹格子→布目織マツダ 内面：素切竹格子→布目織マツダ	内面：素切竹格子→布目織マツダ 内面：素切竹格子→布目織マツダ	G-341	90-3	
3	16号窯	26	平瓦	23.6+	28.8	-	2.6	-	-	黒褐色	内面：10YR 6/2 内面：素切竹格子→布目織マツダ 内面：素切竹格子→布目織マツダ	内面：素切竹格子→布目織マツダ 内面：素切竹格子→布目織マツダ 内面：素切竹格子→布目織マツダ	G-342	91-1	



第275図 16号窯跡出土遺物(5)

から同時操業していたと考えられる。北側に隣接する16号窯跡との間隔は1.35mである。

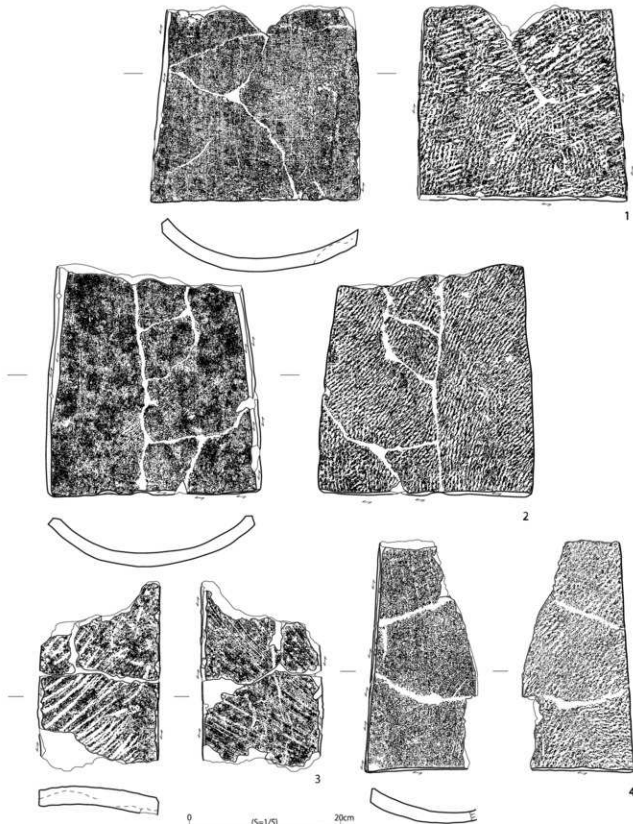
【窯体構造】半地下式無階無段の窯窟である。

【規模】残存長4.95m、幅85cm、壁高10cm

【中軸線の方向】N-68°W

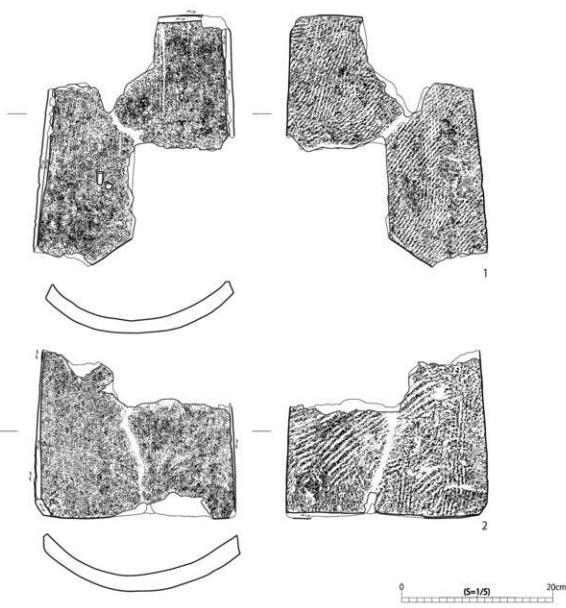
【操業面数】1面

番号	遺物名 ダリッド	層位	種別	頭大長 (cm)	広場幅 (cm)	鉄鋸幅 (cm)	厚さ 奥面(cm)	瓦当面 奥面(cm)	瓦当面 厚さ(cm)	色調	成形・調型 備考	登録 番号	写真 回数
5	16号窯	23	平瓦	38.4	17.7 (28.0)	5.2 (22.9)	1.8	-	-	凹面: 布目模→一部ナデ 凸面: ヘラケズリ	凹面: IOYR 4/1 凸面: IOYR 4/1	G-343	91-2
2	16号窯	23	平瓦	37.3	10.1 (25.4)	9.1 (22.9)	1.9	-	-	凹面: 布目模→ナデケシ 凸面: ヘラケズリ	凹面: IOYR 4/2 凸面: IOYR 4/2	G-344	91-3



第276図 16号窯跡出土遺物(6)

番号	遺跡名 グリッド	断面	種別	最大長 (cm)	広場幅 (cm)	块塊幅 (cm)	厚さ (cm)	瓦当面 厚さ(cm)	色調	成形・調整		写真 番号
										凹面	凸面	
1	16号窯	23	平瓦	26.1+ 27.6	-	1.8	-	-	黒褐色	凹面：糸切り面→布目面→ナメ	凸面：網叩き	G-345 92-1
										凹面：側面・底面面ハケズリ→底面削り直		
2	16号窯	2	平瓦	30.8+ 28.0	-	1.8	-	-	黒褐色	凹面：糸切り面→布目面→ナメ	凸面：網叩き→一部ナメ	G-347 92-4
										凹面：側面・底面面ハケズリ→底面削り直		
3	16号窯	29	掣斗瓦	25.2+ 15.8+	-	2.5	-	-	表面	表面：糸切り面→一部ナメ	表面：糸切り面→布目面	H-052 92-2
										表面：側面・底面面ハケズリ→底面削り直	表面：網叩き→一部ナメ	
4	16号窯	2	平瓦	30.7+ 13.5+	-	1.8	-	-	黒褐色	凹面：糸切り面→布目面→ナメ	凸面：網叩き→布目面→一部ハケズリ	G-346 92-3
										凹面：側面・底面面ハケズリ		



番号	焼成化 グリッド	解説	標示	最大長 (cm)	正面幅 (cm)	裏側幅 (cm)	厚さ (cm)	裏(左) 厚さ(cm)	裏(右) 厚さ(cm)	色調	成形・焼成 簡考		目録 番号	写真 番号
											前面	背面		
1 16号窯跡	29	焼切瓦	33.2+	-	5.9 (23.7)	2.2	-	-	-	鉄青	斜切り底→布目底→アーチ、工具削突痕	凸面：焼切瓦→布目底	H-053	93-1
2 16号窯跡	29	焼切瓦	22.2-	25.5	-	2.4	-	-	-	鉄青	斜切り底→布目底→アーチ	凸面：焼切瓦	H-054	92-5

第277図 16号窯跡出土遺物(7)

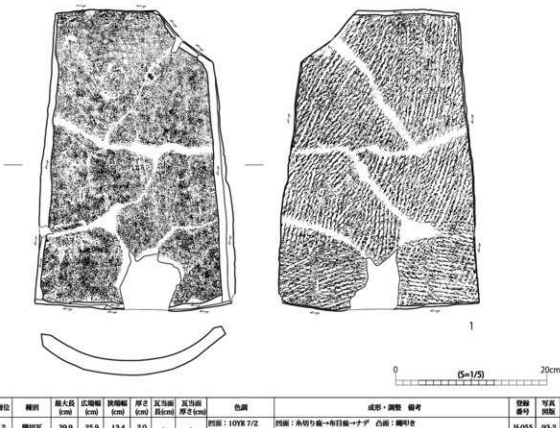
【焼成部】平面形は、長方形である。残存長3.4m、最大幅85cm、残存壁高10cm、床面は18°の角度で傾斜する。

床面は凹凸があり、焼台は確認できなかった。

壁は、奥壁が残存しており、高さ10cmで、床面から102°の角度で西側に外反して立ち上がる。側壁は両側とも削平のため大部分が失われており、窯体の断ち割り調査で確認した赤褐色化範囲の立ち上がりでかろうじて認められた。

被熱状況は、残存する壁面・床面は灰白色硬化しているが全体的ではなく、焼成部中央が最も灰白色化し、奥壁付近と燃焼部付近が黄橙色化範囲であった。窯体の断ち割り調査では、床面および壁面からⅢ層にかけて灰白色化(4cm)、黄橙色化(6cm)、赤褐色化(10cm)の状況を確認した。

【燃焼部】平面形は方形である。焼成部との境と思われる位置にゆるやかな段差を検出したが、階とは認められず、無階とした。残存長1.55m、最大幅75cm、残存壁高5cm、床面は10°の角度で傾斜する。



第278図 16号窯跡出土遺物(8)

壁は、南側壁が削平によって失われており、北側壁も形状が確認できる程度の状態であった。

被熱状況は、壁面が弱く灰白色硬化し、床面の大部分は灰白色硬化していた。窯体の断ち割り調査では、灰白色硬化（4cm）、赤褐色硬化（10cm）の状況を確認した。

【前庭部】 削平されて不明である。

【堆積層】 大別3層、細別27層を確認した。大別1層が黄褐色シルト主体の流入堆積層、大別2層が灰原堆積層、大別3層は灰原整地層である。

【灰原】 燃焼部の東側に黒褐色シルト範囲が見られた。範囲は、搅乱により失われた部分もあるが、南北約3.40m、東西約3.65mの不整形円形である。堆積状況は、北側で16号窯跡の灰原に伴う堆積土を覆っていた。灰原の東端に東西0.5～1.6m、南北3.3m、深さ0.6mの落込み部が検出され、その底面から燃料に用いられた後に廃棄されたとみられる炭化材を東西0.8m、南北0.6mの範囲で確認した。

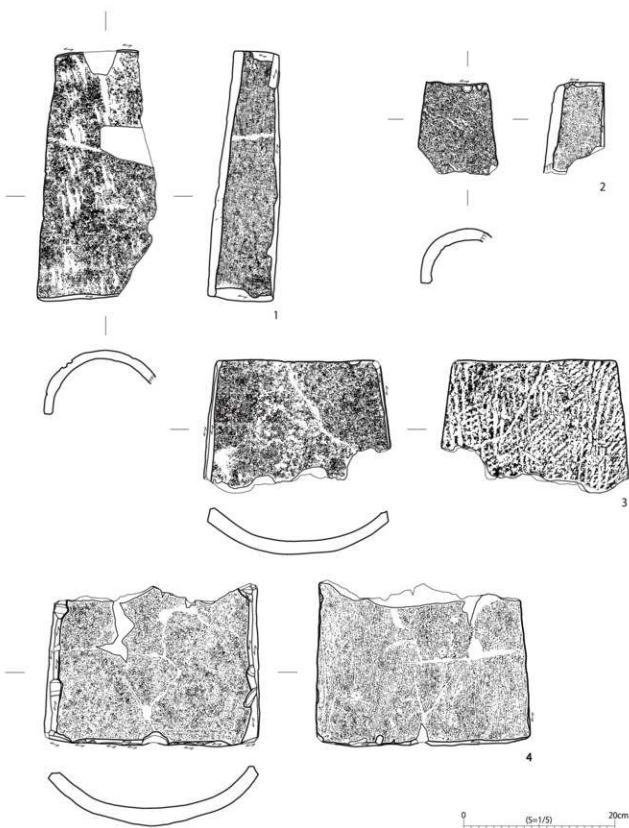
【出土遺物】 大別1・2層から無段丸瓦・隅切瓦・熨斗瓦、灰原から重弁蓮華文軒丸瓦が出土している。総破片数は517点で、14点を図示した。

18号窯跡(SO18) (第282～285図・第14表)

【確認状況】 調査区西側の東斜面下方、L-32・33、M-33グリッドにかけて位置する。Ⅲ層上面で確認した。煙出部から焼成部上半まで後世の削平のために失われている。焼成部の一部、燃焼部と灰原が残存する。搅乱による削平のため焚口と前庭部は失われていた。他の遺構との重複関係はなく、南側に位置する13号窯跡との間隔は6.85mである。

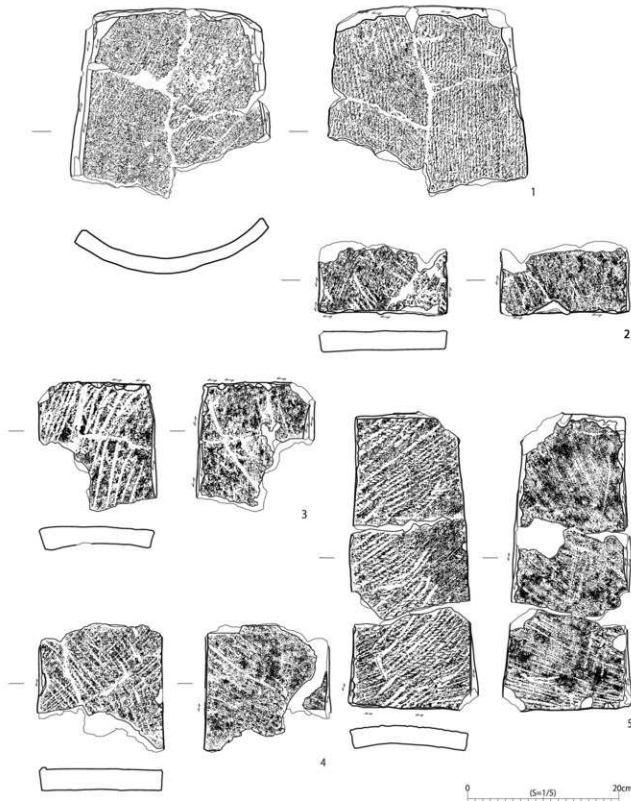
【窯体構造】 半地下式有階無段の窑室である。

【規模】 残存長2.35m、幅1.0m、壁高5cm



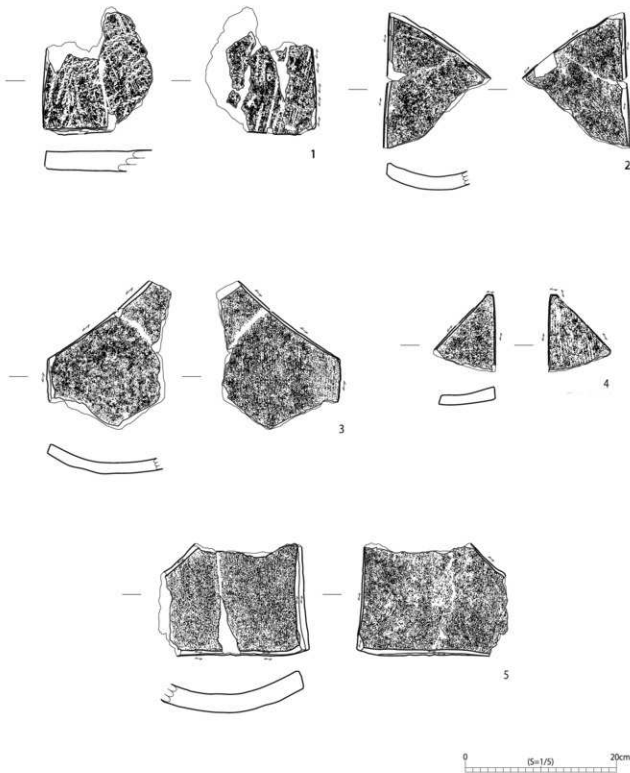
番号	遺構名 グリッド	解説	種別	底面 長 [cm]	正面幅 [cm]	側面幅 [cm]	厚さ 底 [cm]	厚さ 正 [cm]	厚さ 側 [cm]	色調	成形・調整 備考		標本 番号	写真 番号
											前面	背面		
1	17号窯跡 K18	11	丸底	33.3	10.9+	10.6+	1.5	-	-	黒面: 2.5Y 5/1 凸面: 2.5Y 6/1	粘土焼成→削り板+一部ナメ	輪印き→ロクロナデ	F-139	93-3
2	17号窯跡 K18	2	丸底	12.3 至12.3	-	8.80	1.1.6	-	-	黒面: 7.5YR 6/2 凸面: 10YR 6/1	粘土焼成→削り板 輪印・側面・底面面ハラケズリ	輪印き→ロクロナデ	F-140	93-4
3	17号窯跡 K18	11	平底	17.6+	-	20.8	1.9	-	-	黒面: 2.5Y 7/2 凸面: 10YR 7/3	輪印・側面・底面面ハラケズリ	輪印き→ロクロナデ	G-348	94-1
4	17号窯跡 K18	2	丸底	22.0+	27.6	-	2.3	-	-	黒面: NS/0 凸面: NS/0	ナマシ	ハマメ→ナナデ 側面・底面面ハラケズリ→日版	G-349	94-2

第279図 17号窯跡出土遺物(1)



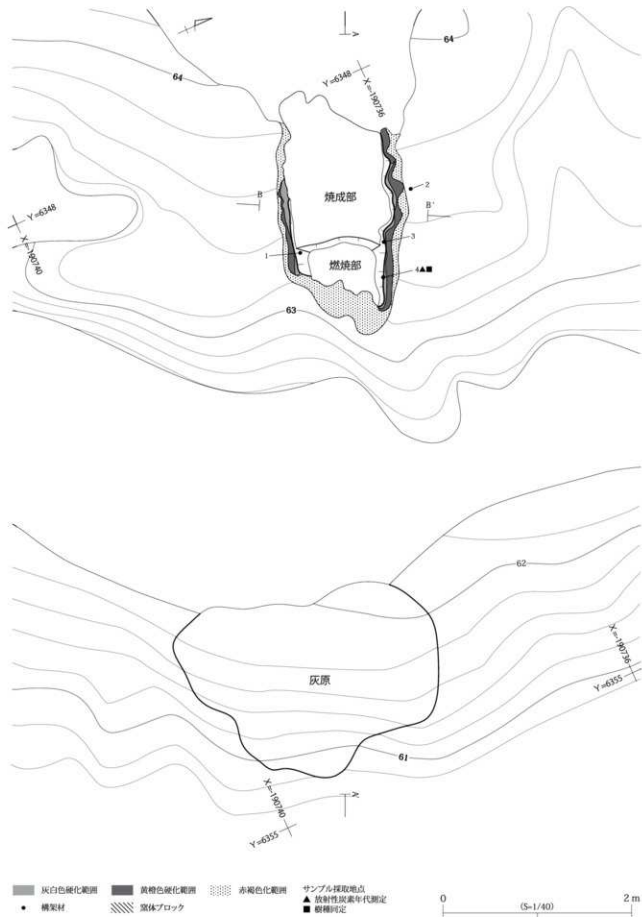
番号	遺構名 グリッド	部位	標高	最大長 (mm)	正面幅 (mm)	背面幅 (mm)	厚さ (mm)	正面面 積(mm ²)	背面面 積(mm ²)	色調	成形・調整 痕跡	骨質 番号	写真 図版
1	17号窓跡	2	平瓦	25.1+	-	16.8 (22.9)	2.2	-	-	表面: SYW7/1 背面: SY7/1	表面: 細切り縞→毎日削→一部ナメ 背面: 剥離・剥離面へラケツリ	G-350	94-3
2	17号窓跡 瓦屋	11	複半瓦	9.3+	16.9	-	2.5	-	-	表面: SY7 5/1 裏面: 10YR 5/1	表面: 細切り縞→細引抜→部ナメ 裏面: 剥離・下端面へラケツリ→芯面	H-056	94-4
3	17号窓跡 瓦屋	11	複半瓦	16.9+	-	11.6 (14.6)	3.0	-	-	表面: SY 6/1 裏面: 10YR 6/1	表面: 細切り縞→窓中型→細切り縞→毎日削→一部ナメ 裏面: 剥離・上端面へラケツリ→芯面	H-057	94-5
4	17号窓跡 瓦屋	9	複半瓦	17.0	16.3+	-	2.7	-	-	表面: 10YR 5/1 裏面: 10YR 5/1	表面: 細切り縞→窓中型→細切り縞→毎日削 裏面: 剥離へラケツリ	H-058	94-6
5	17号窓跡 瓦屋	9	複半瓦	39.3	8.2 (12.9)	14.8 (17.2)	2.6	-	-	表面: 10YR 6/2 裏面: 10YR 5/2	表面: 細切り縞→窓中型→細切り縞→毎日削 裏面: ラケツリ→側面・上端面削面、切り抜としの切り込み面	H-059	94-7

第280図 17号窓跡出土遺物(2)

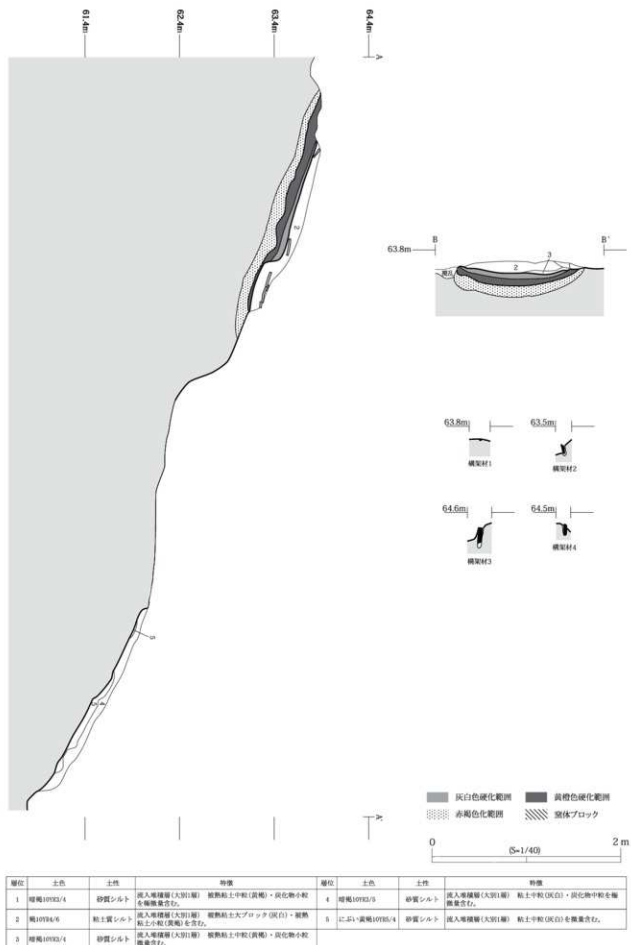


番号	遺構名 グリッド	解説	種別	最大長 (cm)	正面幅 (cm)	背面幅 (cm)	厚さ (cm)	正面面 長(cm)	正面面 厚さ(cm)	色調	成形・調整 備考	出 日 月 年
1	17号窓跡 8		複斗瓦	16.9+	9.2+	-	2.6	-	-	表面: IOYR 6/1 裏面: IOYR 6/1	表面: 斜切り端→窓印き 傷面: 斜切り端→右刃痕 周縁: 刮削・下端部へラケズリ→下端部へラクス痕	H-060 95-1
2	17号窓跡 4		複斗瓦	17.8+	13.9+	-	1.7	-	-	表面: IOY 5/1 裏面: IOYR 5/1	表面: ナデケシ 白面: ハケメードダケシ 周縁: 刮削・斜端面へラケズリ・斜端面切り落し痕	H-061 95-2
3	17号窓跡 2		複斗瓦	19.6+	15.4+	2.0+	1.5	-	-	表面: 2.5Y 4/1 裏面: IOYR 4/1	表面: 布目刷→ナデケシ 白面: 窓印き→布目刷→ハケメ 周縁: 刮削・斜端面へラケズリ	H-062 95-3
4	17号窓跡 2		複斗瓦	10.2+	8.1+	0.8	1.6	-	-	表面: 7.5YR 5/1 裏面: N 5/0	表面: 布目刷→ナデ 白面: 窓印き→ハケメ→ナデ 周縁: 刮削・斜端面へラケズリ	H-063 95-4
5	17号窓跡 2		複斗瓦	14.9+	17.4+	-	2.4	-	-	表面: 2.5Y 5/1 裏面: 2.5Y 5/1	表面: 布目刷→ナデ 白面: 斜切り端→窓印き→ナデ 周縁: ハラケズリ	H-064 95-5

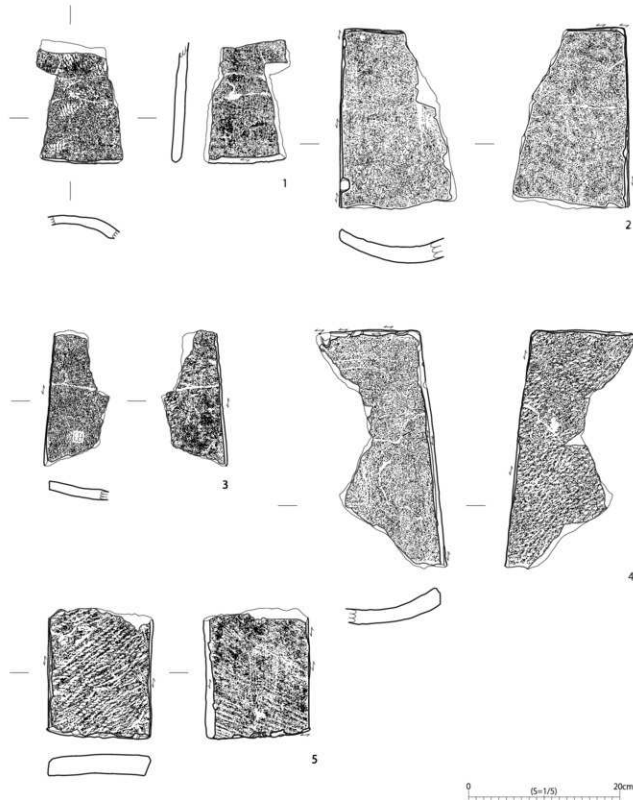
第281図 17号窓跡出土遺物(3)



第282図 18号跡平面図

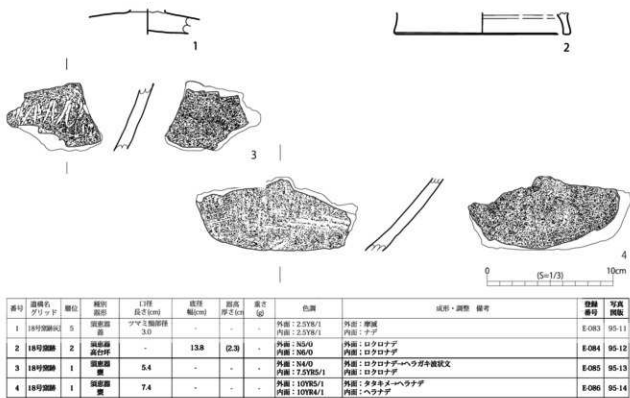


第283図 18号窓跡土層断面図



番号	遺構名 グリッド	部位	種別	最大長 [cm]	広場幅 [cm]	狭場幅 [cm]	厚さ 長[cm]	瓦当面 長[cm]	瓦当面 厚さ[cm]	色調	成形・調整・備考		骨縁 番号	写真 図版 番号
											凹面	凸面	備考	
1	18号窓跡	2	丸瓦	16.3+ 玉	10.9+	-	1.4 玉	-	-	黒面：10YR 4/1 凸面：N 5/0	黒面：粘土細面→布日板	凸面：櫛印き→ロクロナゲ 縁縁：広場面へラケズリ	F-141 106	95.6 106
2	18号窓跡	2	平瓦	24.0+	-	7.7+	2.3	-	-	黒面：NS 0/0 凸面：10RS/1	黒面：布日板→テデケシ	凸面：櫛印き→布日板→ナデ	G-351	95.7
3	18号窓跡	2	平瓦	18.0+	7.4+	-	1.3	-	-	黒面：10YR 4/1 凸面：10YR 4/1	黒面：ナデケシ	凸面：櫛印き→テデケシ 縁縁：側面ハラタツリ	G-352	95.8 101
4	18号窓跡	2	平瓦	31.5+	-	13.1+	2.3	-	-	黒面：25YR 6/1 凸面：10YRS/1	黒面：ホリ切り面→布日板→ナデ	凸面：櫛印き→側面ハラタツリ→狭場面正反面	G-353	95.9
5	18号窓跡	2	寅牛瓦	17.2+	13.6	-	2.5	-	-	表面：10YR 4/1 裏面：10YR 5/1	表面：ホリ切り面→横面平甲 裏面：櫛印き→下端面へラケズリ→?縁面正反面	0 (5=1/5) 20cm	H-065	95.10

第284図 18号窓跡出土遺物(1)



第285図 18号窯跡出土遺物(2)

【中軸線の方向】 N - 70° - W

【操業面数】 1面

【焼成部】 上半部が削平されているが、平面形は長方形と考えられる。残存長 1.65m、最大幅 1.0m、残存壁高 5cm、床面は 17° の角度で傾斜する。

床面は凸凹があり、焼台は不明である。

壁は、両側壁とともに削平されていたが、床面からのわずかな立ち上がりを確認した。

構架材は、北側壁外と考えられる位置で 1ヶ所、床面とほぼ同じ高さで検出した。炭化しており、直径は 2.5cm で垂直に立ち上がる（写真 40-5）。

被熱状況は、残存する壁面、床面は灰白色硬化している。断ち割り調査では、床面からⅢ層にかけて灰白色硬化（7cm）、黄橙色硬化（9cm）、赤褐色化（15cm）の状況を確認した。

【燃焼部】 平面形は方形である。残存長 70cm、最大幅 65cm、残存壁高 25cm、床面は 15° の角度で傾斜する。焼成部との間の階は高さ 20cm で、80° の角度で立ち上がる。焚口は削平されて残存していない。

壁は、南側壁が搅乱によって削平されており、北側壁の一部を確認した。

構架材は北壁内で 1ヶ所、有階部両側壁内から 2ヶ所の計 3ヶ所で検出した。いずれも炭化しており、材の直径は 3.5cm である。

被熱状況は、壁面は黄橙色硬化し、床面の大部分は灰白色硬化していた。窯体の断ち割り調査では、床面および壁面からⅢ層にかけて灰白色硬化（2cm）、赤褐色化（8cm）の状況を確認した。

【堆積層】 大別 1層、細別 5層を確認した。黄褐色粘土質シルト主体の流入堆積層である。

【灰原】 燃焼部東側の重機通路から谷部西斜面にかけて暗褐色シルト範囲を検出した。削平により失われた部分もあるが南北 2.85m、東西 2.1m で不整円形である。

【前庭部】 削平されて残存していない。

【出土遺物】 燃焼部から「田」押印瓦・擬斗瓦・須恵器の高台碗、灰原から須恵器蓋が出土した。総破片数は 184 点で、9 点を図示した。

竪穴住居跡

1号住居跡 (SI1) (第 286 ~ 288 図・第 15 表)

調査区南側のQ-33 グリッドに位置する。Ⅲ層上面で確認した。窯群で最も近い 17 号窯跡から南に 18m である。平面形は、長軸 2.10m、短軸 2.00m の隅丸方形である。残存壁高は西壁で 15cm である。擾乱の影響と重機による削平を受けていたため堆積土がほとんど残っていない。掘り方理土上面と一部掘り方底面を床面としている。平坦で、カマドから中央部、北東隅にかけて硬化している。北東隅部から北壁、西壁に L 字状に周溝を確認した。カマドは東壁中央に構築されており、主軸方位は N-77°-E である。カマドの燃焼部は東壁から張り出しており、張り出した部分の壁が袖となっている。壁は、残存状態が良好な西壁で床面から 118° の角度で立ち上がる。床面の北東に直径 30cm、深さ 10cm の円形ピット 1 基を有する。貯蔵穴の可能性があるが、柱穴と考えられるピットは検出されなかった。残存する床面積は約 3.4m² である。

遺物はカマド燃焼部と北西部に残る周溝から土師器の腰底部片が計 30 点出土し、2 点を図示した。

土 坑

7号土坑 (SK7) (第 289 図・第 16 表)

調査区北西部、J-32 グリッドに位置する。Ⅲ層上面で確認した。平面形は長軸 3.4m、短軸 1.15m の、梢円形である。深さは 20cm である。断面形は皿形で、底面はほぼ平坦である。堆積土上層中央に南北 1.2m、東西 80cm の焼土範囲があり、その下層に炭化物主体の黒色シルトが堆積している。底面に南北 40cm、東西 30cm の範囲で赤褐色の被熱痕跡が認められた。遺物は出土していない。

8号土坑 (SK8) (第 289・290 図・第 16 表)

調査区西側の斜面上方、M32 グリッドの 13、14 号窯跡間に位置する。Ⅲ層上面で確認した。擾乱により東側が失われている。平面形は、長軸 1.5m、短軸 1.0m 以上の隅丸方形を基調としたもので、深さは 25cm である。断面形は逆台形で、底面はほぼ平坦である。堆積土は 4 層に分けられ、底面から重弁蓮華文軒瓦片が 6 点出土している。1 点を図示した。

9号土坑 (SK9) (第 289 図・第 16 表)

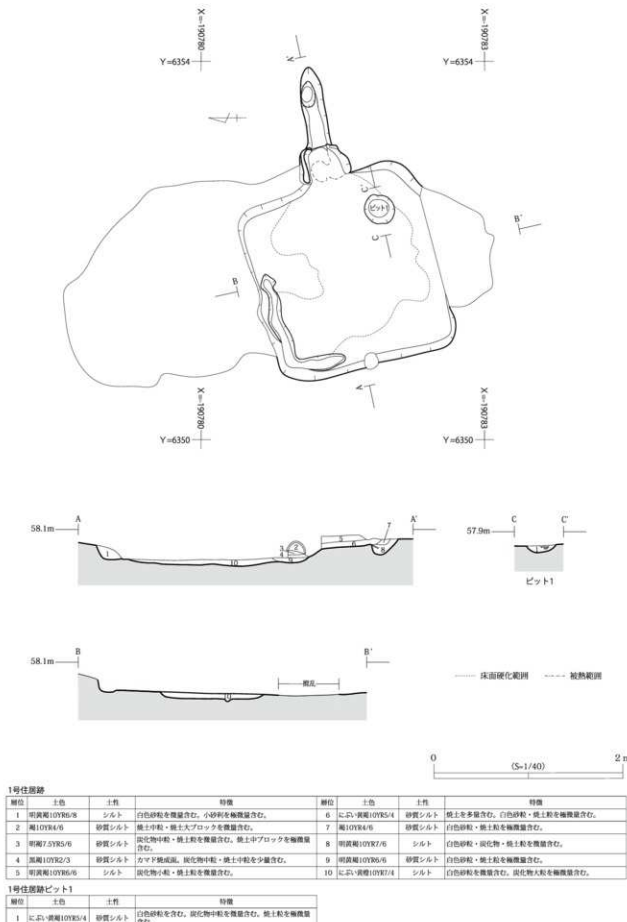
調査区西側の斜面上方、L・M-31・32 グリッドにかけて位置する。Ⅲ層上面で確認した。平面形は長軸 2.05m、短軸 1.05m の梢円形である。深さは 15cm である。やや丸底で断面形は皿型である。堆積土は 3 層に分けられる。遺物は出土していない。

遺構外出土遺物 (第 293 ~ 295 図)

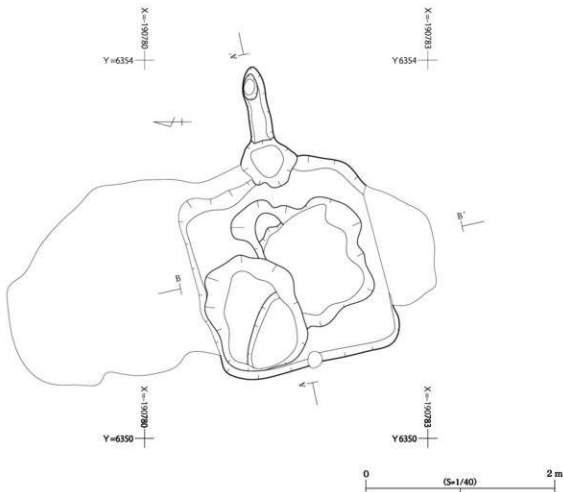
表土・擾乱から、軒丸瓦・丸瓦・軒平瓦・平瓦・熨斗瓦・隅切瓦・土師器・須恵器・古銭・石器が出土した。総破片数は 4,343 点で、22 点を図示した。

蟹沢地区東地点の遺物

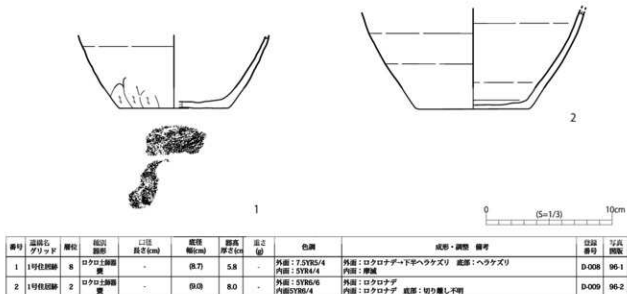
東地点で出土した遺物は、軒丸瓦・丸瓦・平瓦・道具瓦などの瓦類と土師器・須恵器がある。瓦類は軒丸瓦 129 点・丸瓦 1,027 点・軒平瓦 1 点・平瓦 6,563 点・道具瓦 68 点 (熨斗瓦 51 点・隅切瓦 16 点・面戸瓦 1 点) の計 7,788 点である。窯内出土は軒丸瓦 54 点・丸瓦 451 点・平瓦 2,870 点・道具瓦 27 点 (熨斗瓦 15 点・隅切瓦 11 点・面戸瓦 1 点) の計 3,403 点である。出土瓦の大部分が平瓦であり、全体の 84.3% を占めている。図示遺物をもとにそれぞれの特徴を述べていく。なお、軒丸瓦の分類は『多賀城跡』(1982) に準拠し、平瓦に関しては、供給先の関係から『陸奥国分寺跡』『仙台平野の遺跡群Ⅸ』(1990) の分類を中心に、多賀城跡分類と並行して述べていく。



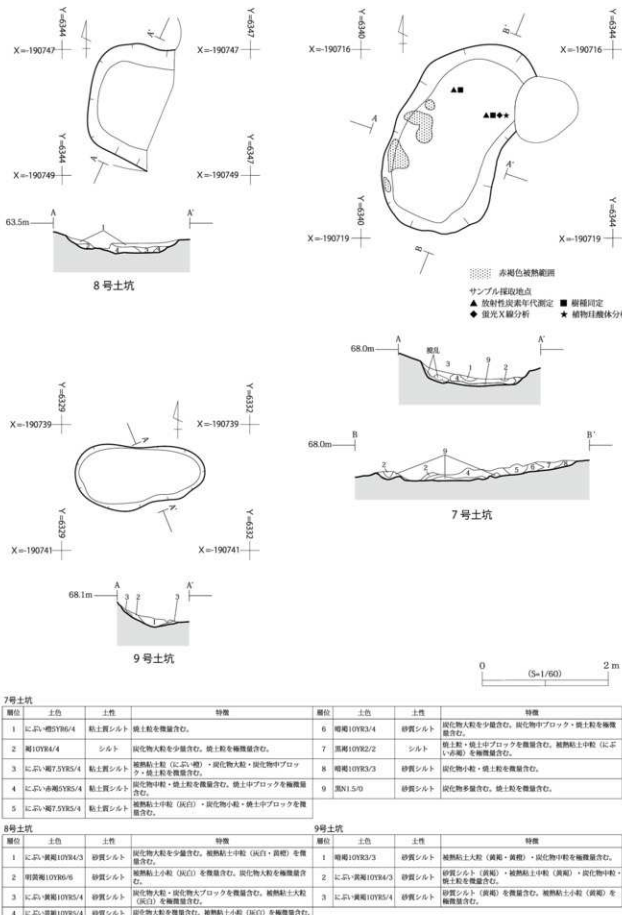
第286図 1号住居跡平面図・土層断面図



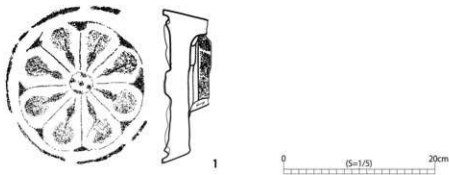
第287図 1号住居跡掘り方平面図



第288図 1号住居跡出土遺物



第289図 7~9号土坑平面図・土層断面図



番号	遺物名 グリッド	部位	種別	最大長 (cm)	広端幅 (cm)	跡面幅 (cm)	厚さ 長(cm)	瓦当面 長(cm)	瓦当面 厚さ(cm)	色調	成形・調査 備考	登録 番号	写真 番号
1	8号土坑	4	軒丸瓦	6.4+	-	-	-	20.2	3.2	瓦当面裏：10YR 6/2 瓦当面裏：10YR 7/2 裏面：10YR 6/2 裏面：10YR 6/2	瓦当面裏：白 瓦当面裏：ヘラケズリ→ナデ 裏面：ナデ 裏面：ヘラケズリ→ナデ 裏面：無	F-142	96-3

第290図 8号土坑出土遺物

〔軒丸瓦〕

軒丸瓦は総破片数が129点を数え、瓦類全体の1.5%を占めている。20点を図示した。今回与兵衛沼窓跡で出土した軒丸瓦は、瓦当文様により、3種に分類でき、重弁蓮華文をI類、細弁蓮華文をII類、重圓文をIII類とした。蟹沢地区東地点では、I類3種が出土している。そのうち窯内出土のものが13号窓跡で1点、14号窓跡で3点、15号窓跡で13点、16号窓跡で35点、17号窓跡で2点、その他の遺構では8号土坑で6点の計60点である。13・14号窓跡の軒丸瓦は周縁部などの小破片（第259-1、262-1・2）で瓦当面が残存するものは出土しなかった。

軒丸瓦 I類

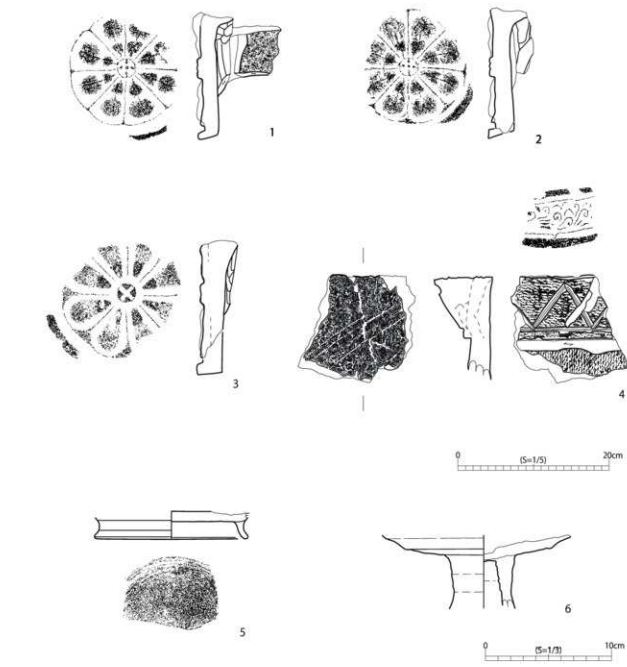
軒丸瓦 I類a:8葉重弁蓮華文軒丸瓦である。総破片数は79点で、10点を図示した（第271図1～6、第291図3、第293図1・5・6）。瓦当面径は20.2～21.6cmである。蓮子構成は0+4、周縁蓮子は円形で周縁蓮子間に区画がなく、蓮子方向が間弁を指す軒丸瓦である。灰白色を基調としており、後述する軒丸瓦 I類b・I類cにくらべて文様の立体的な起伏に欠けている。蓮弁の横断面形がやや扁平である。15号窓跡で1点、16号窓跡で9点、谷底面直上で1点、表土で2点出土している。

軒丸瓦 I類b:8葉重弁蓮華文軒丸瓦である。総破片数は29点で、4点を図示した（第267図1、第290図1、第293図3・4）。瓦当面径は19.0～20.2cmである。蓮子構成は1+4、周縁蓮子は円形で周縁蓮子間に区画がなく、蓮子方向が蓮弁を指す軒丸瓦である。黄橙色を基調としており、蓮弁の横断面形は三角形である。15号窓跡で1点、8号土坑で1点、N-O-32グリッドの表土で3点出土している。

軒丸瓦 I類c:8葉重弁蓮華文軒丸瓦である。総破片数は17点で、3点を図示した（第291図1・2、第293図2）。瓦当面径は18.1～18.4cmである。蓮子構成は1+4、周縁蓮子は円形で周縁蓮子間に区画がなく、蓮子方向が間弁を指す軒丸瓦である。黄褐色を基調としており、先述の2種よりも小型で、蓮弁の横断面形が三角形である。調査区北側の谷底面直上で3点、M-32グリッドの表土で1点出土している。

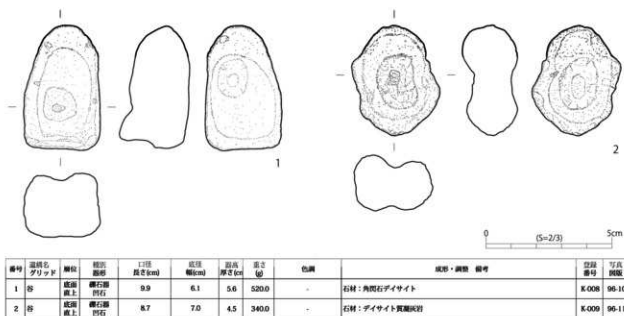
〔丸瓦〕

丸瓦は1,027点出土しており、瓦類全体の13.2%を占める。10～18号窓跡、谷部から出土している。15点図示した。粘土組作りの丸瓦である。断面形は半円形で、凸面は縄タタキのちナデ、凹面は粘土組巻きのち布目、周縁・側面にヘラケズリ調整がみられる。色調は灰白色や青灰色を基調としている。今回与兵衛沼窓跡で出土した丸瓦は無段のもの丸瓦I類と、有段のもの丸瓦II類に分類でき、蟹沢地区東地点では丸瓦I・II類とともに出土している。窓体内からの出土で狭端部を残す丸瓦の大半がI類である。I類は、完形で全長38.0cm、広端幅20.8cm、狭端幅



第291図 谷出土遺物(1)

番号	遺構名 グリッド	部位	縦幅 (cm)	横大員 (cm)	正面輪 (cm)	側面輪 (cm)	厚さ (cm)	瓦当面 寸(㎝)	瓦当面 厚さ(㎝)	色調	成形・調整・備考		登録 番号	写真 回数
											瓦当面	裏面		
1 谷	底面 直上	軒丸瓦	11.1+	-	-	-	16.2	2.6	瓦当面表：10YR 5/2 瓦当裏面：10YR 4/1 内面：10YR 5/3 凸面：7.5YR 6/4	瓦当面裏：10YR 5/2 瓦当裏面：ヘラケズリーナデ 内面：布目模+一部ナデ 凸面：ハケヌタナデ 縫隙：裏面ヘラケズリ 表面：布目模写	F-143	96-4		
2 谷	底面 直上	軒丸瓦	5.3+	-	-	-	17.2	3.0	瓦当面表：10YR 7/2 瓦当裏面：10YR 7/2 内面：10YR 8/2 凸面：10YR 8/2	瓦当面裏：10YR 7/2 瓦当裏面：ナデ 内面：ナデ 凸面：次回 瓦当ヘラケヌナデ 刻離面：布目模+キザミ模写	F-144	96-5		
3 谷	底面 直上	軒丸瓦	5.1+	-	-	-	15.4 (21.6)	3.2	瓦当面表：7.5YR 6/1 瓦当裏面：7.5YR 6/2 内面：7.5YR 6/2	瓦当面裏：10YR 6/1 瓦当裏面：ヘラケズリーナデ 内面：ヘラケズリーナデ 刻離面：布目模写	F-145	96-6		
4 谷	底面 直上	軒平瓦	13.9+	10.0+	-	-	9.7	8.5	瓦当面表：10YR 4/1 瓦当裏面：10YR 4/1 内面：10YR 4/1 凸面：10YR 4/1	瓦当面裏：10YR 4/1 瓦当裏面：ヘラケズリーナデ 内面：ヘラケズリーナデ 刻離面：布目模写	G-354	96-7		
番号	遺構名 グリッド	部位	縦幅 寸(㎝)	横径 幅(㎝)	底径 幅(㎝)	高さ 寸(㎝)	重さ (g)	色調	成形・調整・備考	登録 番号	写真 回数			
5 谷	底面 直上 須行付环	須行 環	-	-	(11.2)	2.2	-	外面：2.5Y7/1 内面：2.5Y7/1	外面：ロクロナデ 内面：ロクロナデ 底部：三回転系切リーナデ	E-087	96-8			
6 谷	底面 直上 須行付环	須行 環	-	-	-	5.6	-	外面：N5/D 内面：10YR5/1	外面：ロクロナデ 内面：ロクロナデ 环部内面：ロクロナデ	E-088	96-9			



第292図 谷出土遺物(2)

11.2cmである。丸瓦II類も出土しているが、玉縁部を含む破片は窓内から出土していない。丸瓦II類の凹面は木製型によって玉縁付近が窄まっているが、無段丸瓦の凹面でも近似した窄まりが見られるものが出土している。

〔軒平瓦〕

軒平瓦は2点出土している。そのうち1点図示した。瓦全体の0.03%を占める。今回与兵衛沼窓跡で出土した軒平瓦は瓦当文様により、4種に分類され、重弧文をI類、均整唐草文をII類、連符文をIII類、単波文をIV類とした。そのうち、蟹沢地区東地点地区ではII類が、K-29グリッドの表採遺物で1点と、調査区北側の谷底面で1点出土している。

軒平瓦II類

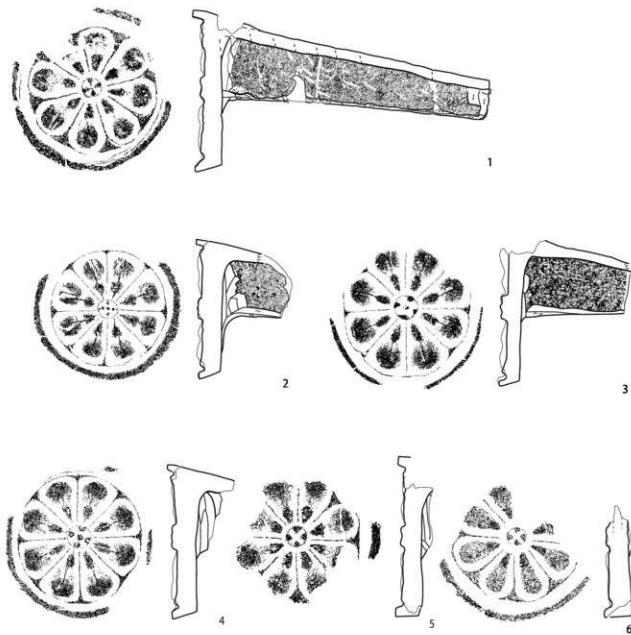
均整唐草文軒平瓦である。瓦当文様の均整唐草文を囲む上下の区画線は1本である。顎面には繩叩き後にハラ描き鋸歯形が施されている。鋸歯文は連続的に施されておらず、顎部の平瓦側に、横位の沈線をひいて鋸歯形を構成する三角形の底辺とし、同一斜方向の沈線を顎面全体に均等の間隔で割り付けて引いた後にもう一方の斜沈線をいたしたものと考えられる。褐灰色を基調としている。

出土した軒平瓦は窓内出土瓦と時期が異なり、表採で1点、谷底部で1点の出土ということから、流れ込みか混入の可能性が高い。全面自然釉に覆われ、側面は欠損している(第291図-4)。窓跡からは軒平瓦は出土していない。

〔平瓦〕

一枚作りの平瓦である。今回与兵衛沼窓跡で出土した平瓦は、成形調整により4種に分類できる。平瓦I類は凸面:繩タタキのち布目・平行タタキ、凹面:布目のちナデ、平瓦II類は凸面:繩タタキのち布目・繩タタキ、凹面:布目のちナデ、平瓦III類は凸面:繩タタキ後凹形台圧痕・タタキツブレ、凹面:布目のナデ、平瓦IV類は凸面:繩タタキ、凹面:布目である。蟹沢地区東地点ではI~III類が出土している。

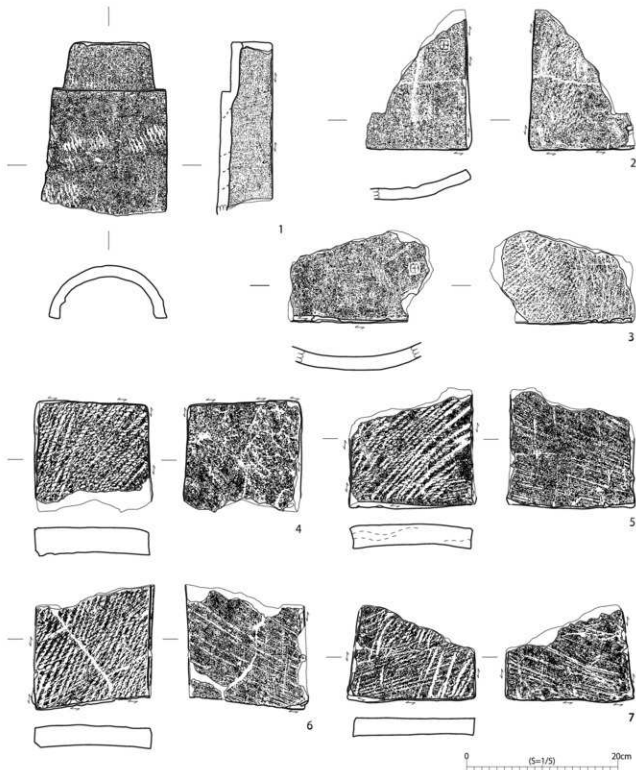
平瓦は6,563点出土しており、瓦類全体の84.3%を占める。10~18号窓跡・谷部・表土から出土している。46点を図示した。凸面の最終調整は繩叩き目・ナデ(無文)・平行叩き目・ハケメなど数種類を観察した。文字瓦も少数ではあるが出土している。瓦の平均的な厚さが1.8~2.5cmと西地点や新堤地区のものに比べてやや薄手であり、色調は灰白色や青灰色を基調としている。



0 (S=1/5) 20cm

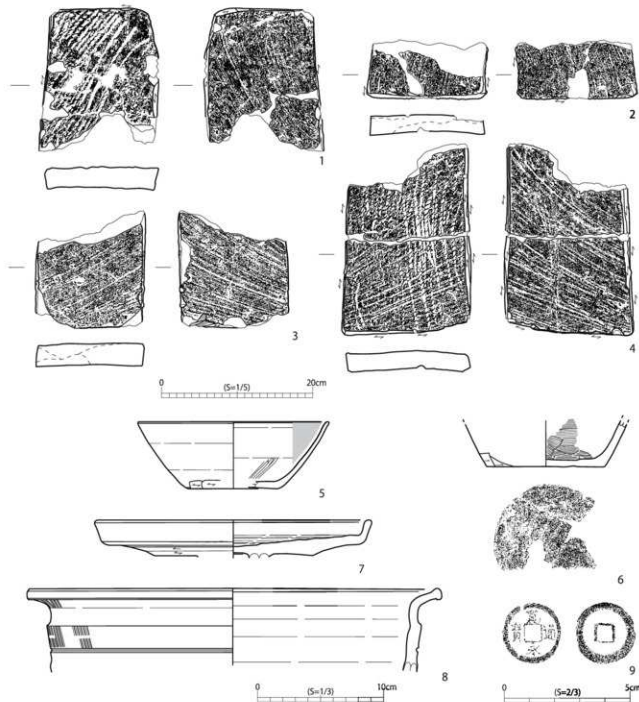
番号	遺構名 グリッド	樹位	種別	最大長 (cm)	正面幅 (cm)	側面幅 (cm)	厚さ (cm)	正面面 (cm)	側面面 (cm)	色調	成形・調整 参考	樹林 番号	写真 番号
1	N32区	表土	軒丸瓦	39.3	13.0	5.1	1.3	21.4	3.0	瓦当面: 5Y9/1 瓦当裏面: 10Y9/2 凹面: 黄褐色→白色 凸面: 黄褐色→白色 側面: 黄褐色→白色 縁部: ヘラケズリ→ナデ	瓦当面: 四 瓦当裏面: ケズリ→ナデ 凹面: 黄褐色→白色 凸面: 黄褐色→白色 側面: 黄褐色→ナデ	F-146	97-1
2	M32区	表土	軒丸瓦	12.6+	-	-	1.3	18.1	3.3	瓦当面: 2.5Y9/1 瓦当裏面: 10Y9/6-2 凹面: 10Y9/6-2 凸面: 10Y9/6-2	瓦当面: 四 瓦当裏面: ハラケズリ→ハメ→ナデ 凹面: 黄褐色→白色 凸面: 黄褐色→白色 側面: ハラナデ→縁部: ハラメ→ハラケズリ→ナデ 縁部: ハラケズリ	F-147	96-12
3	N32区	表土	軒丸瓦	17.6+	-	-	1.7	18.4	2.8	瓦当面: 7.5Y9/3 瓦当裏面: 7.5YR 6/3 凹面: 7.5YR 6/3 凸面: 10Y9/7-2	瓦当面: 造 瓦当裏面: ケズリ、ハメ→ナデ 凹面: 黄褐色→白色 凸面: ハラナデ 側面: ハラケズリ	F-148	96-13
4	O32区	表土	軒丸瓦	8.8+	-	-	-	20.3	3.3	瓦当面: 10Y9 5/2 瓦当裏面: 10YR 6/2 凹面: 2.5Y 5/1 凸面: 2.5Y 5/1	瓦当面: 四 瓦当裏面: ハラメ→ナデ 凹面: ナデ 凸面: ハラメ→ナデ	F-149	96-14
5	N32区	表土	軒丸瓦	4.2+	-	-	-	17.2 (21.0)	2.8	瓦当面: 10Y9 7/2 瓦当裏面: 10YR 6/2 凹面: 10YR 6/2 凸面: 10YR 7/2	瓦当面: 四 瓦当裏面: ハラケズリ→ナデ 凹面: ハラケズリ→ナデ 凸面: ハラケズリ→ナデ	F-150	96-15
6	N31区	表土	軒丸瓦	3.7+	-	-	-	12.5 (21.6)	3.0	瓦当面: 10Y9 7/2 瓦当裏面: 10YR 6/2 凹面: 10YR 6/2 凸面: 10YR 7/2	瓦当面: 四 瓦当裏面: ハラケズリ→ナデ 凹面: ハラケズリ→ナデ 凸面: ハラケズリ→ナデ	F-151	97-2

第293図 遺構外出土遺物(1)



番号	遺物名 グリッド	層位	種別	最大高 [cm]	正面幅 [cm]	側面幅 [cm]	厚さ [cm]	瓦当面 [cm]	瓦当裏 [cm]	色調	成形・調整 備考	資料 番号	写真 番号
1	M33EK	表土	丸瓦	23.2, 3.6.7	14.8 至12.4	1.4 至10.3	1.1	-	-	黒面：NS/D 青緑：側面、側面裏へラケズリ	輪切り窓→ロクロナデ	F-152	97-3
2	A30EK	表土	平瓦	18.6+	13.8+	-	1.6	-	-	白面：10YR8/2 青緑：側面、正面裏へラケズリ	糸切り窓→帯目窓→テレシ 白面：糸切り窓→横やき→ナデ	G-355	97-5 101
3	M32EK	表土	平瓦	12.3-	15.6+	-	1.8	-	-	白面：7.5YS8/1 青緑：2.5Y8/1	糸切り窓→帯目窓→テレシ 白面：輪切り窓→ナデ	G-356	97-4 101
4	O33EK	表土	蟹斗瓦	14.7+	-	14.1	3.7	-	-	青緑：N 5/0 白面：輪切り窓→ナデ	輪切り窓→ナデ	H-066	97-6
5	O32EK	表土	蟹斗瓦	15.0+	16.6	-	2.7	-	-	青緑：2.5Y 6/1 白面：糸切り窓→横やき→輪切り窓→ナデ	糸切り窓→横やき→輪切り窓→ナデ	H-067	97-7
6	O33EK	表土	蟹斗瓦	16.5+	15.8	-	2.7	-	-	青緑：N 5/0 白面：N 5/0	糸切り窓→横やき→輪切り窓→ナデ 白面：糸切り窓→横やき→ナデ、側面切り落とし窓	H-068	97-8
7	O32EK	表土	蟹斗瓦	12.8+	17.0	-	2.3	-	-	青緑：2.5Y 5/1 白面：2.5Y 5/1	糸切り窓→横やき→輪切り窓→ナデ 白面：糸切り窓→横やき→輪切り窓とし窓	H-069	97-9

第294図 遺構外出土遺物(2)



番号	遺物名 グリッド	層位	種別	縦長 (cm)	横幅 (cm)	底径 (cm)	厚さ (cm)	瓦当面 厚さ(cm)	色調	成形・調整 備考	登録 番号	写真 番号
1	P33EK	表土	雙斗瓦	18.8+	-	11.7	2.8	-	-	表面：糸切り痕・端叩き　裏面：糸切り痕→布目痕 周縁：側面・上端面ヘラケズリ→上端面引抜	H-070	98-1
2	Q33EK	表土	雙斗瓦	7.8+	15.7	-	2.5	-	-	表面：糸切り痕・端叩き　裏面：糸切り痕 周縁：側面・下端面ヘラケズリ→一端面　断面：たたら黏土貼り合せ痕	H-071	97-10
3	Q33EK	表土	雙斗瓦	15.5+	14.1+	-	3.0	-	-	表面：糸切り痕・端叩き　裏面：糸切り痕→布目痕 周縁：側面・下端面ヘラケズリ→一端面　断面：たたら黏土貼り合せ痕	H-072	98-2
4	N33EK	表土	雙斗瓦	25.3+	16.5	-	2.3	-	-	表面：糸切り痕・端叩き　裏面：糸切り痕→布目痕 周縁：側面・下端面ヘラケズリ→下端面引抜	H-073	98-3
5	Q33EK	陶瓦	三脚器 环	(15.0)	-	(7.2)	5.3	-	表面：ロクナデ→下端手持ヘラケズリ 内面：ロクナデ→ハラミガキ→一色鉛絶縁　底面：手持ヘラケズリ	D-012	98-6	
6	Q33EK	陶瓦	三脚器 便	-	(8.4)	3.2	-	-	表面：ロクナデ→ハラケズリ 内面：ロクナデ→ハラケズリ	D-010	98-5	
7	L33EK	陶瓦	三脚器 高脚	(21.7)	-	3.0	-	内面：NSY-3 内面：NSY-3	外面：ロクナデ→下端脚輪ヘラケズリ 内面：ロクナデ	E-090	98-8	
8	M32EK	表土	三脚器 便	(32.2)	-	6.6	-	-	表面：2.5YS/1 内面：10YR6/1	E-091	98-4	
9	P32EK	表土	四脚 寶水罐	直径2.4	孔径約0.7	0.15	3.8	-	新寶水器　實文八(1666)年折御	N-003	98-7	

第295図 遺構外出土遺物(3)

平瓦 I類

平瓦 I類は、7点を図示した（第251図4、第256図2、第259図5、第263図2、第264図1、第267図5、第279図4）。凸面に布目か叩き目、あるいは叩き目のち布目の後に、最終調整の叩き目が認められる。凹面は布目のちナデが施される。凸面の叩き目が平行叩き（幅約3.0cmの叩き板に長辺に平行する溝を切ったもの）が観察された（第259図5）。凸面の最終調整に叩き目ではなく、ハケメ痕（幅約1.5cm）が見られるものがある（第263図2）。凸面の縄叩き目を切っていることから、I類の範疇に含まれるものと考えられる。平行叩き目のものは10・13・15号窓跡から出土しており、ハケメのものは14号窓跡・17号窓跡から出土している。

平瓦 II類

平瓦 II類は、8点を図示した（第257図2、第260図2、第262図4、第263図1、第264図2・3、第284図2・3）。凸面はタタキは縄タタキのみで、最終調整が全面ナデを施すもの。凹面も布目のちナデが施される。ほぼ無文の平瓦である（第252図1、第264図2・3）。10、12～15、17、18号窓跡から出土している。

平瓦 III類

平瓦 III類は、32点を図示した（第251図3、第252図1、第254図1・2、第256図3・4、第257図1・3・4、第260図1、第265図1、第267図3・4、第268図1、第271図5、第272図5・6、第273図1・2、第274図1～3、第275図1・2、第276図1・2・4、第279図3、第280図1、第284図4、第294図2・3）。凸面の縄叩き目がつぶれ、凹面に布目を切るナデが施される。凸面叩き目の種類によって、縦縄叩き目がつくものが（第273図1）、斜め縄叩き目がつくものが（第275図2）である。東地点出土の平瓦のうち、このIII類が最も多く観察された。10～18号窓跡から出土している。

【道具瓦】

道具瓦は68点出土しており、熨斗瓦51点・隅切瓦16点・面戸瓦1点である。瓦類全体の0.9%である。27点を図示した。

隅切瓦

隅切瓦は10号窓跡で1点、14号窓跡で2点、15号窓跡で1点、16号窓跡で3点、17号窓跡で4点、表土で5点の計16点出土している。11点図示した（第252図2、第265図2・4、第268図2、第277図1・2、第278図1、第284図2～5）。平瓦 I類、III類の瓦を裁断して作製されている。破片資料がほとんどであるが、16号窓跡出土の完形品（第281図1）では狭端角部をタテ6.8cm、ヨコ7.5cmの範囲で裁断しており、それによって形成された側縁部に再調整のヘラケズリを施している。平瓦 II類を使用していた。

熨斗瓦

熨斗瓦は14号窓跡で1点、16号窓跡で3点、17号窓跡で10点、18号窓跡で1点、表土で35点、調査区外で1点の計51点出土している。15点図示した（第265図3、第276図3、第280図2～4、第281図1、第284図5、第294図4～7、第295図1～4）。表面に糸切り痕を残し、縄叩きも全面に及ばないものもあり、叩き板の縄目も平瓦のものにくらべて粗く、縄目の間隔が開く。裏面も糸切り痕の間に布目痕が断続して散見する。完形のもので、全長39.3cm、狭端幅12.9cm、広端幅17.2cm、厚さが2.6cmである（第280図5）。粘土板を裁断したのちに、側面調整のためにヘラケズリをしているもの（第280図3）、表面に切り落としを行なった際の切り込み痕が残るもの（第294図6・7）がある。褐灰～灰黄褐色を基調としている。

面戸瓦

面戸瓦は15号窓跡から1点出土している（第268図3）。平瓦 II類の瓦を裁断して作製されている。縦11.5cm、横9.5cmの方形で、厚さは2.5cmである。四辺の側面部のうち一辺は欠損しているが、残る三辺にヘラケズリが施

されている。凹面、凸面ともにナデにより無文である。褐色を基調としている。

〔文字瓦〕

文字瓦は、「田」押印瓦を13点確認した。12・14・15・18号窯跡、18号窯跡の位置するL-32グリッドの表土から出土している。15号窯跡出土の1点を除いてすべて破片資料である。7点を図示した(第257図3、第263図1、第267図3、第268図1、第284図3、第294図2・3)。押印は瓦1点につき1文字が押印されている。押印の形状はほぼ正方形であり、文字部分が陽刻で輪郭線のないものである。すべて平瓦の凹面に施されており、残存する部位から、大半が広端部側面付近に押印されている。押印型式は13点とも多賀城跡の文字瓦分類「田」Bと認められた。多賀城政府跡図版PL103b-9と同刻の可能性が高い。平瓦はII類が使用されている。

第13表 蟹沢地区東地点 窯跡・灰原における
軒瓦・その他の瓦・文字瓦出土数量表

	重 2軒 1丸 1瓦 草 文	重 2軒 2丸 2瓦 草 文	横 切 瓦	妻 斗 瓦	面 戸 瓦	押印		遺 構 別 合 計
						丸 瓦	平 瓦	
10号窯跡				1				1
12号窯跡							1	1
14号窯跡				2	1		1	4
15号窯跡		1	1		1	2	6	
16号窯跡	6		3	1			13	
17号窯跡			4	7			11	
18号窯跡				1		1	2	
合計	10	1	11	10	1	0	5	38

〔土師器〕(第288図1・2、第295図5・6)

土師器は、环・甕が出土している。総破片数は86点で、4点図示した。非クロ成形の小破片が1点、ロクロ成形が85点である。遺構から出土している土師器は全てロクロ成形の甕で、1号住居跡から出土している。1号住居跡から出土している土師器は、奈良末～平安時代としておく。第295図5はQ-33グリッドの搅乱から出土した环である。外面はナデのち体部下半に横方向の手持ちヘラケズリ調整を加えている。底部調整は不明で、内面はヘラミガキのち黒色処理を施している。第288図1・2は1号住居跡、第295図6はQ-33グリッドの搅乱から出土した甕である。成形ののちに体部下半に縱方向のヘラケズリ調整を加えている。底部は切り離しのちにヘラケズリを施している。体部下半のみの出土である。

〔須恵器〕(第285図1～4、第291図5・6、第295図7・8)

須恵器は、高台付环・高环・蓋・甕が出土している。破片总数は50点で、8点図示した。須恵器は全て18号窯跡とその灰原、さらにその直下である谷底面、周辺の表土から出土している。第285図2は18号窯跡、第291図5は谷底面で出土した高台付环である。いずれも高台部のみの出土である。底径は、18号窯跡出土のものが13.8cm、谷底面からのものが11.2cmである。第291図6は谷底面、第295図7はL-33グリッドの表土から出土した高环である。脚部から环部にかけて残存するものと、环部のみのものである。第285図1は18号窯跡灰原から出土した蓋である。ツマミ部は欠損している。残存するツマミ頂部径は3.0cmである。第285図3・4は18号窯跡、第295図8はM-32グリッドの表土から出土している。18号窯跡から出土している2点は、いずれも甕の体部である。外面に波状文を施すものがある。M-32グリッドから出土した1点は、甕の口縁部である。

〔その他の遺物〕(第252図3、第292図1・2、第295図9)

その他の遺物は、遺構内出土の遺物として、10号窯跡の大別1層から石鐵1点、遺構外のものでは谷底面から

凹み石が2点、O-32 グリッドから寛永通宝が1点、表採遺物ではスクレイバーと剥片石器2点の計6点が出土している。いずれも流入によるものである。4点を図示した。

第3節 まとめ

遺 物

- 窯跡から出土した遺物は、軒丸瓦・丸瓦・平瓦・道具瓦（熨斗瓦・隅切瓦・面戸瓦）、須恵器である。軒丸瓦I類の8葉重弁蓮華文軒丸瓦I類a～cはそれぞれ多賀城211・222・227と一致する。文字瓦では「田」押印平瓦が出土している。出土遺物から窯跡は多賀城II期に位置づけられ、おおむね8世紀後半の時期と考えられる。
- 15号窯跡出土の面戸瓦は平瓦II類の無文平瓦を截断して作製している。面戸瓦と平瓦II類は、多賀城跡からは出土していない。多賀城分類にはない陸奥国分寺I類・IV類と一致している。蟹沢地区東地点の窯群で製作されたこれらの瓦は、陸奥国分寺に供給されたものであると考えられる。
- 蟹沢地区東地点の丸瓦は、最終操業時点で無段丸瓦が主として作られていたと考えられるが、表土採集の遺物から有段丸瓦も作成していたとみられる。丸瓦I類の四面に見られる玉縁相当部分の窄まりは、丸瓦II類の木製型を転用して丸瓦I類を作成している傍証と考えられる。
- 国分寺分類に含まれない多賀城211の軒丸瓦は、今回の調査によって初めて窯跡から出土し、これまでに知られている222、227と同様に無段丸瓦が付くものと判明した。
- 今回調査した9基の窯跡で出土した瓦類は古代の多賀城や陸奥国分寺・尼寺に供給したものと考えられる。

遺 構

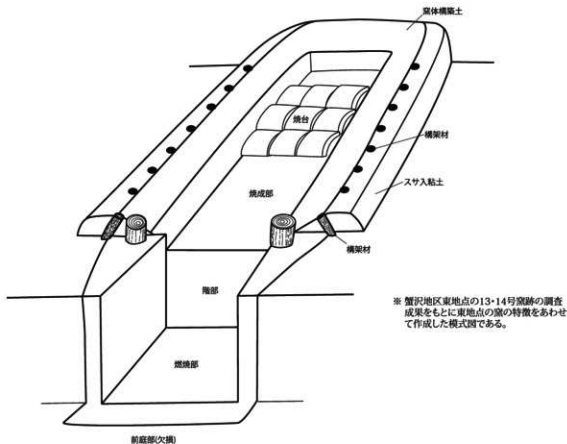
[窯 跡]

- 東地点では調査区中央を南北に縱断する谷の東斜面から9基の窯窓を検出した。10～15・18号窯跡は半地下式有階無段窯窓で、16、17号窯跡は半地下式無階無段窯窓である。
- 窯窓はすべてⅢ層を掘り込み、粘土塊を貼り付けて床・壁を構築したうえで天井を架構したと考えられる。いずれも奥壁が西側に位置する東西主軸の構造となっている。全体的に焼成部幅は1m前後であり、窯体内の還元はやや弱い。
- 構架材の直径は平均2～2.5cmで、窯体の両側壁で左右非対称に設置されている。13・14・18号窯跡の階付近の構架材は約4cmと平均より太く、13号窯跡のものは2本が左右対称に設置されており、窯構築時における指標となった材の可能性が考えられる。
- 窯体の断ち割り調査により、構築の方法が明らかとなった。残存していた天井架構粘土は炭化した構架材の位置から側壁の外側から取り付く。14・16号窯跡のように壁高25～30cmから架構するものと、10、15号窯跡のようにほぼ床面に近い高さから架構するものと2種類の架構法があることが判明した。また、10号窯跡、13号窯跡、14号窯跡内から出土した窯体片の中には溝状の圧痕を確認している。これらも構架材痕の可能性がある。
- 窯跡は立地からみて斜面上方の3基（10～12号窯跡）と斜面下方の6基（13～18号窯跡）をそれぞれまとまりとして捉えられる。上方は11号窯跡の残存状態が極めて悪いために詳細は不明である。下方の窯群では16・17号窯跡が、遺構間距離が1.35mと近接しており、窯体構造、主軸方向、規模ともにほぼ同一であることと、灰原が接していることから同時操業していたと考えられる。また、14・15号窯跡も遺構間距離が4.9mと離れているが、やはり窯体構造、主軸方向や奥壁、階の位置が並立することから同時操業の可能性がある。
- 18号窯跡は、窯内および灰原から須恵器片が出土しており、瓦陶兼業窯と考えられる。

- ・焼台は、自然釉や2次焼成をうけた瓦を床面に整然と並んだ状態で確認している。他の床面出土の瓦の中にも同じ特徴を持つものがあることから、これらも焼台の可能性がある。

(その他の遺構)

- ・谷部東側より土坑3基、竪穴住居跡1軒を検出した。それぞれ重複関係の見られない単独の遺構である。
- ・7号土坑は炭化物やⅢ層の被熱範囲から、何らかの焼成作業を行なった遺構と考えられるが、遺構に伴う遺物が出土せず、詳細は不明である。
- ・1号竪穴住居跡は約2m四方と小型であるがカマドを有し、居住のほかに仮小屋、作業場といった用途も考えられる。しかし、破片資料である土師器の年代が奈良末～平安時代以降としか位置付けられず、東地点の出土瓦類から考えられる年代と異なるため、窯群との関係は見出せなかった。



蟹沢地区東地点 窯模型図

第14表 窓窓一覧表

窓枠名	グリッド	構造(平角下式)	主窓方向	推奨面数	全長(m)	側面部長(m)	側面幅(m)
10号窓枠	L-31	有期側板	N-79°-W	1	(4.18)	(3.15)	0.94
燃成形部高(m)	15	右側厚底(m)	燃成形部(m)	燃成形部(m)	燃成形部(m)	燃口幅(m)	時雨
(0.12)	0.19	(1.03)	(0.54)	(0.25)	5	-	多賀城定期
備考: 桁材材あり・架構黏土残存							
窓枠名	グリッド	構造(平角下式)	主窓方向	推奨面数	全長(m)	燃成形部長(m)	燃成形部(m)
11号窓枠	L-31	-	N-79°-W	1	(2.46)	-	-
燃成形部高(m)	-	右側厚底(m)	燃成形部(m)	燃成形部(m)	燃口幅(m)	時雨	多賀城定期
(0.12)	-	(2.46)	(0.68)	-	15	-	
備考: 施工によりほぼ全埋							
窓枠名	グリッド	構造(平角下式)	主窓方向	推奨面数	全長(m)	燃成形部長(m)	燃成形部(m)
12号窓枠	L-30・31	右側厚底	N-45°-W	1	(3.98)	(0.26)	0.70
燃成形部高(m)	6	右側厚底(m)	燃成形部(m)	燃成形部(m)	燃口幅(m)	時雨	多賀城定期
(0.12)	0.21	(3.92)	(0.96)	(0.12)	17	-	
備考: 桁材材あり・施工あり							
窓枠名	グリッド	構造(平角下式)	主窓方向	推奨面数	全長(m)	燃成形部長(m)	燃成形部(m)
13号窓枠	M-32	右側厚底	N-72°-W	1	(4.60)	(1.18)	0.80
燃成形部高(m)	6	右側厚底(m)	燃成形部(m)	燃成形部(m)	燃口幅(m)	時雨	多賀城定期
(0.19)	0.24	(3.47)	(0.96)	(0.10)	18	-	
備考: 桁材材あり							
窓枠名	グリッド	構造(平角下式)	主窓方向	推奨面数	全長(m)	燃成形部長(m)	燃成形部(m)
14号窓枠	N-32	右側厚底	N-89°-W	1	(4.22)	(0.75)	0.76
燃成形部高(m)	5	右側厚底(m)	燃成形部(m)	燃成形部(m)	燃口幅(m)	時雨	多賀城定期
(0.20)	0.20	3.47	1.04	(0.24)	17	-	
備考: 桁材材あり・施工あり							
窓枠名	グリッド	構造(平角下式)	主窓方向	推奨面数	全長(m)	燃成形部長(m)	燃成形部(m)
15号窓枠	N-32	右側厚底	N-89°-W	1	(4.35)	(0.73)	(0.70)
燃成形部高(m)	6	右側厚底(m)	燃成形部(m)	燃成形部(m)	燃口幅(m)	時雨	多賀城定期
(0.22)	0.18	3.62	(1.04)	(0.13)	18	-	
備考: 桁材材あり・架構黏土残存							
窓枠名	グリッド	構造(平角下式)	主窓方向	推奨面数	全長(m)	燃成形部長(m)	燃成形部(m)
16号窓枠	N-31・32・O-32	右側厚底	N-73°-W	2	4.96	1.15	0.75
燃成形部高(m)	9	右側厚底(m)	燃成形部(m)	燃成形部(m)	燃口幅(m)	時雨	多賀城定期
(0.16)	-	-	3.81	1.10	0.32	19	-
備考: 桁材材あり・架構黏土残存							
窓枠名	グリッド	構造(平角下式)	主窓方向	推奨面数	全長(m)	燃成形部長(m)	燃成形部(m)
17号窓枠	O-31・32	右側厚底	N-68°-W	1	4.94	1.56	(0.78)
燃成形部高(m)	10	右側厚底(m)	燃成形部(m)	燃成形部(m)	燃口幅(m)	時雨	多賀城定期
(0.06)	0.20	(1.68)	1.04	(0.05)	17	-	
備考: 桁材材あり							

第15表 穴穴住居跡一覧表

遺構名	グリッド	構造(平地下式)	主窓方向	推奨面数	全長(m)	側面部長(m)	側面幅(m)
18号窓跡	L-32・33・M-33	右側厚底	N-70°-W	1	(2.37)	(0.69)	0.66
燃成形部高(m)	15	右側厚底(m)	燃成形部(m)	燃成形部(m)	燃口幅(m)	時雨	多賀城定期
(0.25)	0.20	(1.68)	1.04	(0.05)	17	-	

備考: 桁材材あり

第16表 土坑一覧表

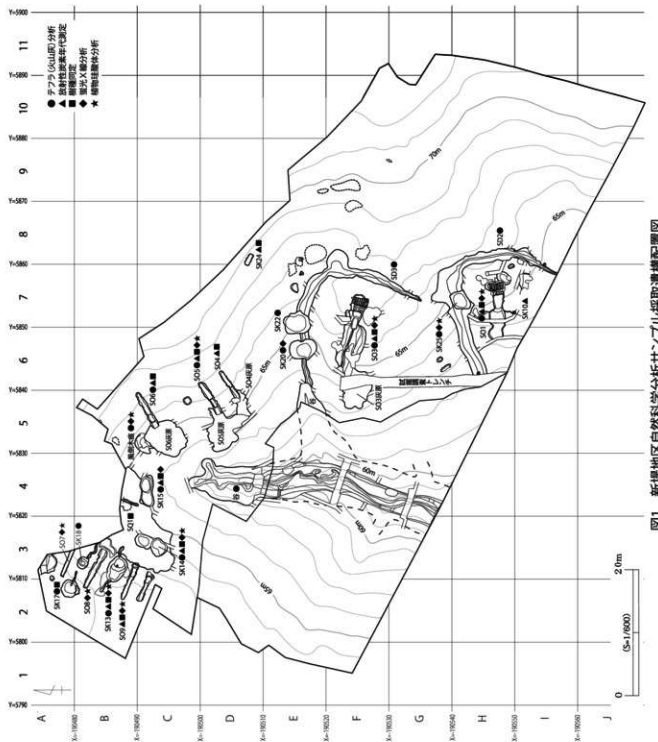
遺構名	グリッド	表面方向	長軸(m) × 幅軸(m) × 厚さ(m)	カマツ 長軸(m) × 切軸(m) × 厚さ(m)	時雨
7号土坑	J-32	N-24°-E	3.24 × 1.89 × 0.18	圓丸長方形・細長	-
8号土坑	M-32	N-10°-E	1.95 × 1.28 × 0.24	細円形・逆台形	-
9号土坑	L・M-31・32	N-2°-E	2.07 × 1.06 × 0.15	細円形・細長	丸底

第5章 自然科学分析

株式会社 古環境研究所

第1節 自然科学分析の概要

与兵衛沼窯跡（新堤地区・蟹沢地区）の発掘調査では、奈良時代から平安時代までの合計27基の窯跡が確認された。ここでは、これらの窯跡の年代や性格および当時の周囲の植生・環境などを把握する目的で、テフラ（火山灰）分析、放射性炭素年代測定、樹種同定、蛍光X線分析、植物珪酸体分析を行なった。



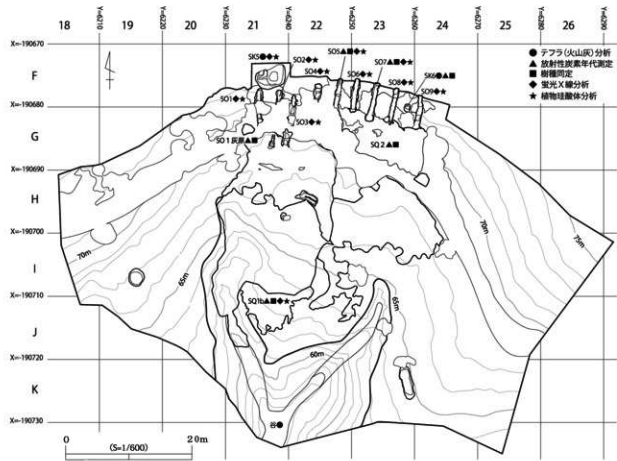


図2 蟹沢地区西地点自然科学分析サンプル採取遺構配置図

第2節 テフラ（火山灰）分析

1. はじめに

東北地方中部に位置する仙台市域とその周辺には、蔵王、安達、鳴子、肘折、十和田など東北地方の火山のほか、洞爺、浅間、御岳、三瓶、阿蘇、姶良など遠方の火山に由来するテフラ（火山碎屑物、いわゆる火山灰）が数多く認められる。テフラの中には、噴出年代が明らかにされている指標テフラがあり、これらとの層位関係を遺跡で求めることで、遺構の構築年代や遺物包含層の堆積年代を知ることができるようになっている。

そこで、層位や年代が不明な土層やテフラ層さらにテフラを含む可能性のある土層が認められた与兵衛沼窓跡の試料について、火山ガラス比分析、屈折率測定、EPMAによる火山ガラスの主成分化学組成分析により、指標テフラの検出同定を行うことになった。発掘調査担当者により採取された平成18年度の新堤地区15試料、平成20年度の新堤地区・蟹沢地区東地点・蟹沢地区西地点の9試料の合計24試料について分析を行なった。

2. 火山ガラス比分析

(1) 分析試料と分析方法

分析試料の合計24点（表1・5）について、火山ガラス比分析により火山ガラスの色調形態別比率を把握し、指標テフラとの同定のための基礎的試料の収集を実施した。火山ガラス比分析の手順は次のとおりである。

- 1) 試料10gを秤量。
- 2) 超音波洗浄により泥分を除去。
- 3) 80°Cで恒温乾燥。
- 4) 分析篩をもちいて、1/4 (2φ) ~ 1/8mm (3φ) と 1/8 (3φ) ~ 1/16mm (4φ) の粒子を篩別。

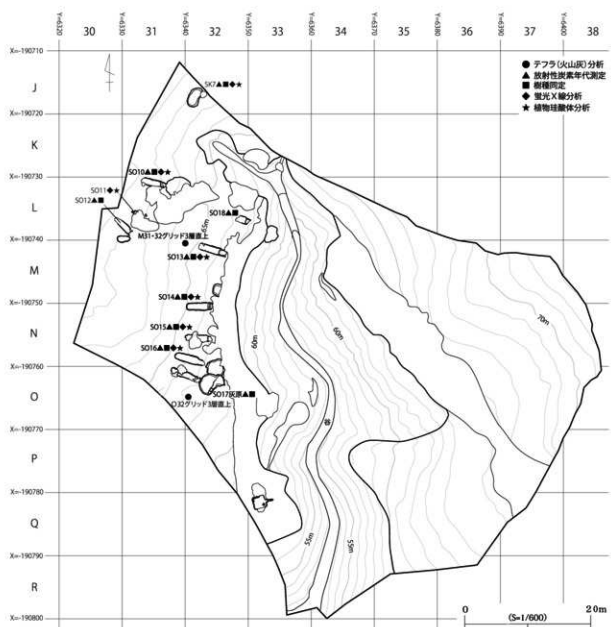


図3 蟹沢地区東地点自然化学分析サンプル採取遺構配置図

5) 偏光顕微鏡下で250粒子を観察し、火山ガラスの色調形態別比率を求める。

(2) 分析結果

平成18年度の分析結果

火山ガラス比分析の結果を表2および図4に示す。火山ガラスは各試料から検出されたが、比較的粗粒の軽石やスコリアはいずれの試料からも検出されなかった。

試料に含まれる火山ガラスの比率に高低の違いがあるが(4.0~36.4%)、火山ガラスの形態組成は比較的似ている。試料中に多く含まれる火山ガラスは、織維束状に発泡した軽石型ガラス、透明のバブル型ガラス、スポンジ状に発泡した軽石型ガラス、分厚い中間型ガラスなどである。火山ガラスの比率が25%以上高い試料は、試料2、試料3、試料4、試料11、試料13である。これらの試料では、織維束状に発泡した軽石型ガラス、透明のバブル型ガラス、スポンジ状に発泡した軽石型ガラスの比率が高いようである。

また、試料7、試料9、試料14には、ごくわずかながら淡褐色のバブル型ガラスも含まれている(0.4%)。一方で、火山ガラスの比率が低い試料7(8.0%)や試料15(4.0%)では、中間型ガラスの占める比率が高い傾向にある。

平成 20 年度の分析結果

新堤地区と蟹沢地区における火山ガラス比分析の結果をダイヤグラムにして図 4 に示し、その内訳を表 8 に示す。新堤地区では、各試料から繊維束状に発泡した軽石型ガラス、透明で平板状のバブル型ガラス、スポンジ状に発泡した軽石型ガラス、分厚い中間型ガラスが比較的多く検出された。このうち、最も火山ガラスの比率が高いのは試料 2 で、1/4-1/8mm の粒子の 46% を火山ガラスが占める。その内訳は、比率が高い順に繊維束状に発泡した軽石型ガラス (25.2%)、透明のバブル型ガラス (12.4%)、中間型ガラス (5.2%)、スポンジ状に発泡した軽石型ガラス (3.2%) である。最も火山ガラスの比率が低いのは試料 3 (18.4%) であり、比率が高い順に繊維束状に発泡した軽石型ガラス (8.8%)、透明のバブル型ガラス (4.0%)、スポンジ状に発泡した軽石型ガラス (4.4%)、中間型ガラス (1.2%) が含まれている。

蟹沢地区でも各試料から火山ガラスが検出された。試料 3 と試料 4 では量がやや多いものの、それ以外では比率が低い傾向にある。試料 3 の火山ガラスの比率は 24.4% で、比率が高い順に繊維束状に発泡した軽石型ガラス (15.2%)、透明のバブル型ガラス (5.2%)、スポンジ状に発泡した軽石型ガラス (3.2%)、中間型ガラス (0.8%) が含まれている。試料 4 ではやや比率が低いもの (18.0%)、同様な火山ガラスが含まれている。ただし、この試料には淡褐色のバブル型ガラスもごく少量認められる (0.4%)。火山ガラスの比率が低い 3 試料のうち、試料 5 に淡褐色のバブル型ガラスがごく少量含まれているものの、それ以外の火山ガラスの形態は全体的な状況と類似している。

3. 屈折率測定

(1) 測定試料と測定方法

火山ガラス比分析の対象となった 24 試料について、温度変化型屈折率測定装置（古澤地質社製 MAIOT）により火山ガラスの屈折率測定を行なった。

(2) 測定結果

平成 18 年度の測定結果

屈折率測定結果と仙台市域に分布する代表的な後期更新世以降の指標テフラの火山ガラスの屈折率 (n) を表 3 に示す。15 試料に含まれる火山ガラスの屈折率 (n) は、1.496-1.509 の range にある。とくに屈折率が高い火山ガラスは認められない。

平成 20 年度の測定結果

屈折率測定の結果を表 7 に示す。新堤地区的試料 1 に含まれる火山ガラスの屈折率 (n) は 1.501-1.508 (30 粒子)、試料 2 は 1.503-1.508 (31 粒子)、試料 3 と試料 4 はいずれも 1.502-1.508 (各 30 粒子) である。蟹沢地区的試料 1 に含まれる火山ガラスの屈折率 (n) は 1.498-1.507 (35 粒子)、試料 2 は 1.499-1.509 (31 粒子)、試料 3 は 1.500-1.507 (30 粒子) である。また、試料 4 に含まれる火山ガラスの屈折率 (n) は bimoda で 1.500-1.508 (24 粒子) と 1.511-1.513 (7 粒子)、試料 5 も bimoda で 1.499-1.507 (27 粒子) と 1.512-1.513 (4 粒子) の値が得られた。

4. 火山ガラスの主成分化学組成分析

(1) 分析試料と分析方法

日本列島における火山灰編年学の研究では、高精度の屈折率測定環境の整備や測定機器の開発が実施されていることもあって、屈折率測定がテフラ同定に盛んに利用されている。なお、火山ガラスなどの屈折率は風化の程度によって値が変わることや、遠方に降灰するテフラには屈折率によるテフラ同定に適した鉱物があまり含まれてないことなどから、屈折率測定は万能ではない。そこで、今回は起源の異なるテフラの混在が予想された試料のうち、平成 18 年度の新堤地区試料 14、平成 20 年度の蟹沢地区試料 1 と試料 5 の 3 試料に含まれる火山ガラスについて

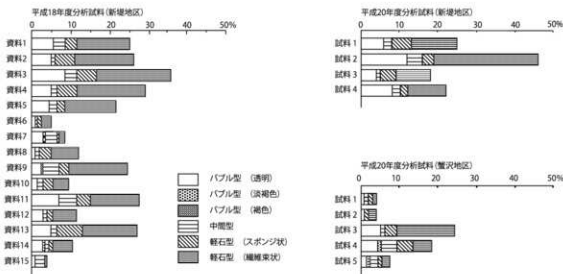


図4 平成18・20年度 与兵衛沼窓跡(新堤地区・蟹沢地区)火山ガラス比ダイアグラム

て、波長分散型エレクトロニンプローブX線マイクロアナライザー（以下、WDS型EPMAとする）により、粒子ごとの主成分化学組成分析を実施した。分析に使用した分析機器は、山形大学理学部の日本電子JXA8600MWDS型EPMAである。測定は加速電圧15kV、照射電流0.01 μA、ビーム径5 μmの条件で行なった。補正法はOxide ZAF法を用いた。

(2) 分析結果

平成18年度の分析結果

火山ガラスの主成分化学組成分析結果を表4に示す。この表には、ほかに遺跡周辺への降灰が知られている代表的な指標テフラの主成分化学組成も示した。測定対象12粒子の火山ガラスのうち、11粒子については非常に類似した主成分化学組成を示すものの、1粒子については他の火山ガラスと傾向の異なることが明らかになった。

平成20年度の分析結果

火山ガラスの主成分化学組成分析結果を表8に示す。この表には、本遺跡とその周辺に分布する後期更新世以降の指標テフラに含まれる火山ガラスの主成分化学組成を示した。分析の結果、蟹沢地区的試料1では主成分組成の傾向が異なる2種類、試料4では4種類の火山ガラスが含まれていることが明らかになった。

5. 考察

平成18年度の分析結果

平安時代に仙台地域に降灰した代表的なテフラは、915年に十和田火山から噴出したと推定されている十和田a火山灰（To-a、大池、1972、町田ほか、1981など）である。今回の分析でも、テフラ層がTo-aか否か、また火山灰質土壌の中にTo-aが含まれているかどうかが分析の主目的となった。

To-aについては、水和の程度の違いから、火山ガラスの屈折率が地点によって異なる傾向にあり、屈折率測定だけでは同定が難しい場合もある。そこで、今回は信頼度の高いEPMAによる主成分化学組成分析を実施した。

To-a由来する火山ガラスの屈折率（n）については、日本列島と周辺のテフラ・カタログで、給源である十和田火山に近い青森地域で1.496-1.508、一方遠隔地である会津・福島・仙台地域では、1.503-1.507と記載されている（町田・新井、2003）。今回は多くの試料で、<1.503の火山ガラスが検出されている。また、火山ガラスの比率が比較的低いために純度も低く、ほかのテフラ粒子の混在も考えられた試料14における粒子ごとの主成分化学組成分析では、そのほとんどがTo-aの可能性を示した。したがって、今回の分析で検出された火山ガラスのほとんどは、To-aに由来する可能性が高いと考えられる。

表1 平成18年度 与兵衛沼窓跡(新堤地区)
テフラ分析試料一覧

試料名	遺物番号	採取場所	層位・位置	ガラス量	屈折率	EPMA
1	564	SO1	No.2	○	○	
2	594	SO1	No.4	○	○	
3	659	SO3	No.2	○	○	
4	762	SO3灰岩	No.1	○	○	
5	927	SO5灰岩	No.1	○	○	
6	955	SO6	No.2	○	○	
7	928	SO6灰岩	No.1	○	○	
8	1108	SD3	No.2	○	○	
9	1111	SK13	No.1	○	○	
10	1235	SK14	No.1	○	○	
11	1107	SK15	No.1	○	○	
12	1290	SK17	No.2	○	○	
13	1322	SK18	No.1	○	○	
14	1109	SK20	No.1	○	○	○
15	608	谷	No.4	○	○	

表2 平成18年度 与兵衛沼窓跡(新堤地区)
火山ガラス比分析結果

試料	bw(c)	bw(pb)	bw(br)	md	pm(spi)	pm(fbf)	その他	合計
1	2	0	0	8	1	7	232	250
2	0	0	0	14	2	10	224	250
3	3	0	0	20	2	4	221	250
4	4	0	0	15	2	4	225	250
5	4	0	0	22	1	6	217	250
6	6	0	0	14	4	15	211	250
7	9	0	0	26	3	26	186	250
8	7	0	0	23	4	12	204	250
9	12	0	0	23	2	10	203	250
10	14	0	0	7	4	6	219	250
11	10	0	0	4	2	3	231	250
12	10	0	0	4	0	0	236	250
13	7	0	0	6	1	1	235	250
14	13	0	0	0	2	3	232	250
15	8	0	0	1	2	1	240	250

数字: b:バブル型, bw:標準型, md:中間型, pm:軽石型, cl:透明, pb:淡褐色, br:褐色,
sp:スピンドル状, fb:纖維束状。

表3 平成18年度 与兵衛沼窓跡(新堤地区)試料と
代表的な指標テフラに含まれる火山ガラスの屈折率

与兵衛沼窓跡試料/テフラ(略称・年代)	火山ガラスの屈折率(n)	測定粒子数
試料H1	1.496-1.504 [*]	33
試料H2	1.497-1.504 [*]	30
試料H3	1.497-1.504 [*]	30
試料H4	1.497-1.506 [*]	30
試料H5	1.495-1.506 [*]	30
試料H6	1.499-1.503 [*]	30
試料H7	1.499-1.509 [*]	34
試料H8	1.498-1.504 [*]	27
試料H9	1.497-1.504 [*]	34
試料H10	1.497-1.505 [*]	37
試料H11	1.497-1.507 [*]	32
試料H12	1.496-1.507 [*]	31
試料H13	1.500-1.507 [*]	37
試料H14	1.496-1.504 [*]	29
試料H15	1.498-1.503 [*]	33

十和田花 ^a (To-a, AD915)	1.498-1.508 [*] , 1.500-1.508 [*]
浅間松川 (As-Kh, AD1128)	1.524-1.532 [*]
稚名二 ^b 島伊香保 (Hr-FP, 6世紀中葉)	1.501-1.505
稚名二 ^b 島伊香保 (Hr-FA, 6世紀初頭)	1.500-1.503
十和田中津山 ^c (To-Cu, 5.5kyBP)	1.508-1.512
鬼界アカヒヤ (KAh, 6.3kyBP)	1.508-1.516
折尾花尾瀬 (Hr-O, 11-12kyBP)	1.499-1.504
十和田八戸 ^d (To-H, 12-13kyBP)	1.505-1.509
浅間板島黄色輝石 (As-Yp, 13-14kyBP)	1.501-1.505
磐島Tn (AT, 24-25kyBP)	1.499-1.501
十和田大不動 (To-Ot, >32kyBP)	1.506-1.510
鳴子桜沢 (Nr-Y, 41-63ka)	1.500-1.503
阿蘇4 (Aso, 85-90ka)	1.506-1.510
財原北原 (Hr-Kh, 90-100ka)	1.499-1.502
三瓶木次 (SK, 110-115ka)	1.494-1.498
洞爺 (Toya, 112-115ka)	1.494-1.498

*1:屈折率の測定は密度変化型屈折率測定装置(MAIOT)による。*2:青森地城。*3:会津・福島・仙台地城。*4:早田(1996)。
はがの指標テフラのデータは町田・新井(1992, 2003)による。KyBP:1,000年前(℃年), Kc:1,000。

表4 平成18年度 与兵衛沼窓跡(新堤地区)試料と
代表的な指標テフラに含まれる火山ガラスの主成分化学組成

地点・試料/テフラ	SiO ₂	TiO ₂	Al ₂ O ₃	FeO	MnO	MgO	CaO	Na ₂ O	K ₂ O	P ₂ O ₅	n
試料14	77.19	0.37	12.69	1.71	0.11	0.42	1.99	4.05	1.43	0.03	11
	0.17	0.05	0.11	0.09	0.07	0.03	0.11	0.15	0.07	0.03	
	78.04	0.24	11.87	1.36	0.16	0.25	1.40	3.62	2.99	0.08	1
十和田花 ^a (To-a)	77.87	0.37	12.81	1.75	0.10	0.42	2.00	3.29	1.34	0.06	-
十和田中津山 ^c (To-Cu)	75.08	0.44	13.28	2.46	0.08	0.63	2.63	4.04	1.29	0.09	-
鬼界アカヒヤ (KAh)	75.24	0.53	12.85	2.42	0.08	0.47	2.02	3.32	3.00	-	-
十和田八戸 ^d (To-H)	78.30	0.29	12.67	1.52	0.06	0.29	1.73	3.84	1.30	-	15
浅間板島黄色輝石 (As-Yp)	78.20	0.27	11.99	1.33	0.04	0.26	1.30	3.72	2.89	-	-
鳴子面面輝石 (Nr-Kh)	79.02	0.29	11.79	1.48	0.06	0.28	1.68	4.00	1.38	0.05	26
財原Tn (AT)	78.83	0.12	12.13	1.10	0.04	0.11	0.98	3.33	3.36	-	126
十和田大不動 (To-Ot)	77.82	0.36	12.45	1.88	0.08	0.33	1.87	3.97	1.25	-	21
鳴子桜沢 (Nr-Y)	79.67	0.16	11.94	1.30	0.06	0.17	1.31	3.62	1.78	-	40
鳴子荷坂 (Nr-N)	79.28	0.11	12.09	1.23	0.11	0.11	1.05	4.18	1.83	0.01	-
財原北原 (Hr-Kh)	78.63	0.09	12.26	0.70	0.08	0.07	0.68	3.58	3.87	0.03	-
洞爺 (Toya)	79.37	0.06	12.48	0.92	0.08	0.03	0.37	3.75	2.94	0.00	-

^a: 分子式ゾンジット数、上段が平均値、下段は標準偏差。
指標テフラのデータは、青木・新井(2000)および八木(未公開資料)。

表5 平成20年度 与兵衛沼窓跡(新堤地区・蟹沢地区)
テフラ分析試料一覧

試料名	遺物番号	採取場所	層位・位置	ガラス	屈折率	PEMPA
新堤地区						
1	D	SD2	No.1	○	○	
2	1371	SK22	No.1	○	○	
3	F	風呂外洞	No.1	○	○	
4	E	SK25	No.1	○	○	
蟹沢地区						
1	910	東M31	直縫直上	○	○	
2	1364	東O32	直縫直上	○	○	
3	2366	西谷	5層	○	○	
4	2377	西S6	1層	○	○	
5	2378	西S5	1層	○	○	

表7 平成20年度 与兵衛沼窓跡(新堤地区・蟹沢地区)試料と
代表的な指標テフラに含まれる火山ガラスの屈折率

地点名	与兵衛沼試料/テフラ(略称・年代)	火山ガラスの屈折率(n)	測定粒子数
新堤地区	試料1	1.501-1.508	30
	試料2	1.503-1.508	31
	試料3	1.502-1.508	30
	試料4	1.497-1.508	30
蟹沢地区	試料1	1.498-1.507	35
	試料2	1.499-1.509	31
	試料3	1.500-1.507	30
	試料4	1.500-1.508, 1.511-1.513	24.7
	試料5	1.499-1.507, 1.512-1.513	27.4
十和田花 (To-a)		1.503-1.507 ^a 1.500-1.508 ^b 1.496-1.508 ^c	
十和田中腹 (To-Cu)		1.524-1.532 ^c	
鬼界アカホヤ (K-Ah)		1.501-1.505	
財折御花沢 (Oh-O)		1.500-1.503	
十和田花八戸 (To-H)		1.508-1.512	
浅間御鼻黄色 (As-YP)		1.508-1.516	
鳴子御前上原 (Nk-U)		1.499-1.504	
始良田 Th (AT)		1.505-1.509	
十和田大不動 (To-Of)		1.501-1.505	
燒石山形 (Yk-Y)		1.499-1.501	
鳴子御前 (Nn-Y)		1.506-1.510	
阿蘇4 (Aso-4)		1.500-1.503	
鳴子御前 (Nn-N)		1.506-1.510	
財折玉原 (Oh-Kh)		1.499-1.502	
三瓶大次 (Sk-110-115ka)		1.494-1.498	
利賀 (Toya-112-115ka)		1.494-1.498	

屈折率の測定は、藍変化屈折率測定装置(MAIOT)による。

指標テフラの屈折率は、町田・新井(2003)。

*1:仙台観覧での値。 *2:岩手・秋田地域での値。 *3:青森地域での値。

表8 平成20年度 与兵衛沼窓跡(蟹沢地区)火山ガラスの主成分化学分析結果

地点・試料/テフラ	SiO ₂	TiO ₂	Al ₂ O ₃	FeO	MnO	MgO	CaO	Na ₂ O	K ₂ O	P ₂ O ₅	粒子数
蟹沢地区・試料1	77.99	0.23	12.31	1.53	0.04	0.22	1.70	3.99	1.93	0.05	6
	0.67	0.07	0.29	0.10	0.04	0.10	0.10	0.23	0.22	0.04	
	78.00	0.39	12.69	1.54	0.12	0.41	2.00	4.28	1.40	0.08	4
	0.42	0.00	0.15	0.10	0.07	0.08	0.06	0.24	0.07	0.01	
蟹沢地区・試料4	78.06	0.16	12.23	1.63	0.08	0.19	1.71	3.91	1.98	0.03	4
	0.58	0.03	0.24	0.16	0.06	0.02	0.19	0.28	0.19	0.03	
	77.43	0.28	12.46	1.83	0.10	0.28	2.03	4.03	1.51	0.04	4
	0.76	0.09	0.36	0.29	0.07	0.17	0.14	0.41	0.19	0.02	
十和田花 (To-a)	78.07	0.20	12.16	1.54	0.09	0.13	1.74	3.26	2.80	0.03	1
	0.42	0.00	0.12	0.10	0.07	0.08	0.06	0.24	0.07	0.01	
	78.08	0.19	12.33	0.99	0.07	0.24	1.12	3.43	3.54	0.00	1
	77.87	0.37	12.81	1.75	0.10	0.42	2.00	3.29	1.34	0.06	
十和田中腹 (To-Cu)	75.00	0.44	13.28	2.46	0.08	0.63	2.63	4.04	1.29	0.09	-
	75.00	0.53	13.00	2.50	0.07	0.50	2.00	3.60	2.80*	-	-
	74.98	0.42	13.10	2.40	0.08	0.58	2.53	3.73	1.36	0.08	-
	74.98	0.42	13.10	2.40	0.08	0.58	2.53	3.73	1.36	0.08	-
鬼界アカホヤ (K-Ah)	75.00	0.53	13.00	2.50	0.07	0.50	2.00	3.60	2.80*	-	-
	74.98	0.42	13.10	2.40	0.08	0.58	2.53	3.73	1.36	0.08	-
	74.98	0.42	13.10	2.40	0.08	0.58	2.53	3.73	1.36	0.08	-
	74.98	0.42	13.10	2.40	0.08	0.58	2.53	3.73	1.36	0.08	-
始良田 Th (AT)	78.40	0.13	12.20	1.20	0.04	0.14	1.10	3.30	3.40	-	-
	77.70	0.13	12.20	1.20	0.04	0.14	1.10	3.30	3.40	-	-
	77.70	0.13	12.20	1.20	0.04	0.14	1.10	3.30	3.40	-	-
	77.70	0.13	12.20	1.20	0.04	0.14	1.10	3.30	3.40	-	-
阿蘇4 (Aso-4)	72.70	0.43	14.90	1.60	0.10	0.40	1.20	4.60	4.20*	-	-
	72.70	0.43	14.90	1.60	0.10	0.40	1.20	4.60	4.20*	-	-
	72.70	0.43	14.90	1.60	0.10	0.40	1.20	4.60	4.20*	-	-
	72.70	0.43	14.90	1.60	0.10	0.40	1.20	4.60	4.20*	-	-
利賀 (Toya)	79.24	0.06	12.50	0.96	0.08	0.03	0.37	4.28	2.48*	-	-
	79.24	0.06	12.50	0.96	0.08	0.03	0.37	4.28	2.48*	-	-
	79.24	0.06	12.50	0.96	0.08	0.03	0.37	4.28	2.48*	-	-
	79.24	0.06	12.50	0.96	0.08	0.03	0.37	4.28	2.48*	-	-

無水で換算。指標テフラのデータは、町田・新井(1992)。

ただし、試料 14 の主成分化組成分析対象粒子のうち 1 粒子については、約 1.5 ~ 1.65 万年前 (^{14}C 年代は 1.3 ~ 1.4 万年前) に浅間火山から噴出した浅間板鼻黄色軽石 (As-YP, 新井, 1962, 町田・新井, 1992, 2003 など) やそれに関係するテフラに由来する可能性が指摘される。なお、As-YP に含まれる火山ガラスの屈折率 (n) は 1.501-1.505 で、今回測定された値とほとんど異なる。さらに、その火山ガラスの形態や色調も、To-a と比較的類似している。これらのこととは、とくに野外におけるテフラの堆積状態や年代が確かな遺物包含層や遺構との詳細な関係の把握なしに行われている To-a へのテフラ同定分析への問題点を示すことになる。火山ガラスの色調形態把握や屈折率測定のほかに、今回のように信頼度の高い EPMA による主成分化組成分析が合わせて実施されることが期待される。

平成 20 年度の分析結果

新堤地区のテフラ層（試料 1、試料 3、試料 4）については、層相や火山ガラスの色調形態、火山ガラスの屈折率などから、915 年に十和田火山から噴出した十和田 a テフラ (To-a, 町田ほか, 1981, 町田・新井, 2003 など) と考えられる。試料 2 についても、同様の火山ガラスの比率が高いことから、To-a の一次堆積層あるいは To-a 起源の火山ガラスの濃集層と考えられる。

蟹沢地区的試料 3 についても、同様の色調形態や屈折率特性をもつ火山ガラスの比率が高いことから、To-a の火山ガラスが多く含まれていると考えられる。試料 4 についても同じような理由で To-a の火山ガラスの比率が比較的高いと考えられるが、中間型ガラスの比率がやや高いことや、有色の火山ガラスが少量含まれていること、比較的高い屈折率の火山ガラスが含まれていることなどから、To-a 起源の火山ガラス以外のものも含まれていると考えられる。

火山ガラスの主成分化組成分析の対象となった試料 1 には、屈折率や主成分化組成 (4 粒子) から To-a 起源の火山ガラスが含まれていると考えられるが、To-a 以外の火山ガラスも比較的高い比率で含まれているようである。火山ガラスの高い屈折率の値から、約 6000 年前に十和田火山から噴出した十和田中撫テフラ (To-Cu, 大池ほか, 1966, 早川, 1983, 町田・新井, 2003 など) の混在も考えられるが、主成分化組成の傾向とは一致しない。試料 5 では、主成分化組成傾向の異なる 4 種類の火山ガラスが検出されたものの、To-a や To-Cu に由来すると考えられるものは認められなかった。現在のところ、これらの起源については不明である。主成分化組成分析に関しては試料の蓄積の段階にあり、仙台市域における高信頼度の火山灰編年学の利用については、今後も基盤層中に含まれる火山ガラスに関するデータを収集していく必要がある。試料 2 については、試料 1 と同様の火山ガラスの含有率と色調形態別比率の傾向が伺えるものの、To-a に由来する火山ガラスが含まれる可能性に関しては不明確である。いずれにしても、To-a の一次堆積層から採取されたものではないことは指摘できよう。

高精度の火山灰編年学では、基本的にはテフラの一次堆積層が利用され、一次堆積の認定のためには現地での詳細なテフラの観察記載が必要である。また、To-a のように噴出年代が新しいテフラについては、水和の程度が地域や粒子の大きさによって異なり、屈折率の range が広く出る傾向にある。屈折率の値は特徴的なものではないことから、屈折率測定レベルにより起源の異なる複数のテフラが混在しているケースと区別することは困難である。

7. 小結

平成 18 年度では、火山ガラス比分析、火山ガラスの屈折率測定、および EPMA による火山ガラスの主成分化組成分析を実施した。その結果、各試料から十和田 a 火山灰 (To-a, 915 年) に由来するテフラ粒子が検出された。また、一部の試料では To-a のほかに浅間板鼻黄色軽石 (As-YP, 約 1.5 ~ 1.65 万年前) に由来する可能性がある火山ガラスも検出された。

平成 20 年度では、火山ガラス比分析、火山ガラスの屈折率測定、および EPMA による火山ガラスの主成分化組成分析を行なった。その結果、十和田 a テフラ (To-a, 915 年) をはじめ、複数のテフラに由来する火山ガラス

を検出することができた。

文献

- 新井房夫（1962）関東盆地北西部地域の第四紀編年、群馬大学紀要自然科学編、10, p.1-79.
- 大池昭・中川久夫・七崎 修・松山 力・米倉伸之（1966）馬淵川中・下流沿岸の段丘と火山灰、第四紀研究、5, p.29-35.
- 大池昭二（1972）十和田火山東麓における完新世テフラの編年、第四紀研究、11, p.232-233.
- 早川由紀夫（1983）十和田中壇テフラ層の分布、粒度、組成、年代、火山、28, p.263-273.
- 町田 洋・新井房夫（1992）火山灰アトラス、東京大学出版会、276p.
- 町田 洋・新井房夫（2003）新編火山灰アトラス、東京大学出版会、336p.
- 町田 洋・新井房夫・森脇 広（1981）日本海を渡ってきたテフラ、科学、51, p.562-569.

第3節 放射性炭素年代測定

1. はじめに

放射性炭素年代測定は、光合成・呼吸作用や食物摂取などにより生物体内に取り込まれた放射性炭素(^{14}C)の濃度が、放射性崩壊により時間とともに減少することを利用した年代測定法である。樹木や種実などの植物遺体、骨、貝殻、土壤、土器付着炭化物などが測定対象となり、約5万年前までの年代測定が可能である。過去の大気中の ^{14}C 濃度は一定ではなく、年代値の算出に影響を及ぼしていることから、年輪年代学などの成果を利用した較正曲線により ^{14}C 年代から曆年代に換算する必要がある。

2. 試料と方法

試料は、新堤地区から採取された14点、蟹沢地区から採取された27点の合計41点である。試料の詳細を表9・10に示す。測定方法は、すべて加速器質量分析法(AMS法)である。

3. 測定結果

表11・12に放射性炭素年代測定結果および曆年代較正結果を示す。

(1) 未補正 ^{14}C 年代

試料の $^{14}\text{C} / ^{12}\text{C}$ 比から、単純に現在(AD1950年)から何年前かを計算した値。 ^{14}C の半減期は5730年であるが、国際的慣例によりLibbyの5568年を用いて計算している。

(2) $\delta^{13}\text{C}$ 測定値

試料の測定 $^{14}\text{C} / ^{12}\text{C}$ 比を補正するための炭素安定同位体比($^{13}\text{C} / ^{12}\text{C}$)。この値は標準物質(PDB)の同位体比からの千分偏差(‰)で表示。試料の $\delta^{13}\text{C}$ 値を-25(‰)に標準化することで同位体分別効果を補正する。

(3) ^{14}C 年代

$\delta^{13}\text{C}$ 測定値により同位体分別効果を補正して算出した年代。曆年代較正にはこの年代値を使用する。

(4) 曆年代(Calendar Age)

^{14}C 年代を実際の年代(曆年代)に近づけるには、過去の宇宙線強度の変動などによる大気中 ^{14}C 濃度の変動および ^{14}C の半減期の違いを較正する必要がある。較正には、年代既知の樹木年輪の ^{14}C の詳細な測定値およびサンゴのU/Th(ウラン/トリウム)年代と ^{14}C 年代の比較により作成された較正曲線を使用した。IntCal04ではBC24050年までの換算が可能である(樹木年輪データはBC10450年まで)。

曆年代の交点は、 ^{14}C 年代値と較正曲線との交点の曆年代値を示し、 1σ (68%確率)と 2σ (95%確率)は、 ^{14}C 年代値の偏差の幅を較正曲線に投影した曆年代の幅を示す。したがって、複数の交点や複数の 1σ ・ 2σ 値が

表9 平成18年度 与兵衛沼跡跡(新堤地区)における放射性炭素年代測定試料一覧表

試料名	地区	番号	遺物番号	遺構名	組群	基本種・遺構種類名	断縫判定結果	前処理・調整	測定法
No.1	新堤地区	1	900	SO1		7層 (炭化材)	コラ属コラ節	acid/alkal/acid	AMS
No.2		2	901	SO3		31層 (炭化材)	クマシデ属イヌシデ節	acid/alkal/acid	AMS
No.3		3	876	SO4		5層 (炭化材)	ブナ属	acid/alkal/acid	AMS
No.4		4	878	SO5		5層 (炭化材)	コラ属コラ節	acid/alkal/acid	AMS
No.5		5	923	SO6		6層(灰岩) (炭化材)	カエデ属	acid/alkal/acid	AMS
No.6		6	1128	S09		3層 (炭化材)	クマシデ属イヌシデ節	acid/alkal/acid	AMS
No.7		7	1256	SK13		9層 (炭化材)	コラ属コラ節	acid/alkal/acid	AMS
No.8		8	1205	SK14		11層 (炭化材)	-	acid/alkal/acid	AMS
No.9		9	1289	SK15		2層 (炭化材)	-	acid/alkal/acid	AMS

表10 平成20年度 与兵衛沼跡跡(新堤地区・蟹津地区)における放射性炭素年代測定試料一覧表

試料名	地区	番号	遺物番号	遺構名	組群	基本種・遺構種類名	断縫判定結果	前処理・調整	測定法	
No.1	新堤地区	1	1446	SK10		1層	-	acid/alkal/acid	AMS	
No.2		2	1413	SK24		炭化物サンプルNo.3	モミ属	acid/alkal/acid	AMS	
No.3		3	1448	SO4		構架材No.2-3層	マンサク属	acid/alkal/acid	AMS	
No.4		4	1449	SO4		構架材No.12	マンサク属	acid/alkal/acid	AMS	
No.5		5	1456	SO4		灰原	5層	コラ属コラ節	acid/alkal/acid	AMS
No.6	蟹津地区	1	2025	東地点・S010		炭化物(構架材)	コラ属コラ節	acid/alkal/acid	AMS	
No.7		2	393	東地点・S010		大別1層 灰化物	カエデ属	acid/alkal/acid	AMS	
No.8		3	1640	東地点・S012		燒成部南側西壁	炭化物(構架材)	クリ	acid/alkal/acid	AMS
No.9		4	1641	東地点・S013		燒成部東側壁	炭化物(構架材)	クリ	acid/alkal/acid	AMS
No.10		5	1836	東地点・S013		有筋部北側	炭化物(構架材)	トリコ属	acid/alkal/acid	AMS
No.11		6	1838	東地点・S014		炭化物(構架材)	コラ属コラ節	acid/alkal/acid	AMS	
No.12		7	1915	東地点・S014		炭化物(構架材)	コラ属コラ節	acid/alkal/acid	AMS	
No.13		8	1498	東地点・S014		大別1層下 灰化物	コラ属コラ節	acid/alkal/acid	AMS	
No.14		9	1274	東地点・S014		炭化物(構架材)	カエデ属	acid/alkal/acid	AMS	
No.15		10	1839	東地点・S015		炭化物(構架材)	マンサク属	acid/alkal/acid	AMS	
No.16		11	1642	東地点・S015		炭化物(構架材)	クリ	acid/alkal/acid	AMS	
No.17		12	2026	東地点・S016		炭化物(構架材)	マツ属複複管束亞属	acid/alkal/acid	AMS	
No.18		13	1558a	東地点・S016		燒成部内	マツ属複複管束亞属	acid/alkal/acid	AMS	
No.19		14	1558b	東地点・S016		燒成部底	炭化物	マツ属複複管束亞属	acid/alkal/acid	AMS
No.20		15	1304	東地点・S017灰原		大別1層下 炭化物(構架材)	コラ属コラ節	acid/alkal/acid	AMS	
No.21		16	1840	東地点・S018		炭化物(構架材)	マンサク属	acid/alkal/acid	AMS	
No.22		17	1300	東地点・SK7		1層 灰化物	カエデ属	acid/alkal/acid	AMS	
No.23		18	1303	東地点・SK7		1層 灰化物	カエデ属	acid/alkal/acid	AMS	
No.24		19	1404	西地点・S01灰原		3層 灰化物	クマシデ属イヌシデ節	acid/alkal/acid	AMS	
No.25		20	1229	西地点・S05		大別1層 灰化物	コラ属コラ節	acid/alkal/acid	AMS	
No.26		21	1353	西地点・S07		大別1層 灰化物	ガマズミ属	acid/alkal/acid	AMS	
No.27		22	2065	西地点・S07		大別1層上 灰化物	シラカ族	acid/alkal/acid	AMS	
No.28		23	825	西地点・2号灰原		1層 灰化物	ブナ属	acid/alkal/acid	AMS	
No.29		24	848	西地点・2号灰原		1層 灰化物	コラ属コラ節	acid/alkal/acid	AMS	
No.30		25	2397	西地点・SK6		1層 灰化物	コラ属コラ節	acid/alkal/acid	AMS	
No.31		26	2462	西地点・1号灰原c		2層	モミ属	acid/alkal/acid	AMS	
No.32		27	1912	西地点・1号灰原c		2層	モミ属	acid/alkal/acid	AMS	

表記される場合もある。

4. 所見

平成18年度の測定結果

加速器質量分析法(AMS)による放射性炭素年代測定の結果、No.1(SO1)の炭化材では 1220 ± 40 年 BP (2σ の暦年代で AD680 ~ 890 年)、No.2(SO3)では 1240 ± 40 年 BP (AD670 ~ 890 年)、No.3(SO4)では 1120 ± 40 年 BP (AD810 ~ 1010 年)、No.4(SO5)では 1130 ± 40 年 BP (AD780 ~ 1000 年)、No.5(SO6)では 1500 ± 40 年 BP (AD440 ~ 490, 520 ~ 640 年)、No.6(SO9)では 1220 ± 40 年 BP (AD680 ~ 890 年)、No.7(SK13)では 1240 ± 40 年 BP (AD670 ~ 890 年)、No.8(SK14)では 1270 ± 40 年 BP (AD660 ~ 870 年)、No.9(SK15)では 1190 ± 40 年 BP (AD710 ~ 900, 920 ~ 960 年) の年代値が得られた。No.1とNo.6では暦年代の年代幅がかなり大きくなっているが、これは該当時期の較正曲線が不安定なためである。

このうち、最も古い暦年代を示すのは No.5(SO6)の5世紀頃、最も新しいのは No.3(SO4)と No.4(SO5)の9世紀末~10世紀未頃であり、その他の試料の暦年代はおおむね 8世紀~9世紀頃を示している。これは、窯跡の年代が奈良時代末から平安時代前半頃とする考古学的所見とおおむね整合している。

なお、樹木(炭化材)による年代測定結果は、樹木の伐採年もしくはそれより以前の年代を示しており、樹木の芯材に近い部分が試料となっていた場合は、遺構が使用された年代よりも数十年程度古い年代値となっている可能

表11 平成18年度 与兵衛沼窓跡(新堤地区)における放射性炭素年代測定結果

試料名	測定No	未補正°C年代 (年BP)	$\delta^{13}\text{C}$ (‰)	°C年代 (年BP)	曆年 Calendar Age (1σ: ±68%, 2σ: ±95%確立)	試料名	測定No	未補正°C年代 (年BP)	$\delta^{13}\text{C}$ (‰)	°C年代 (年BP)	曆年 Calendar Age (1σ: ±68%, 2σ: ±95%確立)
No.1	229764	1230±40	-25.9	1220±40	実古: Cal AD 780 2σ: Cal AD 680~890 1σ: Cal AD 720~140, 770~880	No.6	229769	1240±40	-26.5	1220±40	実古: Cal AD 780 2σ: Cal AD 680~890 1σ: Cal AD 720~140, 770~880
No.2	229765	1240±40	-25.2	1240±40	実古: Cal AD 770 2σ: Cal AD 670~890 1σ: Cal AD 690~810	No.7	229770	1230±40	-24.6	1240±40	実古: Cal AD 770 2σ: Cal AD 670~890 1σ: Cal AD 690~810
No.3	229766	1160±40	-27.6	1120±40	実古: Cal AD 900, 920, 950 2σ: Cal AD 810~1010 1σ: Cal AD 890~980	No.8	229771	1280±40	-25.6	1270±40	実古: Cal AD 710, 750, 760 2σ: Cal AD 660~870 1σ: Cal AD 680~780
No.4	229767	1140±40	-25.5	1130±40	実古: Cal AD 900 2σ: Cal AD 780~1000 1σ: Cal AD 880~980	No.9	229772	1200±40	-25.5	1190±40	実古: Cal AD 870 2σ: Cal AD 710~900, 920~960 1σ: Cal AD 780~890
No.5	229768	1530±40	-26.6	1500±40	実古: Cal AD 570 2σ: Cal AD 440~490, 520~640 1σ: Cal AD 540~610						

BP: Before Physics (Present) . Cal:Calibrated . BC:紀元前 . AD:紀元後

表12 平成20年度 与兵衛沼窓跡(新堤地区・蟹沢地区)における放射性炭素年代測定試料一覧表

試料名	測定No	未補正°C年代 (年BP)	$\delta^{13}\text{C}$ (‰)	°C年代 (年BP)	曆年 Calendar Age (1σ: ±68%, 2σ: ±95%確立)	試料名	測定No	未補正°C年代 (年BP)	$\delta^{13}\text{C}$ (‰)	°C年代 (年BP)	曆年 Calendar Age (1σ: ±68%, 2σ: ±95%確立)
No.1	254122	1050±40	-26.3	1030±40	実古: Cal AD 900~920, 960~1040 2σ: Cal AD 900~920, 960~1040 1σ: Cal AD 980~1030	No.17	254138	50±40	-25.6	40±40	実古: Cal AD 1960 2σ: Cal AD 1700~1750, 1800~1900, 1950~ 1σ: Cal AD 1960~1990
No.2	254123	1220±40	-26.6	1190±40	実古: Cal AD 870 2σ: Cal AD 110~160, 180~900, 920~980 1σ: Cal AD 780~890	No.18	254139	1620±40	-25.7	1610±40	実古: Cal AD 420 2σ: Cal AD 380~550 1σ: Cal AD 410~490, 480~510, 520~550
No.3	254124	1080±40	-28.4	1020±40	実古: Cal AD 1020 2σ: Cal AD 970~1040 1σ: Cal AD 990~1030	No.19	254140	1600±40	-25.2	1600±40	実古: Cal AD 430 2σ: Cal AD 390~550 1σ: Cal AD 410~490
No.4	254125	970±40	-27.8	920±40	実古: Cal AD 1060, 1080, 1150 2σ: Cal AD 1020~1210 1σ: Cal AD 1040~1170	No.20	254141	1370±40	-25.4	1360±40	実古: Cal AD 660 2σ: Cal AD 620~690 1σ: Cal AD 650~670
No.5	254126	940±40	-25.4	930±40	実古: Cal AD 1080, 1100, 1140, 1140 2σ: Cal AD 1020~1210 1σ: Cal AD 1030~1160	No.21	254142	1310±40	-29.2	1240±40	実古: Cal AD 770 2σ: Cal AD 670~890 1σ: Cal AD 690~810
No.6	254127	1170±40	-25.4	1160±40	実古: Cal AD 890 2σ: Cal AD 770~980 1σ: Cal AD 810~900, 920~950	No.22	254143	940±40	-25.0	940±40	実古: Cal AD 1040, 1100, 1120 2σ: Cal AD 1020~1200 1σ: Cal AD 1030~1160
No.7	254128	1230±40	-26.4	1210±40	実古: Cal AD 780 2σ: Cal AD 690~900 1σ: Cal AD 770~890	No.23	254144	830±40	-24.8	830±40	実古: Cal AD 1210 2σ: Cal AD 1160~1270 1σ: Cal AD 1170~1260
No.8	254129	1250±40	-26.4	1230±40	実古: Cal AD 780 2σ: Cal AD 680~890 1σ: Cal AD 710~750, 760~870	No.24	254145	1140±40	-24.5	1150±40	実古: Cal AD 890 2σ: Cal AD 780~980 1σ: Cal AD 870~900, 920~960
No.9	254130	1320±40	-24.9	1130±40	実古: Cal AD 670 2σ: Cal AD 650~770 1σ: Cal AD 660~690	No.25	254146	1150±40	-25.7	1140±40	実古: Cal AD 890 2σ: Cal AD 780~990 1σ: Cal AD 880~970
No.10	254131	1120±40	-25.0	1140±40	実古: Cal AD 900 2σ: Cal AD 780~1000 1σ: Cal AD 880~890	No.26	254147	1320±40	-29.0	1250±40	実古: Cal AD 770 2σ: Cal AD 670~880 1σ: Cal AD 690~780
No.11	254132	1140±40	-24.6	1340±40	実古: Cal AD 890 2σ: Cal AD 780~990 1σ: Cal AD 880~970	No.27	254148	1260±40	-26.9	1230±40	実古: Cal AD 780 2σ: Cal AD 680~890 1σ: Cal AD 710~750, 760~870
No.12	254133	1330±40	-27.2	1320±40	実古: Cal AD 660 2σ: Cal AD 640~720, 740~770 1σ: Cal AD 650~680	No.28	254149	1120±40	-25.4	1110±40	実古: Cal AD 900, 920, 960 2σ: Cal AD 870~1010 1σ: Cal AD 890~980
No.13	254134	1360±40	-26.4	1310±40	実古: Cal AD 670 2σ: Cal AD 650~770 1σ: Cal AD 660~690	No.29	254150	1150±40	-25.2	1150±40	実古: Cal AD 890 2σ: Cal AD 780~980 1σ: Cal AD 870~900, 920~960
No.14	254135	1330±40	-26.4	1240±40	実古: Cal AD 680 2σ: Cal AD 650~780 1σ: Cal AD 660~780	No.30	254151	1200±40	-24.6	1210±40	実古: Cal AD 690~900 2σ: Cal AD 670~880 1σ: Cal AD 770~880
No.15	254136	1260±40	-26.2	1290±40	実古: Cal AD 770 2σ: Cal AD 670~890 1σ: Cal AD 690~810	No.31	254152	900±40	-26.1	880±40	実古: Cal AD 1170 2σ: Cal AD 1040~1240 1σ: Cal AD 1080~1085, 1100~1210
No.16	254137	1310±40	-26.2	1220±40	実古: Cal AD 690 2σ: Cal AD 660~780 1σ: Cal AD 670~770	No.32	254153	920±40	-24.6	930±40	実古: Cal AD 1080, 1085, 1110, 1140, 1140 2σ: Cal AD 1030~1210 1σ: Cal AD 1030~1160

BP: Before Physics (Present) . Cal:Calibrated . BC:紀元前 . AD:紀元後

性が考えられる。

平成20年度の測定結果

新堤地区および蟹沢地区から採取された計32試料について、加速器質量分析法(AMS法)による放射性炭素年代測定を行なった。その結果、最も古い年代値を示すのは、試料№18の 1610 ± 40 年BP(2σの曆年代でAD380～550年)および№19の 1600 ± 40 年BP(AD390～550年)であり、次いで№20の 1360 ± 40 年BP(AD620～690年)などである。また、最も新しい年代値を示すのは、№17を除くと、№23の 830 ± 40 年BP(AD1160～1270年)であり、次いで№31の 880 ± 40 年BP(AD1040～1240年)、№4の 920 ± 40 年BP(AD1020～1210年)などである。№17については、 1960 ± 40 年BPと極端に新しいことから、何らかの混入の可能性が考えられる。

このように年代幅が比較的広いが、最も多いのは曆年代でAD700年からAD1000年にかけての年代であり、窯跡の年代が奈良時代から平安時代頃とする考古学的所見とおおむね整合している。なお、樹木(炭化材)による年代測定結果は、樹木の伐採年もしくはそれより以前の年代を示しており、樹木の芯材に近い部分が利用されたり転用材が利用されていた場合は、遺構の年代よりも古い年代値となる。

文献

- Paula J Reimer et al., (2004) IntCal04 Terrestrial radiocarbon age calibration, 26.0 ka BP. Radiocarbon 46, 1029-1058.
- 尾崎大真 (2005) IntCal98 から IntCal04へ. 学術創成研究費 弥生農耕の起源と東アジア№3－炭素年代測定による高精度編年体系の構築－. p.14-15.
- 中村俊夫 (1999) 放射性炭素法. 考古学のための年代測定学入門. 古今書院, p.1-36.

第4節 樹種同定

1. はじめに

木材は、セルロースを骨格とする木部細胞の集合体であり、解剖学的形質の特徴から樹種の同定が可能である。木材は花粉などの微化石と比較して移動性が小さいことから、比較的近隣の森林植生の推定が可能であり、遺跡から出土したものについては木材の利用状況や流通を探る手がかりとなる。

2. 試料

試料は、新堤地区で採取された炭化材20点、および蟹沢地区で採取された炭化材25点、木材2点の合計47点である。試料の詳細を分析結果表に示す。

3. 方法

木材は、カミソリを用いて試料の新鮮な横断面(木口と同義)、放射断面(柾目)、接線断面(板目)の基本三断面の切片を作製し、生物顕微鏡によって40～1000倍で観察した。炭化材については、試料を割折して新鮮な基本三断面の切片を作製し、落射顕微鏡によって50～1000倍で観察した。同定は、解剖学的形質および現生標本との対比によって行なった。

4. 結果

表13に平成18年度の同定結果を示し、主要な分類群の顕微鏡写真を示す。以下に同定根拠となった特徴を記す。
クマシテ属イヌシテ節 *Carpinus sect. Carpinius* カバノキ科 図版1-1

横断面：小型で丸い道管が単独あるいは数個放射方向に複合し、全体として放射方向に配列する放射孔材である。集合放射組織が見られる。放射断面：道管の穿孔は單穿孔である。放射組織は同性である。接線断面：放射組織は

同性で1~3細胞幅のものと集合放射組織からなる。

以上の形質よりクマシデ属イヌシデ節に同定される。落葉高木で、北海道、本州、四国、九州の山野に分布する。材は器具、家具、薪炭などに用いられる。

ブナ属 *Fagus* ブナ科 図版1~2

横断面：小型でやや角張った道管が単独あるいは2~3個複合して密に散在する散孔材である。早材から晩材にかけて道管の径は緩やかに減少する。放射断面：道管の穿孔は單穿孔および階段穿孔である。放射組織はほとんど平伏細胞からなるが、ときに上下端のみ方形細胞が見られる。接線断面：放射組織はまれに上下端のみ方形細胞が見られるがほとんどが同性放射組織型で、単列のもの、2~数列のもの、大型の広放射組織のものがある。

以上の形質よりブナ属に同定される。ブナ属には、ブナ、イヌブナがあり、北海道南部、本州、四国、九州に分布する。落葉の高木で、通常高さ20~25m、径60~70cmぐらいであるが、大きいものは高さ35m、径1.5m以上に達する。材は堅硬、緻密、韌性あり、保存性は低い。器具、家具、薪炭などに用いられる。

コナラ属コナラ節 *Quercus sect. Pinus* ブナ科 図版1~3

横断面：年輪のはじめに大型の道管が1~数列配列する環孔材である。晩材部では薄壁で角張った小道管が火炎状に配列する。早材から晩材にかけて道管の径は急激に減少する。放射断面：道管の穿孔は單穿孔で、放射組織は平伏細胞からなる。接線断面：放射組織は同性放射組織型で、単列のものと大型の広放射組織からなる複合放射組織である。

以上の形質よりコナラ属コナラ節に同定される。コナラ属コナラ節にはカシワ、コナラ、ナラガシワ、ミズナラがあり、北海道、本州、四国、九州に分布する。落葉高木で、高さ15m、径60cmぐらいに達する。材は強靭で弾力に富み、建築、家具、器具、土木、薪炭、椎茸ほだ木など広く用いられる。

サクラ属 *Prunus* バラ科 図版2~4

横断面：小型で丸い道管が単独あるいは2~3個放射方向および斜め方向に複合して散在する散孔材である。道管の径は、早材部から晩材部にかけてゆるやかに減少する。放射断面：道管の穿孔は單穿孔で、道管の内壁にはらせん肥厚が存在する。放射組織は同性に近い異性である。接線断面：放射組織は異性放射組織型で1~3細胞幅ぐらいである。

以上の形質よりサクラ属に同定される。サクラ属には、ヤマザクラ、ウワミズザクラ、シシリザクラ、ウメ、モモなどがあり、北海道、本州、四国、九州に分布する。落葉の高木または低木である。材は建築、器具、薪炭などに用いられる。

カエデ属 *Acer* カエデ科 図版2~5

横断面：小型で丸い道管が単独あるいは2~4個放射方向に複合して散在する散孔材である。放射断面：道管の穿孔は單穿孔で、内壁には微細な螺旋肥厚が存在する。放射組織は、平伏細胞からなる同性である。接線断面：放射組織は同性放射組織型で1~5細胞幅である。道管の内壁には微細な螺旋肥厚が存在する。

以上の形質よりカエデ属に同定される。カエデ属には、イタヤカエデ、ウリハダカエデ、ハウチワカエデ、テツカエデなどがある。落葉の高木または小高木で、大きいものは高さ20m、径1mに達する。材は耐朽性および保存性は中庸で、建築、家具、器具、楽器、合板、彫刻、薪炭など広く用いられる。

トネリコ属 *Fraxinus* モクセイ科 図版2~6

横断面：年輪のはじめに大型で厚壁の丸い道管がほぼ単独で1~3列配列する環孔材である。孔隙部外では小型であるいは厚壁の道管が単独あるいは放射方向に2~3個複合して散在する。早材から晩材にかけて道管の径は急激に減少する。軸方向柔細胞は早材部で周囲状、晩材部では翼状から連合翼状である。放射断面：道管の穿孔は單穿孔である。内部にはチローシスが著しい。放射組織は同性である。接線断面：放射組織は同性放射組織型で1~

表13 平成18年度 与兵衛沼窓跡(新堤地区)における樹種同定結果

地区	資料名	遺物番号	遺物名	組部	基本樹・遺構堆積物名	結果(学名/和名)
新堤地区	No.1	634	S01	7層(灰原)	<i>Quercus</i> sect. <i>Prinos</i>	コラガ属コナラ節
	No.2	900	S01	7層	<i>Quercus</i> sect. <i>Prinos</i>	コラガ属コナラ節
	No.3	745	S03	38層(灰原)	<i>Quercus</i> sect. <i>Prinos</i>	コナラ属コナラ節
	No.4	901	S03	31層	<i>Quercus</i> sect. <i>Prinos</i>	クシシデ属イヌシデ節
	No.5	798	S04	S02	<i>Quercus</i> sect. <i>Prinos</i>	コラガ属コナラ節
	No.6	876	S04		<i>Fagus</i>	ブナ属
	"	"			"	"
	No.7	878	S05	5層	<i>Quercus</i> sect. <i>Prinos</i>	コラガ属コナラ節
	No.8	926	S06	2層(灰原)	<i>Quercus</i> sect. <i>Prinos</i>	コラガ属コナラ節
	No.9	923	S06	6層(灰原)	<i>Acer</i>	カエデ属
	No.10	1128	S09	3層	<i>Quercus</i> sect. <i>Cerris</i>	クシシデ属イヌシデ節
	No.11	1030	1号灰原		<i>Fraxinus</i>	トネリコ属
	No.12	1178	1号灰原		<i>Quercus</i> sect. <i>Cerris</i>	クシシデ属イヌシデ節
	"	"			<i>Quercus</i> sect. <i>Prinos</i>	コラガ属コナラ節
	No.13	1256	SK13	9層	<i>Quercus</i> sect. <i>Prinos</i>	コラガ属コナラ節
	No.14	1231	SK14	4層	<i>Prinos</i>	サクラ属
	No.15	1302	SK15	2層(火山灰下)	<i>Fagus</i>	ブナ属
	No.16	1314	SK17	4層	<i>Fagus</i>	ブナ属

表14 平成20年度 与兵衛沼窓跡(新堤地区・蟹沢地区)における樹種同定結果

地区	資料名	遺物番号	遺物名	組部	基本樹・遺構堆積物名	結果(学名/和名)
新堤地区	No.1	1413	SK24	炭化物サンプルA	<i>Abies</i> -	モミ属
	No.2	1448	S04	炭化材No.2	<i>Hannamella</i>	マンサク属
	No.3	1449	S04	炭化材No.12	<i>Hannamella</i>	マンサク属
	No.4	1456	S04	灰原	<i>Quercus</i> sect. <i>Cerris</i>	コラガ属コナラ節
蟹沢地区	No.1	2025	東地点・S010	炭化物(構葉材)	<i>Quercus</i> sect. <i>Prinos</i>	コラガ属コナラ節
	No.2	393	東地点・S010	大別1層 炭化物	<i>Acer</i>	カエデ属
	No.3	1640	東地点・S012	炭化物(構葉材)	<i>Quercus</i> sect. <i>Prinos</i>	コラガ属コナラ節
	No.4	1641	東地点・S013	燒成部赤陶器	<i>Gesneria crassa</i> Sch. et Zucc.	クリ
	No.5	1836	東地点・S013	燒成部赤陶器	<i>Gesneria crassa</i> Sch. et Zucc.	クリ
	No.6	1838	東地点・S014	有刺底部灰	<i>Fagus</i>	トネリコ属
	No.7	1915	東地点・S014	炭化物(構葉材)	<i>Quercus</i> sect. <i>Cerris</i>	コラガ属コナラ節
	No.8	1498	東地点・S014	炭化物(構葉材)	<i>Quercus</i> sect. <i>Prinos</i>	コラガ属コナラ節
	No.9	1274	東地点・S014	炭化物(構葉材)	<i>Quercus</i> sect. <i>Prinos</i>	コラガ属コナラ節
	No.10	1839	東地点・S015	炭化物(構葉材)	<i>Acer</i>	カエデ属
	No.11	1642	東地点・S015	炭化物(構葉材)	<i>Hannamella</i>	マンサク属
	No.12	2026	東地点・S016	炭化物(構葉材)	<i>Gesneria crassa</i> Sch. et Zucc.	クリ
	No.13	1558	東地点・S016	燒成部内	<i>Pinus subgen. Apiculata</i>	マツ属複被葉東亞属
	No.14	1558	東地点・S016	燒成部底	<i>Pinus subgen. Apiculata</i>	マツ属複被葉東亞属
	No.15	1304	東地点・S017灰原	大別1層下 炭化物	<i>Quercus</i> sect. <i>Prinos</i>	コラガ属コナラ節
	No.16	1840	東地点・S018	炭化物(構葉材)	<i>Hannamella</i>	マンサク属
	No.17	1300	東地点・S07	1層 炭化物	<i>Acer</i>	カエデ属
	No.18	1303	東地点・SK7	1層 炭化物	<i>Acer</i>	カエデ属
	No.19	1404	西地点・S01灰原	3層 炭化物	<i>Carpinus</i> sect. <i>Carpinus</i>	クシシデ属イヌシデ節
	No.20	1229	西地点・S05	大別1層 炭化物	<i>Quercus</i> sect. <i>Prinos</i>	コラガ属コナラ節
	No.21	1353	西地点・S07	大別2層 炭化物	<i>Ilex</i>	ガマズミ属
	No.22	2065	西地点・S07	大別3層上 炭化物	<i>Sophora</i>	シラキ属
	No.23	825	西地点・2号灰原	1層 炭化物	<i>Fagus</i>	ブナ属
	No.24	848	西地点・2号灰原	1層 炭化物	<i>Quercus</i> sect. <i>Cerris</i>	コラガ属コナラ節
	No.25	2397	西地点・SK6	1層 炭化物	<i>Quercus</i> sect. <i>Prinos</i>	コラガ属コナラ節
	No.26	2462	西地点・1号灰原c	2層	<i>Abies</i>	モミ属
	No.27	1912	西地点・1号灰原c	2層	<i>Abies</i>	モミ属

3細胞幅である。

以上の形質よりトネリコ属に同定される。トネリコ属にはヤチダモ、トネリコ、アオダモなどがあり、北海道、本州、四国、九州に分布する落葉または常緑の高木である。材は建築、家具、運道具、器具、旋作、薪炭など広く用いられる。

表14に平成20年度の同定結果を示し、主要な分類群の顕微鏡写真を示す。以下に同定根拠となった特徴を記す。

モミ属 *Abies* マツ科 図版3-1

仮道管と放射柔細胞から構成される針葉樹材である。横断面：早材から晚材への移行は比較的緩やかである。放射断面：放射柔細胞の分野壁孔は小型のスギ型で1分野に1~4個存在する。放射柔細胞の壁が厚く、じゅず状末壁端を有する。接線断面：放射組織は單列の同心放射組織型である。

以上の形質より、モミ属に同定される。モミ属は日本に5種が自生し、その内ウラジロモミ、トドマツ、シラビソ、オオシラビソの4種は亞寒帯に分布し、モミは温帯を中心に分布する。常緑高木で高さ45m、径1.5mに達する。

材は保存性が低く軽軟であるが、現在では多用される。

マツ属複維管束亞属 *Pinus subgen. Diploxylon* マツ科 図版3-2

仮道管、放射柔細胞、放射仮道管および垂直、水平樹脂道を取り囲むエビセリウム細胞から構成される針葉樹材である。横断面：早材から晩材への移行は急で、垂直樹脂道が見られる。放射断面：放射柔細胞の分野壁孔は窓状である。放射仮道管の内壁には鋸歯状肥厚が存在する。接線断面：放射組織は単列の同性放射組織型であるが、水平樹脂道を含むものは紡錘形を呈する。

以上の形質により、マツ属複維管束亞属に同定される。マツ属複維管束亞属には、クロマツとアカマツがあり、どちらも北海道南部、本州、四国、九州に分布する常緑高木である。材は水湿によく耐え、広く用いられる。

クマシデ属イヌシデ節 *Carpinus sect. Carpinus* カバノキ科 図版3-3

横断面：小型で丸い道管が単独あるいは数個放射方向に複合し、全体として放射方向に配列する放射孔材である。集合放射組織が見られる。放射断面：道管の穿孔は、單穿孔である。放射組織は同性である。接線断面：放射組織は、同性で1～3細胞幅のものと、集合放射組織からなる。

以上の形質よりクマシデ属イヌシデ節に同定される。落葉の中高木で、北海道、本州、四国、九州の山野に分布する。

クリ *Castanea crenata* Sieb. et Zucc. ブナ科 図版4-4

横断面：年輪のはじめに大型の道管が數列配列する環孔材である。晩材部では小道管が火炎状に配列する。早材から晩材にかけて道管の径は急激に減少する。放射断面：道管の穿孔は單穿孔である。放射組織は平伏細胞からなる。接線断面：放射組織は単列の同性放射組織型である。

以上の形質よりクリに同定される。クリは北海道の西南部、本州、四国、九州に分布する。落葉の高木で、通常高さ20m、径40cmぐらいであるが、大きいものは高さ30m、径2mに達する。耐朽性強く、水湿によく耐え、保存性の極めて高い材で、現在では建築、家具、器具、土木、船舶、彫刻、薪炭、椎茸ほど木など広く用いられる。

ブナ属 *Fagus* ブナ科 図版4-5

横断面：小型でやや角張った道管が単独あるいは2～3個複合して密に散在する散孔材である。早材から晩材にかけて道管の径は緩やかに減少する。放射断面：道管の穿孔は單穿孔および階段穿孔である。放射組織はほとんど平伏細胞からなるが、ときに上下端のみ方形細胞が見られる。接線断面：放射組織はまれに上下端のみ方形細胞が見られるがほとんどが同性放射組織型で、単列のもの、2～数列のもの、大型の広放射組織のものがある。

以上の形質よりブナ属に同定される。ブナ属には、ブナ、イヌブナがあり、北海道南部、本州、四国、九州に分布する。落葉の高木で、通常高さ20～25m、径60～70cmぐらいであるが、大きいものは高さ35m、径1.5m以上に達する。材は堅硬、緻密、韌性あり、保存性は低い。容器などに用いられる。

コナラ属コナラ節 *Quercus sect. Pinus* ブナ科 図版4-6・5-7

横断面：年輪のはじめに大型の道管が1～数列配列する環孔材である。晩材部では薄壁で角張った小道管が火炎状に配列する。早材から晩材にかけて道管の径は急激に減少する。放射断面：道管の穿孔は單穿孔で、放射組織は平伏細胞からなる。接線断面：放射組織は同性放射組織型で、単列のものと大型の広放射組織からなる複合放射組織である。

以上の形質よりコナラ属コナラ節に同定される。コナラ属コナラ節にはカシワ、コナラ、ナラガシワ、ミズナラがあり、北海道、本州、四国、九州に分布する。落葉高木で、高さ15m、径60cmぐらいに達する。材は強靭で彈力に富み、建築材などに用いられる。

マンサク属 *Hamamelis* マンサク科 図版5-8

横断面：小型でやや角張った道管がほぼ単独で密に散在する散孔材である。道管の径は、早材部から晩材部にかけてゆるやかに減少する。放射断面：道管の穿孔は階段穿孔板からなる多孔穿孔で、階段の数は10～20数本

図版1 平成18年度 与兵衛沼窯跡(新堤地区)の炭化材

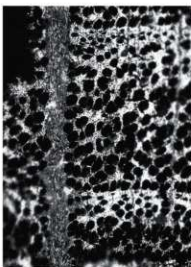


横断面 : 0.4mm

放射断面 : 0.2mm

接線断面 : 0.2mm

1. 遺物番号 1128 クマシデ属イヌシデ節



横断面 : 0.4mm

放射断面 : 0.2mm

接線断面 : 0.2mm

2. 遺物番号 1302 ブナ属



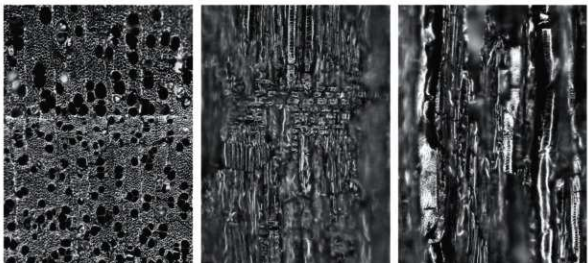
横断面 : 0.4mm

放射断面 : 0.2mm

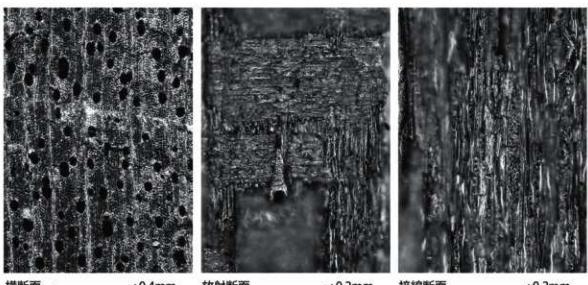
接線断面 : 0.2mm

3. 遺物番号 900 コナラ属コナラ節

図版2 平成18年度 与兵衛沼窯跡(新堤地区)の炭化材



横断面 : 0.4mm
4. 遺物番号 1231 サクラ属

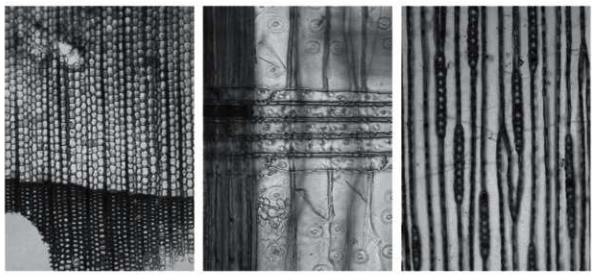


横断面 : 0.4mm
5. 遺物番号 923 力工デ属



横断面 : 0.4mm
6. 遺物番号 1030 トネリコ属

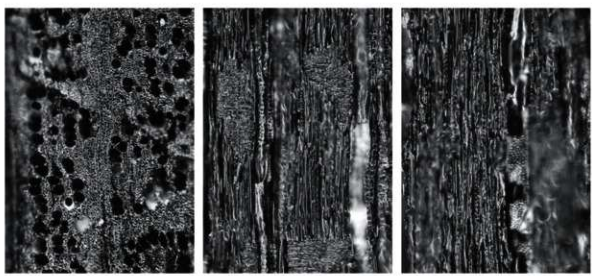
図版3 平成20年度 与兵衛沼窯跡（蟹沢地区）の炭化材及び木材



横断面 :0.5mm 放射断面 :0.05mm 接線断面 :0.2mm
1. 西地点 遺物番号 2462 モミ属

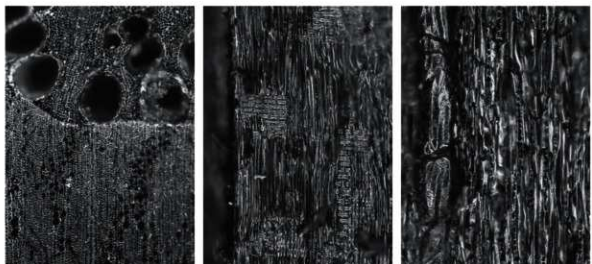


横断面 :0.4mm 放射断面 :0.1mm 接線断面 :0.2mm
2. 東地点 遺物番号 1558b マツ属複維管束亞属

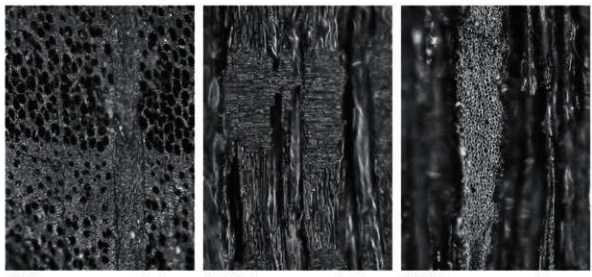


横断面 :0.4mm 放射断面 :0.2mm 接線断面 :0.2mm
3. 西地点 遺物番号 1404 クマシデ属イヌシデ節

図版4 平成20年度 与兵衛沼窯跡（蟹沢地区）の炭化材



横断面 : 0. 4mm 放射断面 : 0. 2mm 接線断面 : 0.2mm
4. 東地点 遺物番号 1836 クリ

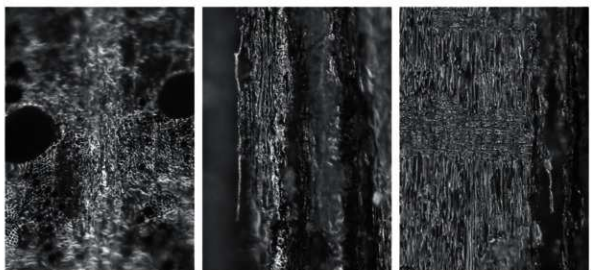


横断面 : 0. 4mm 放射断面 : 0. 2mm 接線断面 : 0.2mm
5. 西地点 遺物番号 825 ブナ属

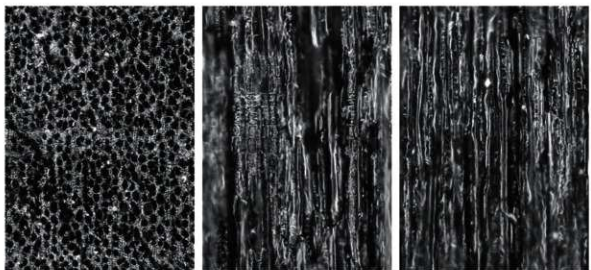


横断面 : 0. 2mm 放射断面 : 0.2mm 接線断面 : 0.2mm
6. 東地点 遺物番号 1915 コナラ属コナラ節

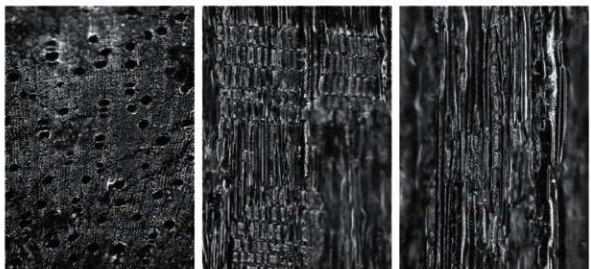
図版5 平成20年度 与兵衛沼窯跡（新堤地区・蟹沢地区）の炭化材



7. 新堤地区 遺物番号 1456 コナラ属コナラ節

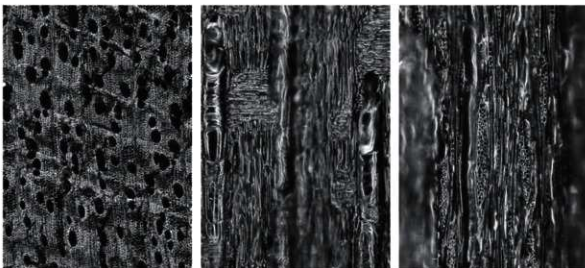


8. 蟹沢地区東地点 遺物番号 1840 マンサク属

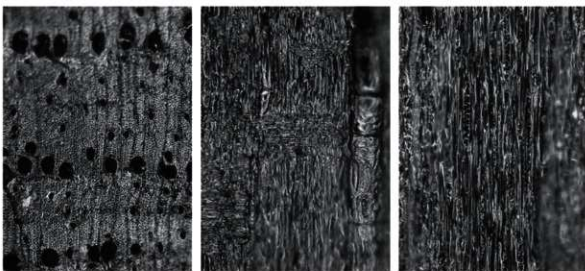


9. 蟹沢地区西地点 遺物番号 2065 シラキ

図版6 平成20年度 与兵衛沼窯跡（蟹沢地区）の炭化材



横断面 :0.4mm 放射断面 :0.2mm 接線断面 :0.2mm
10. 東地点 遺物番号 1303 カエデ属



横断面 :0.4mm 放射断面 :0.05mm 接線断面 :0.2mm
11. 東地点 遺物番号 1838 トネリコ属

程度である。放射組織は異性である。接線断面：放射組織は、単列の異性放射組織型で、10数個の平伏細胞と、1～数個の直立細胞からなる。

以上の形質より、マンサク属に同定される。マンサク属には、マンサク、マルバマンサクなどがあり、本州、四国、九州の山地に分布する。落葉の低木または高木で、通常高さ2～5mであるが、大きいものは高さ12mに達する。

シラキ *Sapium japonicum* Pax et Hoffm トウダイグサ科 図版5-9

横断面：やや小型の道管が単独あるいは2～5個放射方向に複合し、まばらに散在する散孔材である。放射断面：道管の穿孔は單穿孔で放射組織は異性である。接線断面：放射組織は、単列の異性放射組織型である。

以上の形質よりシラキに同定される。シラキは落葉の小高木で、本州、四国、九州、沖縄に分布する。材は器具、薪炭などに用いられる。

カエデ属 *Acer* カエデ科 図版6-10

横断面：小型で丸い道管が単独あるいは2～4個放射方向に複合して散在する散孔材である。放射断面：道管の穿孔は單穿孔で、内壁には微細な螺旋肥厚が存在する。放射組織は、平伏細胞からなる同性である。接線断面：

放射組織は、同性放射組織型で1～6細胞幅である。道管の内壁には微細な螺旋肥厚が存在する。

以上の形質よりカエデ属に同定される。カエデ属には、イタヤカエデ、ウリハダカエデ、ハウチワカエデ、ツカエデ、ウリカエデ、チドリノキなどがあるが、放射組織の形質からウリカエデ、チドリノキ以外のいずれかである。北海道、本州、四国、九州に分布する。落葉の高木または小高木で、大きいものは高さ20m、径1mに達する。材は耐朽性および保存性は中庸で、建築、家具、器具、楽器、合板、彫刻、薪炭など広く用いられる。

トネリコ属 *Taxodium* モクセイ科 図版6-11

横断面：年輪のはじめに大型で厚壁の丸い道管が、ほぼ単独で1～3列配列する環孔材である。孔圈部外では、小型である厚壁の道管が、単独あるいは放射方向に2～3個複合して散在する。早材から晚材にかけて道管の径は急激に減少する。軸方向柔細胞は早材部で周囲状、晚材部では翼状から連合翼状である。放射断面：道管の穿孔は單穿孔である。放射組織は同性である。接線断面：放射組織は同性放射組織型で1～2細胞幅である。

以上の形質よりトネリコ属に同定される。トネリコ属にはヤチダモ、アオダモ、トネリコ、シオジなどがあり、道管径などから細分できるが、本試料は小径の枝材であり炭化による変形も著しいことから、細分するに至らなかつた。ヤチダモは北海道、本州（中部以北）に、アオダモは北海道、本州、四国、九州に、トネリコは本州（中部以北）に、シオジは本州（関東地方以西）、四国、九州に分布し、いずれも落葉の高木である。材は建築、家具、運道具、器具、旋作、薪炭など広く用いられる。

散孔材 diffuse-porous wood

横断面：小型の道管が散在する。放射断面：道管と放射組織が存在する。接線断面：道管と多列幅の放射組織が存在する。

以上の形質より散孔材に同定される。試料の保存状態が悪く、小片で広範囲の観察が困難なため、散孔材の同定にとどめた。

5. 所見

平成18年度の同定結果

樹種同定の結果、コナラ属コナラ節9点、クマシデ属イヌシデ節3点、ブナ属3点、サクラ属1点、カエデ属1点、トネリコ属1点が同定された。

最も多いコナラ属コナラ節は、温帯を中心に広く分布する落葉高木で、日当たりの良い山野に生育する。ミズナラなどの冷温帶落葉広葉樹林の主要構成要素や暖温帶性のナラガシワ、二次林要素でもあるコナラなどが含まれる。クマシデ属イヌシデ節は温帯に広く分布する落葉高木で山野等に生育する。ブナ属にはブナとイヌブナがあり、温帯上部の冷温帶から温帯中間域の落葉広葉樹林帯に分布する。サクラ属は温帯に分布する落葉の高木または低木で、やや乾燥した斜面等に生育する。カエデ属は温帯に分布する落葉の高木または小高木で、やや湿氣のある肥沃な土壤を好み、谷間あるいはこれに接する斜面に生育する。トネリコ属は温帯を中心に広く分布する落葉または常緑の高木で、沢沿いなどの湿原や水温のある低地に生育し、ときには湿地林を形成する。いずれの樹種も、当時の遺跡周辺もしくは近隣の地域で採取可能であったと考えられる。

平成20年度の同定結果

樹種同定の結果、蟹沢地区で採取された炭化材25点は、コナラ属コナラ節9点、カエデ属4点、クリ3点、マツ属複維管束亞属2点、マンサク属2点、クマシデ属イヌシデ節1点、ブナ属1点、シラキ1点、トネリコ属1点、散孔材1点であり、木材2点はモミ属と同定された。また、新堤地区で採取された炭化材4点は、マンサク属2点、モミ属1点、コナラ属コナラ節1点と同定された。このように、多様な樹種が利用されているのが特徴的である。

最も多いコナラ属コナラ節は、温帯を中心に広く分布する落葉高木で、日当たりの良い山野に生育する。ミズナラなどの冷温帶落葉広葉樹林の主要構成要素や暖温帶性のナラガシワ、二次林要素でもあるコナラなどが含まれる。

カエデ属はやや湿気のある肥沃な土壤を好み、谷間あるいはこれに接する斜面に生育する。マツ属複管束亞属には土壤条件の悪い岩山に生育し、二次林も形成するアカマツの可能性が考えられる。クマシデ属イヌシデ節は、山地や雑木林に生育し、クリは乾燥した台地や丘陵地を好み、二次林要素もある。ブナ属にはブナとイヌブナがあり、山地に生育し、温帯上部の冷温帶から温帯中間域の落葉広葉樹林帯に分布しブナ林を形成する。シラキは山地や丘陵に生育する。トネリコ属は、沢沿いなどの湿原や水温のある低地に生育し、ときには湿地林を形成する。モミ属は温帯性のモミと考えられ、谷間や緩傾斜地の適潤な深層の肥沃地を好む。マンサク属は山地に生育する。いずれの樹種も、当時の遺跡周辺もしくは近隣の地域で採取可能であったと考えられる。

文献

島地謙・佐伯浩・原田浩・塙倉高義・石田茂雄・重松頼生・須藤彰司（1985）木材の構造、文永堂出版、290p.

島地謙・伊東隆夫（1988）日本の遺跡出土木製品総覧、雄山閣、296p.

山田昌久（1993）日本列島における木質遺物出土遺跡文献集成、植生史研究特別1号、植生史研究会、242p.

第5節 蛍光X線分析

1.はじめに

物質にX線を照射すると、その物質を構成している元素に固有のエネルギー（蛍光X線）が放出され、この蛍光X線を分光して波長と強度を測定することで、物質に含まれる元素の種類と量を調べることができる。この方法を用いて、考古学分野では朱やベンガラなどの顔料分析、リン・カルシウム含量分析などが行われている。また、指標となる特定の元素の検出パターンの比較から、土器（須恵器など）の生産地推定や石器（黒曜石など）の产地推定も行われている。

2.試料

平成18年度分析試料は、ロストル式平窯（SO1, SO3）から採取されたス入り粘土（試料1～3）、窯窓（SO5, SO7, SO8, SO9）から採取された窯体崩落土（試料4～7）、およびSK13, SK14, SK15, SK20から採取されたⅢ層（試料8～18）の計18点である。試料の詳細を表15に示す。

平成20年度分析試料は、蟹沢地区の窯体、焼土、Ⅲ層、および新堤地区的Ⅲ層から採取された合計27点である。試料の詳細を表16に示す。

3.分析方法

エネルギー分散型蛍光X線分析装置（日本電子㈱製、JSX3201）を用いて、元素の同定およびファンダメンタルバラメータ法（FP法）による定量分析を行なった。以下に分析の手順を示す。

- 1) 試料を絶乾（105°C・24時間）
- 2) 試料を粉碎して塩化ビニール製リング枠に入れ、圧力15t/㎟でプレスして錠剤試料を作成
- 3) 測定期間600秒、照射径7.0mm、電圧30kV、試料室内真空の条件で測定

定量分析は、Na、Mg、Al、Si、P、S、K、Ca、Ti、V、Mn、Fe、Rb、Sr、Zrの15元素を対象とした。

4.分析結果

平成18年度の各元素の定量分析結果（wt%）を表17、主な元素の検出状況を図5、K₂O-CaO分布図とRb₂O-SrO分布図を図8に示し、平成20年度の各元素の定量分析結果（wt%）を表18、主な元素の検出状況を図6・7、K₂O-CaO分布図とRb₂O-SrO分布図を図9に示す。定量分析結果は、慣例により代表的な酸化物名で表記した。

5. 考察

平成18年度試料の分析結果

土器（胎土）に含まれる元素のうち、カリウム（K）、カルシウム（Ca）、ルビジウム（Rb）、ストロンチウム（Sr）の4元素は、土器（胎土）の地域性を示す有効な因子とされており、 K_2O-CaO 分布図や Rb_2O-SrO 分布図を主な指標として土器の産地同定が行われている（三辻, 1999）。ここでは、これらの指標をもとに、窯跡とⅢ層の試料についての対比を試みた。

K_2O-CaO 分布図（図8左）によると、窯跡試料（試料1～7）は、試料7を除いてカルシウム（CaO）含量が1.04～1.13%、カリウム（K₂O）含量が1.04～1.37%の比較的狭い領域に含まれ、Ⅲ層（試料8～18）の領域とほぼ重複している。なお、試料7はカルシウム（CaO）含量が1.88%と比較的高く、Ⅲ層の領域から外れている。

Rb_2O-SrO 分布図（図8右）によると、窯跡試料（試料1～7）は、試料7を除いてルビジウム（Rb₂O）含量が0.007～0.011%、ストロンチウム（SrO）含量が0.010～0.022%の比較的狭い領域に含まれ、Ⅲ層（試料8～18）の領域とほぼ重複している。なお、試料7はルビジウム（Rb₂O）含量が0.016%と比較的高く、Ⅲ層の領域からやや外れている。

その他の元素では、試料によってアルミニウム（Al₂O₃）、珪酸（SiO₂）、鉄（Fe₂O₃）などの含量に差異があるものの、窯跡試料（試料1～7）とⅢ層（試料8～18）の比較では、とくに明瞭な差異は認められなかった。

以上のように、窯跡試料とⅢ層は元素組成が比較的類似しており、窯跡の構築材としてⅢ層が利用された可能性が考えられる。これは、植物珪酸体分析（第6節）による検討結果とも整合している。今後このような基礎的なデータを蓄積することで、窯跡構築や瓦製作に関する具体的な情報が得られるものと期待される。

平成20年度試料の分析結果

土器（胎土）に含まれる元素のうち、カリウム（K）、カルシウム（Ca）、ルビジウム（Rb）、ストロンチウム（Sr）の4元素は、土器（胎土）の地域性を示す有効な因子とされており、 K_2O-CaO 分布図や Rb_2O-SrO 分布図を主な指標として土器の産地同定が行われている（三辻, 1999）。ここでは、これらの指標をもとに窯跡とⅢ層の試料についての対比を試みた。

K_2O-CaO 分布図（図9左）によると、蟹沢地区の窯体の試料（№1～№15）は西地点（№1～9）と東地点（№10～15）でプロットされる領域が異なっており、東地点ではカリウム（K₂O）の含量が比較的高くなっている。また、西地点の窯体のプロットされる領域は、西地点のⅢ層（№18～20）とほぼ重複している。新堤地区的SK25のⅢ層（№4～6）については、カルシウム（CaO）の含量が比較的低く、プロットされる領域がその他の試料とは明らかに異なる。

Rb_2O-SrO 分布図（図9右）でも、蟹沢地区的窯体の試料は西地点（№1～9）と東地点（№10～16）でプロットされる領域が明瞭に異なっており、東地点ではストロンチウム（SrO）の含量が比較的高くなっている。また、西地点の窯体のプロット領域は、西地点のⅢ層（№18～21）とほぼ重複している。新堤地区的SK25のⅢ層（№4～6）については、ストロンチウム（SrO）の含量が比較的低く、プロットされる領域がその他の試料とは異なる。

以上の結果から、蟹沢地区西地点の窯体については、同地点のⅢ層がおもな素材となっていると推定される。また、蟹沢地区東地点の窯体については、今回のⅢ層の試料には対応するものが存在しないと考えられる。新堤地区的SK25のⅢ層については、窯体の素材として利用された可能性は低いと考えられる。これは、植物珪酸体分析（第6節）による検討結果とも整合している。

今後このような基礎的なデータを蓄積することで、窯跡構築や瓦製作に関する具体的な情報が得られるものと期待される。

表15 平成18年度 与兵衛沼窯跡(新堤地区)における蛍光X線分析の資料一覧

地区	試料名	遺物番号	遺構名	採取箇所	層位	試料
新堤地区	No.1	832	SO1	燃焼炉・埋立瓦窯内		スサ入り粘土
	No.2	842	SO3	燃焼炉・平素面積前面		スサ入り粘土
	No.3	1162	SO3	燃焼炉ロスト・開溝古平窓		スサ入り粘土
	No.4	877	SO5		2層	窓体底土
	No.5	1103	SO7		7層	窓体底土
	No.6	1163	SO8		21層	窓体底土
	No.7	1104	SO9		12層	窓体底土
	No.8	1328	SK13		A層	Ⅲ層
	No.9	1329	SK13		B層	Ⅲ層
	No.10	1330	SK13		C層	Ⅲ層
	No.11	1331	SK14		A層	Ⅲ層
	No.12	1332	SK14		B層	Ⅲ層
	No.13	1333	SK14		C層	Ⅲ層
	No.14	1334	SK15		A層	Ⅲ層
	No.15	1335	SK15		B層	Ⅲ層
	No.16	1325	SK20		A層	Ⅲ層
	No.17	1326	SK20		B層	Ⅲ層
	No.18	1327	SK20		C層	Ⅲ層

表16 平成20年度 与兵衛沼窯跡(新堤地区・蟹沢地区)における蛍光X線分析の資料一覧

地区	試料名	遺物番号	遺構名	採取箇所	層位	試料
新堤地区	No.1	1514	風削木痕		A層	Ⅲ層
	No.2	1515	風削木痕		B層	Ⅲ層
	No.3	1516	風削木痕		C層	Ⅲ層
	No.4	1528	SK25		A層	Ⅲ層
	No.5	1529	SK25		B層	Ⅲ層
	No.6	1530	SK25		C層	Ⅲ層
蟹沢地区	No.1	1394	西SO1		大割1層	窓体
	No.2	590	西SO2		大割1層	窓体
	No.3	522	西SO3		大割1層	窓体
	No.4	2061	西SO4		大割1層	窓体
	No.5	1311	西SO5		大割2層	窓体
	No.6	498	西SO6		大割1層	窓体
	No.7	2303	西SO7		窓体	
	No.8	2068	西SO8		窓体	
	No.9	1328	西SO9		大割2層	窓体
	No.10	1157	東SO10		窓体	
	No.11	1129	東SO11		大割1層	窓体
	No.12	791	東SO13		大割1層	窓体
	No.13	1173	東SO14		大割1層	窓体
	No.14	1015	東SO15		大割1層	窓体
	No.15	792	東SO16		大割1層	窓体
	No.16	1277	東SK7		I層	燒土
	No.17	1823	西SO7			燒土
	No.18	2060	西1号灰原c		下層	Ⅲ層
	No.19	2450	西SK5		A層	Ⅲ層
	No.20	2460	西SK5		B層	Ⅲ層
	No.21	2461	西SK5		C層	Ⅲ層

文献

三辻利一 (1998) 元素分析による古代土器の胎土研究、人類史研究第10号、p.11-39.

三辻利一 (1999) 元素分析による須恵器の産地推定、考古学と自然科学4、同成社、p.294-313.

三辻利一 (1993) 蛍光X線分析法、第四紀試料分析法、日本第四紀学会編、東京大学出版会、p.218-224.

第6節 植物珪酸体分析

1. はじめに

植物珪酸体は、植物の細胞内に珪酸 (SiO_2) が蓄積したもので、植物が枯れたあともガラス質の微化石（プラント・オパール）となって土壤中に半永久的に残っている。植物珪酸体分析は、この微化石を遺跡土壤などから検出して同定・定量する方法であり、イネをはじめとするイネ科栽培植物の同定および古植生・古環境の推定などに応用されている（杉山、2000）。

2. 試料

平成18年度分析試料は、新堤地区的ロストル式平窓（SO1、SO3）から採取されたスサ入り粘土（試料1～3）、

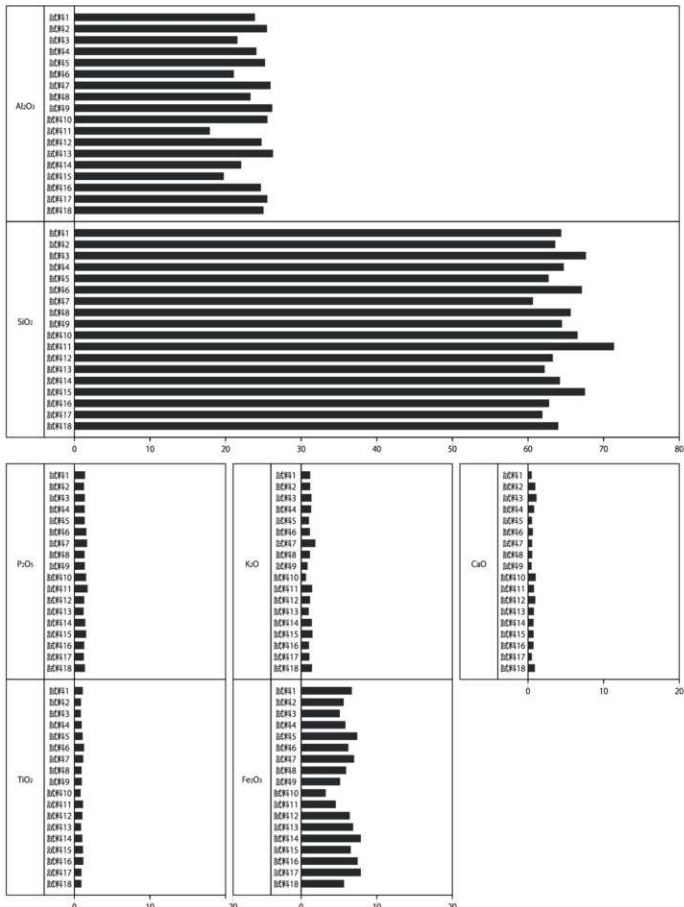


图5 平成18年度 与兵衛沼窓跡(新堤地区)における蛍光X線分析結果 (含量1.0%以上の元素:wt%)

表17 平成18年度 与兵衛沼窯跡(新堤地区)における蛍光X線分析結果

原子% 地区・試料	新堤地区																	
	1	2	3	4	5	6	7	8	9	10	11	12	13	14	15	16	17	18
11 NaO	0.612	0.836	0.826	0.677	0.452	0.626	0.391	0.838	0.341	0.554	0.820	0.844	0.618	0.850	0.790	0.613	0.590	0.541
12 MgO	0.000	0.000	0.000	0.000	0.073	0.059	0.136	0.000	0.000	0.036	0.014	0.037	0.164	0.148	0.000	0.183	0.000	
13 AlO ₃	23.888	25.480	21.568	24.079	25.233	21.099	25.946	23.302	26.174	25.541	17.914	24.759	26.261	22.052	19.759	24.681	25.519	25.017
14 SiO ₂	64.399	63.609	67.649	64.739	62.724	67.125	60.650	65.654	64.500	65.551	71.379	63.287	62.213	64.221	67.535	62.788	61.913	64.903
15 PzO ₃	1.409	1.273	1.368	1.363	1.353	1.577	1.673	1.350	1.382	1.545	1.746	1.286	1.216	1.445	1.552	1.300	1.245	1.391
16 SO ₃	0.000	0.000	0.000	0.000	0.000	0.000	0.264	0.000	0.000	0.000	0.000	0.000	0.000	0.000	0.000	0.000	0.000	0.000
19 K ₂ O	1.194	1.188	1.367	1.327	1.040	1.160	1.882	1.163	0.853	0.647	1.456	1.183	1.003	1.413	1.491	1.041	1.088	1.428
20 CaO	0.496	0.975	1.130	0.809	0.525	0.633	0.544	0.554	0.471	1.009	0.799	0.964	0.771	0.735	0.747	0.728	0.508	0.899
22 TiO ₂	1.108	0.864	0.845	0.966	1.088	1.276	1.168	0.943	0.985	0.816	1.130	1.055	0.884	1.044	1.135	1.190	0.928	0.910
23 VzO ₃	0.033	0.018	0.025	0.038	0.029	0.021	0.033	0.010	0.026	0.029	0.037	0.040	0.018	0.028	0.033	0.032	0.020	0.018
25 MnO	0.081	0.061	0.057	0.079	0.094	0.103	0.313	0.052	0.059	0.036	0.059	0.061	0.047	0.087	0.186	0.086	0.054	0.065
26 FeO ₃	6.708	5.830	5.109	5.867	7.414	6.238	6.999	5.946	5.146	3.242	4.573	6.429	6.887	7.890	6.561	7.483	7.898	5.674
37 RbO	0.011	0.007	0.010	0.010	0.011	0.016	0.007	0.005	0.003	0.000	0.006	0.006	0.014	0.015	0.011	0.012	0.010	
38 SrO	0.015	0.022	0.015	0.018	0.014	0.010	0.018	0.016	0.007	0.016	0.013	0.017	0.010	0.016	0.016	0.009	0.009	0.018
40 ZrO ₂	0.043	0.038	0.032	0.032	0.039	0.041	0.044	0.031	0.053	0.013	0.039	0.051	0.028	0.041	0.034	0.040	0.037	0.028

表18 平成20年度 与兵衛沼窯跡(新堤地区・蟹沢地区)における蛍光X線分析結果

原子% 地区・試料	新堤地区																	
	1	2	3	4	5	6	7	8	9	10	11	12	13	14	15	16	17	18
11 NaO	0.780	0.780	0.930	0.000	0.450	0.490	0.780	0.780	0.930	0.000	0.450	0.490	0.780	0.780	0.930	0.000	0.450	0.490
12 MgO	0.000	0.000	0.000	0.000	0.200	0.120	0.000	0.000	0.000	0.120	0.000	0.000	0.000	0.000	0.000	0.200	0.120	0.000
13 AlO ₃	19.600	22.810	28.890	22.890	22.680	22.440	19.600	22.810	28.890	22.890	22.680	22.440	19.600	22.810	28.890	22.680	22.440	19.600
14 SiO ₂	69.020	66.830	63.140	64.739	63.280	63.690	69.020	66.830	63.140	64.739	63.280	63.690	69.020	66.830	63.140	64.739	63.280	63.690
15 PzO ₃	1.830	1.770	1.240	1.363	1.590	1.520	1.830	1.770	1.240	1.363	1.590	1.520	1.830	1.770	1.240	1.363	1.590	1.520
16 SO ₃	0.070	0.040	0.050	0.000	0.000	0.000	0.000	0.000	0.000	0.000	0.000	0.000	0.000	0.000	0.000	0.000	0.000	0.000
19 K ₂ O	1.220	0.860	1.260	1.327	1.350	1.310	1.220	0.860	1.260	1.327	1.350	1.310	1.220	0.860	1.260	1.327	1.350	1.310
20 CaO	0.820	0.780	0.300	0.809	0.270	0.400	0.820	0.780	0.300	0.809	0.270	0.400	0.820	0.780	0.300	0.809	0.270	0.400
22 TiO ₂	1.320	0.960	1.180	0.966	1.180	1.110	1.320	0.960	1.180	0.966	1.180	1.110	1.320	0.960	1.180	0.966	1.180	1.110
23 VzO ₃	0.040	0.000	0.050	0.038	0.030	0.020	0.040	0.000	0.050	0.038	0.030	0.020	0.040	0.000	0.050	0.038	0.030	0.020
25 MnO	0.050	0.040	0.070	0.070	0.070	0.070	0.050	0.040	0.070	0.070	0.070	0.070	0.050	0.070	0.070	0.070	0.070	0.070
26 FeO ₃	5.150	5.080	8.560	5.867	8.860	5.830	5.150	5.080	8.560	5.867	8.860	5.830	5.150	5.080	8.560	5.867	8.860	5.830
37 RbO	0.010	0.010	0.000	0.010	0.010	0.010	0.010	0.000	0.010	0.010	0.010	0.010	0.010	0.010	0.010	0.010	0.010	0.010
38 SrO	0.020	0.010	0.020	0.010	0.010	0.020	0.010	0.020	0.010	0.010	0.020	0.010	0.010	0.020	0.010	0.010	0.020	0.010
40 ZrO ₂	0.040	0.030	0.010	0.040	0.040	0.050	0.040	0.030	0.010	0.040	0.040	0.050	0.040	0.030	0.010	0.040	0.050	0.040

蟹沢(新堤)

原子% 地区・試料	蟹沢地区																				
	1	2	3	4	5	6	7	8	9	10	11	12	13	14	15	16	17	18	19	20	21
11 NaO	0.780	0.780	0.930	0.000	0.450	0.490	0.780	0.780	0.930	0.000	0.450	0.490	0.780	0.780	0.930	0.000	0.450	0.490	0.780	0.780	0.930
12 MgO	0.000	0.000	0.000	0.000	0.200	0.120	0.000	0.000	0.000	0.120	0.000	0.000	0.000	0.000	0.000	0.200	0.120	0.000	0.000	0.000	0.000
13 AlO ₃	19.600	22.810	28.890	22.890	22.680	22.440	19.600	22.810	28.890	22.890	22.680	22.440	19.600	22.810	28.890	22.680	22.440	19.600	22.810	28.890	22.680
14 SiO ₂	69.020	66.830	63.140	64.739	63.280	63.690	69.020	66.830	63.140	64.739	63.280	63.690	69.020	66.830	63.140	64.739	63.280	63.690	69.020	66.830	63.140
15 PzO ₃	1.830	1.770	1.240	1.363	1.590	1.520	1.830	1.770	1.240	1.363	1.590	1.520	1.830	1.770	1.240	1.363	1.590	1.520	1.830	1.770	1.240
16 SO ₃	0.070	0.040	0.050	0.000	0.000	0.000	0.000	0.000	0.000	0.000	0.000	0.000	0.000	0.000	0.000	0.000	0.000	0.000	0.000	0.000	0.000
19 K ₂ O	1.220	0.860	1.260	1.327	1.350	1.310	1.220	0.860	1.260	1.327	1.350	1.310	1.220	0.860	1.260	1.327	1.350	1.310	1.220	0.860	1.260
20 CaO	0.820	0.780	0.300	0.809	0.270	0.400	0.820	0.780	0.300	0.809	0.270	0.400	0.820	0.780	0.300	0.809	0.270	0.400	0.820	0.780	0.300
22 TiO ₂	1.320	0.960	1.180	0.966	1.180	1.110	1.320	0.960	1.180	0.966	1.180	1.110	1.320	0.960	1.180	0.966	1.180	1.110	1.320	0.960	1.180
23 VzO ₃	0.040	0.000	0.050	0.038	0.030	0.020	0.040	0.000	0.050	0.038	0.030	0.020	0.040	0.000	0.050	0.038	0.030	0.020	0.040	0.000	0.050
25 MnO	0.050	0.040	0.070	0.070	0.070	0.070	0.050	0.040	0.070	0.070	0.070	0.070	0.050	0.040	0.070	0.070	0.070	0.070	0.070	0.050	0.040
26 FeO ₃	5.150	5.080	8.560	5.867	8.860	5.830	5.150	5.080	8.560	5.867	8.860	5.830	5.150	5.080	8.560	5.867	8.860	5.830	5.150	5.080	8.560
37 RbO	0.010	0.010	0.000	0.010	0.010	0.010	0.010	0.000	0.010	0.010	0.010	0.010	0.010	0.010	0.010	0.010	0.010	0.010	0.010	0.010	0.000
38 SrO	0.020	0.010	0.020	0.010	0.010	0.020	0.010	0.020	0.010	0.020	0.010	0.010	0.020	0.010	0.020	0.010	0.010	0.020	0.010	0.010	0.000
40 ZrO ₂	0.040	0.030	0.010	0.040	0.040	0.050	0.040	0.030	0.010	0.040	0.040	0.050	0.040	0.030	0.010	0.040	0.040	0.050	0.040	0.030	0.000

窯窓(SO₅、SO₇、SO₈、SO₉)から採取された窯体(試料4)や天井部崩落土(試料5～7)、およびSK14と

SK14から採取されたⅢ層(試料8～13)の計13点である。試料の詳細を表19に示す。

試料の詳細を表20に示す。

3. 分析法

植物珪酸体の抽出と定量は、ガラスピース法(藤原, 1976)を用いて、次の手順で行なった。

- 1) 試料を105°Cで24時間乾燥(絶乾)

- 2) 試料約1gに対し直 径約40 μmのガラスピースを約0.02g添加

(電子分析天秤により0.1mgの精度で秤量)

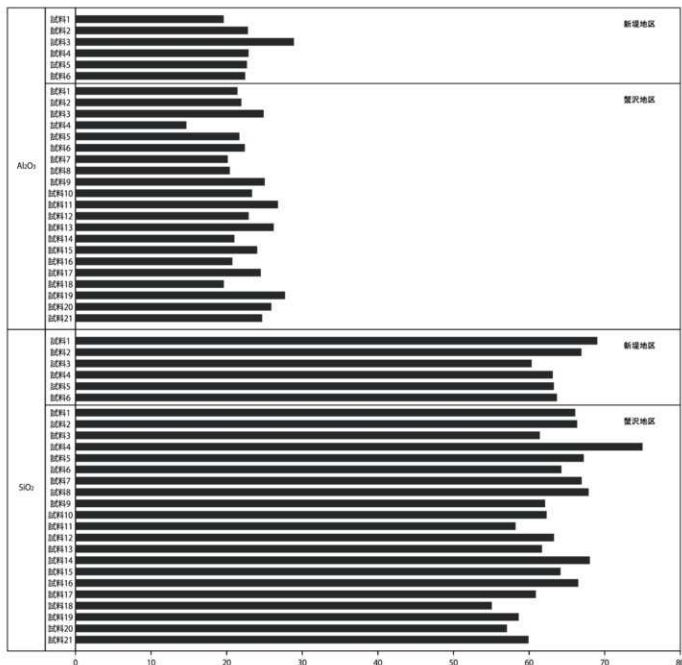


図6 平成20年度 与兵衛沼窓跡(新堤地区・蟹沢地区)における蛍光X線分析結果 (含量1.0%以上の元素:wt%)

- 3) 電気炉灰化法 (550°C・6時間) による脱有機物処理
- 4) 超音波水中照射 (300W・42KHz・10分間) による分散
- 5) 沈底法による 20 μm 以下の微粒子除去
- 6) 封入剤 (オイキット) 中に分散してプレパラート作成
- 7) 検鏡・計数

同定は、400倍の偏光顕微鏡下で、おもにイネ科植物の機動細胞に由来する植物珪酸体を対象として行なった。

計数は、ガラスビーズ個数が400以上になるまで行なった。これはほぼプレパラート1枚分の精査に相当する。

試料1gあたりのガラスビーズ個数に、計数された植物珪酸体とガラスビーズ個数の比率をかけて、試料1g中の植物珪酸体個数を求めた。

また、おもな分類群についてはこの値に試料の仮比重 (1.0と仮定) と各植物の換算係数 (機動細胞珪酸体1個

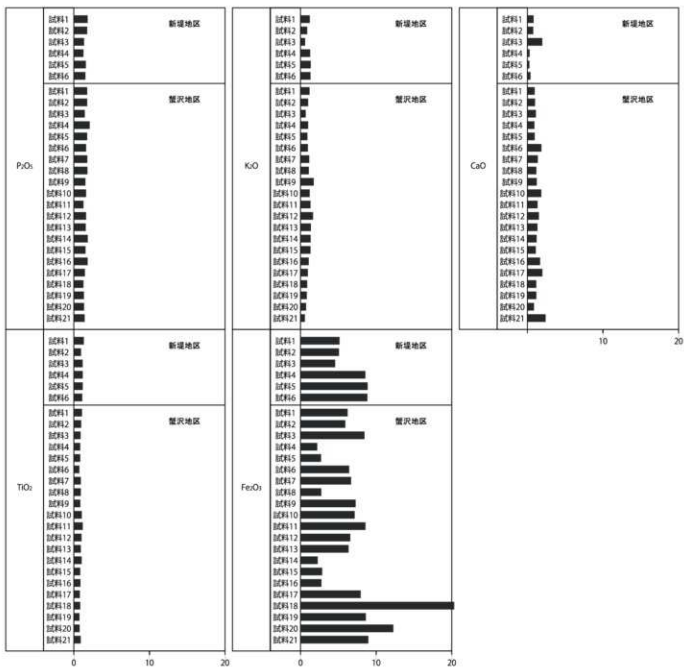


図7 平成20年度 与兵衛沼窓跡(新堤地区・松沢地区)における蛍光X線分析結果 (含量1.0%以上の元素:wt%)

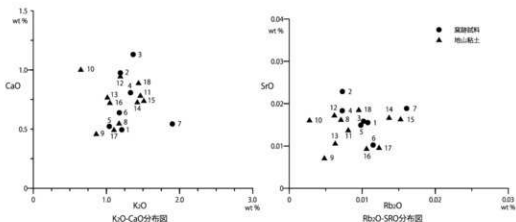
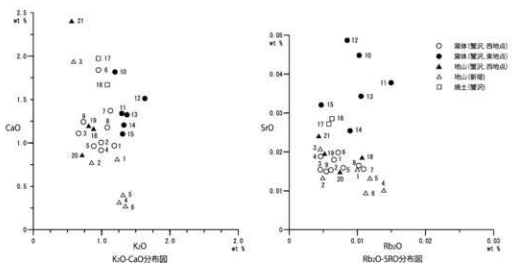
あたりの植物体乾重、単位:10⁻⁵g)をかけて、単位面積で層厚1cmあたりの植物体生産量を算出した。これにより、各植物の繁茂状況や植物間の占有割合などを具体的にとらえることができる(杉山, 2000)。イネの換算係数は2.94、ヒエ属(ヒエ)は8.40、ヨシ属(ヨシ)は6.31、ススキ属(ススキ)は1.24、メダケ節は1.16、ネザサ節は0.48、チマキザサ節・チシマザサ節は0.75、ミヤコザサ節は0.30である(杉山, 2000)。タケ亞科については、植物体生産量の推定値から各分類群の比率を求めた。

4. 分析結果

平成18年度試料の分析結果

(1) 分類群

検出された植物珪酸体の分類群は以下のとおりである。これらの分類群について定量を行い、その結果を表21および図10に示した。主要な分類群について顕微鏡写真を示す。

図8 平成18年度 与兵衛沼窯跡(新堤地区)における窯跡試料と地山試料のK₂O-CaO分布図およびRb₂O-SrO分布図図9 平成20年度 与兵衛沼窯跡(新堤地区・蟹沢地区)における窯跡試料と地山試料のK₂O-CaO分布図およびRb₂O-SrO分布図

〔イネ科〕

イネ、ヒエ属型、キビ属型、ウシクサ族A（チガヤ属など）

〔イネ科-タケア科〕

メダケ節型（メダケ属メダケ節・リュウキュウチク節、ヤダケ属）、ネザサ節型（おもにメダケ属ネザサ節）、チマキザサ節型（ササ属チマキザサ節・チシマザサ節など）、ミヤコザサ節型（ササ属ミヤコザサ節など）、未分類等

〔イネ科-その他〕

表皮毛起源、棒状硅酸体（おもに結合組織細胞由来）、未分類等

〔樹木〕

モクレン属型、その他

(2) 植物硅酸体の検出状況

1) SO1～SO7

ロストル式平窯（SO1、SO3）のスナリ入り粘土（試料1～3）、窯窓（SO5）の窓体（試料4）、窯窓（SO7、SO8、SO9）の天井部崩落土（試料5～7）の各試料では、イネが検出された。このうち、試料1～4では密度が7,200～21,000個/gと高い値であり、稲作跡の検証や探査を行う場合の判断基準としている5,000個/gを上回っている。また、イネ葉の灰像組織（機動細胞硅酸体や短細胞硅酸体の細胞列）も認められた。試料5～7では、密

度が700～2,700個/gと比較的低い値である。

イネ以外の分類群では、試料1、5、7ではミヤコザサ節型が多く検出され、ウシクサ族A、ネザサ節型、チマキザサ節型なども認められた。また、少量ながら海綿動物に由来する海綿骨針（宇津川ほか、1979）が検出された。その他の試料では、部分的にウシクサ族A、ネザサ節型、ミヤコザサ節型などが検出されたが、いずれも少量である。

試料2と試料7では、ヒエ属型が700個/gと少量検出された。ヒエ属型には栽培種のヒエの他にイヌヒエなどの野生種が含まれるが、現時点では植物珪酸体の形態からこれらを識別することは困難である（杉山ほか、1988）。また、試料4ではモクレン属型などの樹木起源が検出された。樹木は一般に植物珪酸体の生産量が低いことから、少量が検出された場合でもかなり過大に評価する必要がある（杉山、1999）。なお、すべての樹種で植物珪酸体が形成されるわけではなく、落葉樹では形成されないものも多い（近藤・佐瀬、1986）。

おもな分類群の推定生産量によると、試料1～4ではイネが卓越しており、試料1、5、7ではミヤコザサ節型も多くなっている。

表19 平成18年度 与兵衛沼窓跡(新堤地区)
植物珪酸体分析の試料一覧

試料名	遺物番号	遺構	細部	層位	試料
1	832	S01	燃焼部	隔壁間瓦縫内	スワリ粘土
2	842	S03	燃焼部	南平部隔壁前面	スワリ粘土
3	1162	S03	焼成部	ロストル間溝西平部	スワリ粘土
4	877	S05			2層 窒体泥炭土
5	1103	S07			7層 窒体泥炭土
6	1163	S08			21層 窒体泥炭土
7	1104	S09			12層 窒体泥炭土
8	1328	SK13			A層 田層
9	1329	SK13			B層 田層
10	1330	SK13			C層 田層
11	1331	SK14			A層 田層
12	1332	SK14			B層 田層
13	1333	SK14			C層 田層

表20 平成20年度 与兵衛沼窓跡(新堤地区・蟹沢地区)
植物珪酸体分析の試料一覧

試料名	遺物番号	遺構	細部	層位	試料
1	1514	廻例木痕			A層 田層
2	1515	廻例木痕			B層 田層
3	1516	廻例木痕			C層 田層
4	1528	SK25			A層 田層
5	1529	SK25			B層 田層
6	1530	SK25			C層 田層

蟹沢地区 西地点

試料名	遺物番号	遺構	細部	層位	試料
1	1394	S01		大宮1層	窓体
2	590	S02		大宮1層	窓体
3	522	S03		大宮1層	窓体
4	2061	S04			窓体
5	1311	S05		大宮2層	窓体
6	498	S06		大宮1層	窓体
7	2303	S07			窓体
8	2068	S08			窓体
9	1328	S09		大宮2層	窓体
17	1823	S07			燒土
18	2060	1号灰原		下層	田層
19	2459	SK5			A層 田層
20	2460	SK5			B層 田層
21	2461	SK5			C層 田層

蟹沢地区 東地点

試料名	遺物番号	遺構	細部	層位	試料
10	1157	SD10			窓体
11	1129	SO11		大宮1層	窓体
12	791	SO13		大宮1層	窓体
13	1173	SO14		大宮1層	窓体
14	1015	SO15		大宮1層	窓体
15	792	SO16		大宮1層	窓体
16	1277	SK7		1層	燒土

2) SK13 および SK14

SK13 および SK14 のⅢ層(試料 8~13)では、試料 10 を除いてチマキザサ節型やミヤコザサ節型が多く検出され、キビ族型、メダケ節型なども認められた。試料 10 では、ウシクサ族 A、メダケ節型、チマキザサ節型などが検出されたが、いずれも少量である。また、すべての試料から海綿骨針が検出された。おもな分類群の推定生産量によると、おむねチマキザサ節型およびミヤコザサ節型が優勢である。

平成 20 年度試料の分析結果

(1) 分類群

検出された植物珪酸体の分類群は以下のとおりである。これらの分類群について定量を行い、その結果を表 22 および図 11 に示した。主要な分類群について顕微鏡写真を示す。

〔イネ科〕

イネ、キビ族型、シバ属、ススキ属型(おもにススキ属)、ウシクサ族 A(チガヤ属など)

〔イネ科-タケ亜科〕

メダケ節型(メダケ属メダケ節・リュウキュウチク節、ヤダケ属)、ネササ節型(おもにメダケ属ネササ節)、チマキザサ節型(ササ属チマキザサ節・チシマザサ節など)、ミヤコザサ節型(ササ属ミヤコザサ節など)、未分類等
〔イネ科-その他〕

表皮毛起源、棒状珪酸体(おもに結合組織細胞由来)、未分類等

〔カヤツリグサ科〕

スゲ属

〔樹木〕

その他

表 21 平成 18 年度 与兵衛沼窓跡(新堤地区)における植物珪酸体分析結果

検出密度(単位:×100個/g)

分類群	学名	地点・試料		新堤地区											
		1	2	3	4	5	6	7	8	9	10	11	12	13	
イネ科	Gramineae														
イネ	<i>Oryza sativa</i>		72	210	106	142	27	7	7						
ヒエ属型	<i>Echinochela</i> type			7					7						
キビ属型	<i>Panicaceae</i> type		14	7					7	7	7		21	7	
ウシクサ族A	<i>Andropogoneae</i> A type		7	21	6		7	28	20			7	64		
タケ科	<i>Bambusoideae</i>														
メダケ節型	<i>Pleiodontus</i> sect. <i>Nipponocalamus</i>	7						14	7	7	7	7	7	7	
ネササ節型	<i>Pleiodontus</i> sect. <i>Nezasa</i>	7			7	14	14	7	29	7	21				
チマキザサ節型	<i>Sasa</i> sect. <i>Sasa</i> etc.	43			7	34		40	114	73	7	136	133	118	
ミヤコザサ節型	<i>Sasa</i> sect. <i>Crassinodi</i>	194	21	6	36	151	43	207	286	95		215	126	192	
未分類等	Others	179	14	19	43	144	36	73	150	154	37	229	126	207	
その他のイネ科	Others														
表皮毛起源	Husk hair origin		7	7		14	7	13	7	7	92	7			
棒状珪酸体	Rod-shaped		43	28	37	64	41	21	47	7	22	72		22	
未分類等	Others		445	273	199	369	412	270	428	357	410	22	657	418	398
樹木起源	Arboreal														
モクレン属型	<i>Magnolia</i> type						7								
その他	Others						7								
(海綿骨針)	Sponge														
植物珪酸体総数	Total		1019	588	372	682	845	426	855	944	805	90	1439	823	944

おもな分類群の推定生産量(単位:kg/m²·cm): 試料の復比重を1.0と仮定して算出

イネ	<i>Oryza sativa</i>	2.11	6.18	3.10	4.18	0.81	0.21	0.20						
ヒエ属型	<i>Echinochela</i> type		0.59					0.56						
メダケ節型	<i>Pleiodontus</i> sect. <i>Nipponocalamus</i>	0.08							0.17	0.08	0.09	0.08	0.09	
ネササ節型	<i>Pleiodontus</i> sect. <i>Nezasa</i>	0.03				0.03	0.07	0.07	0.03	0.14	0.04	0.10		
チマキザサ節型	<i>Sasa</i> sect. <i>Sasa</i> etc.	0.32			0.05	0.26		0.30	0.86	0.55	0.06	1.02	0.99	0.89
ミヤコザサ節型	<i>Sasa</i> sect. <i>Crassinodi</i>	0.58	0.06	0.02	0.11	0.45	0.13	0.62	0.86	0.29	0.64	0.38	0.58	

タケ科の比率(%)

メダケ節型	<i>Pleiodontus</i> sect. <i>Nipponocalamus</i>	8					9	8	49	4	5	6	
ネササ節型	<i>Pleiodontus</i> sect. <i>Nezasa</i>	3		18	8	35	3	23	20	6			
チマキザサ節型	<i>Sasa</i> sect. <i>Sasa</i> etc.	32		27	33		32	46	52	31	55	69	57
ミヤコザサ節型	<i>Sasa</i> sect. <i>Crassinodi</i>	57	100	100	55	58	65	62	46	27	35	26	37

表22 平成20年度 与兵衛沼窓跡(新堤地区・蟹沢地区)における植物珪酸体分析結果
 採出密度(単位:×100個/g)

分類群	学名	新潟地区					
		1	2	3	4	5	6
イネ科	Gramineae						
イネ	<i>Oryza sativa</i>						
キビ族型	Panicoid type	14		7		14	
シバ属	<i>Zoysia</i>						
ススキ属型	<i>Miscanthus</i> type	14				7	
ウクササ族型A	<i>Andropogoneae A</i> type	14					
タケ科	Bambusoideae						
メダケ節型	<i>Pleioblastus</i> sect. <i>Nipponocalamus</i>	28	7	7	22	41	
ネザサ節型	<i>Alpinoblastus</i> sect. <i>Nezasa</i>			14	20	22	
ミダサキサ節型	<i>Sasa</i> sect. <i>Sasa</i> etc.	49	7	129	153	238	
ミヤコサキサ節型	<i>Sasa</i> sect. <i>Crassinodi</i>	188	101	186	109	155	
未分類等	Others	97	81	150	138	129	
その他のイネ科	Others						
表皮毛起源	Husk hair origin	21				14	
棒状柱體型	Rod-shaped	21	7	7	15	27	
不分類等	Others	320	135	186	189	265	
カキツバタ科(兼用)等	Cyperaceae (Carex etc.)					7	
能木起源	Areal						
その他	Others	14				14	
(海綿)計	Sponge	7		21	95	75	
植物組織細胞計	Total	778	337	0	687	655	862

おもな分類群の推定生産量(単位:kg/m²・cm):試料の板比重を1.0と仮定して算出

イネ	<i>Oryza sativa</i>			
ススキ属	<i>Miscanthus</i> type	0.17		0.08
メダケ属	<i>Akibocladus</i> sect. <i>Nipponocalamus</i>	0.32	0.08	0.08 0.25 0.47
ネササ属	<i>Akibocladus</i> sect. <i>Nesata</i>			0.07 0.10 0.10
ミタキサ属	<i>Saxifraga</i> sect. <i>Saxifraga</i>	0.36	0.05	0.97 1.15 1.78
ミヤコササ属	<i>Saxifraga</i> sect. <i>Crassinodi</i>	0.56	0.30	0.56 0.33 0.99
メダケ草	Medake ratio	26	18	9 20 22

檢出密度(單位: $\times 100$ 個/g)

分類群	学名	慶沢地区																				
		1	2	3	4	5	6	7	8	9	10	11	12	13	14	15	16	17	18	19	20	
イネ科	Gramineae																					
イネ	<i>Oryzaceae</i>							8	8	7	15					20	104	29	7	15		
キビ族	Panicinae type							36	7	15							7		15			
シバ属	<i>Zoysia</i>																			7		
ススキ属	<i>Miscanthus</i> type							27	14	7	22	7			7	22	7		7	13	7	29
ウシクサ族A	<i>Andropogoneae A</i> type							27	28	28	7	30			7	7	15	20	13	27	7	22
タケ科	Bambusoideae																					
メダガ科	<i>Aleurodizieae</i> sect. Nipponocalamus							7	7													
ネササ科	<i>Aleurodizieae</i> sect. Nezasa							107	14	70		8	15	60	30	8	7	20			58	
デマキサ科	<i>Saxifragaceae</i> sect. Sasa etc.							13	7			8	15			20	20	13	7	51		
ミヤコザ科	<i>Saxifragaceae</i> sect. Crassinodi							147	492	35	22	37	46	15	30	45	37	39	39	173	44	262
未分類等	Others							114	92	35	15	15	23	8	22	45	22	46	59	86	59	153
その他のイネ科	Others																					
鹿皮起源	Husk hair origin							27	36	21		7	8		15		7	7	27		36	
椎状錐體	Rod-shaped							40	43	14	15		15	15	37	37	15	65	59	60	22	66
未分類等	Others							334	171	112	30	37	15	15	30	30	37	23	130	124	226	147
カクテリヤサ科(アズキ科)	<i>Cyperaceae</i> (<i>Carex</i> etc.)																					
樹木起源	Arboreal																					
その他	Others							7	7	7		15		15		7	7	7	7			
(海綿状)計	Sponge							7			8									30	37	
種別種性被細胞計	Total	842	647	342	112	135	137	68	135	291	202	45	365	463	625	332	1070	23	23	0	15	

おもな分類別の推定生産量(単位:t/m²/ha):試験の仮比を1.0と仮定して算出

イネ	<i>Oryza sativa</i>	0.22	0.22	0.22	0.44	0.57	3.07	0.87	0.21	0.45						
スキス型	<i>Miscanthus</i> type	0.33	0.18	0.09	0.28	0.09	0.09	0.28	0.09	0.08	0.16	0.08	0.18	0.36		
メダク型	<i>Amblochlois</i> sect. <i>Nipponocalamus</i>	0.08	0.08													
ネササ型	<i>Pleioblastus</i> sect. <i>Nezasa</i>	0.51	0.07	0.33	0.04	0.07	1.29	0.14	0.04	0.03	0.09	0.28				
デマキササ型	<i>Sasa</i> sect. <i>Sasa</i> etc.	0.10	0.05		0.06	0.11			0.15	0.15	0.10	0.06	0.38			
ミヤコササ型	<i>Sasa</i> sect. <i>Crassinodii</i>	0.44	0.58	0.10	0.07	0.11	0.14	0.05	0.09	0.13	0.11	0.12	0.12	0.52	0.13	0.79
メダク草	Medicago ratio	49	19	58	80	0	16	0	44	54	56	100	11	26	0	19

(2) 植物珪酸体の検出状況

1) 窓体（蟹沢地区）

SO1～SO16の窓体から採取された15試料のうち、SO6（試料6）、SO7（試料7）、SO8（試料8）、SO9（試料9）、SO13（試料12）、SO14（試料13）、SO16（試料15）の7試料からイネが検出された。このうち、SO14（試料

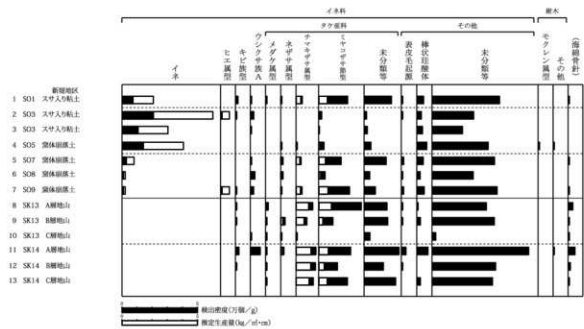


図10 平成18年度 与兵衛沼窓跡(新堤地区)における植物珪酸体分析結果

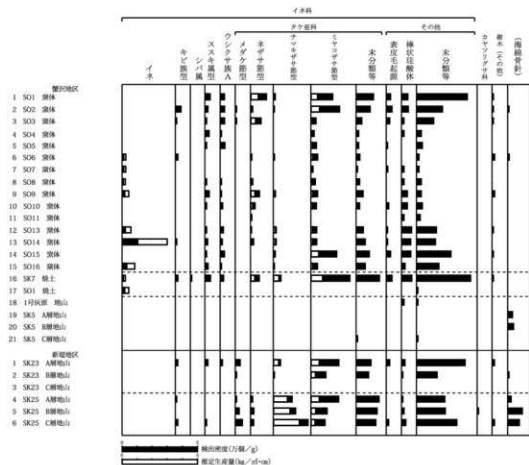


図11 平成20年度 与兵衛沼窓跡(新堤地区・蟹沢地区)における植物珪酸体分析結果

13) では密度が 10,400 個/g と高い値であり、稲作跡の検証や探査を行う場合の判断基準としている 5,000 個/g を大きく上回っている。また、イネ葉の灰像組織（機動細胞珪酸体や短細胞珪酸体の細胞列）も認められた。その他の試料では、密度が 700 ~ 2,900 個/g と比較的低い値である。

イネ以外の分類群では、スキ属型、ウシクサ族 A、ネザサ節型、ミヤコザサ節型、および樹木（その他）などが検出された。ネザサ節型は SO1 (試料 1) で比較的多く、ミヤコザサ節型は SO1 (試料 1)、SO2 (試料 2)、SO15 (試料 14) で比較的多くなっている。

2) 焼土（蟹沢地区）

SK7 の焼土（試料 16）では、ミヤコザサ節型が多く検出され、イネ、キビ族型、シバ属、スキ属型、ウシクサ族 A、ネザサ節型、チマキザサ節型、樹木（その他）なども検出された。イネの密度は 700 個/g と低い値である。SO1 の焼土（試料 17）では、イネが 1,500 個/g と比較的低い密度で検出されたが、その他の分類群はほとんど認められなかった。

3) III層（蟹沢地区）

1 号灰原のIII層（試料 18）および SK5 のIII層（試料 19 ~ 試料 21）では、植物珪酸体がほとんど検出されなかった。なお、SK5 のIII層（試料 19・試料 20）では、海綿動物に由来する海綿骨針（宇津川ほか、1979）が検出された。

4) III層（新堤地区）

SK23 の C 層（試料 3）では植物珪酸体が検出されなかった。B 層（試料 2）ではミヤコザサ節型が比較的多く検出され、メダケ節型、チマキザサ節型なども認められた。A 層（試料 1）では、ミヤコザサ節型が増加し、キビ族型、スキ属型、ウシクサ族 A、メダケ節型、樹木（その他）なども認められた。

SK25 のIII層（試料 4 ~ 試料 6）では、チマキザサ節型やミヤコザサ節型が比較的多く検出され、メダケ節型、ネザサ節型なども認められた。また、B 層（試料 5）と C 層（試料 6）では海綿骨針が比較的多く検出された。おもな分類群の推定生産量によると、チマキザサ節型が優勢となっている。

5. 考察

平成 18 年度の分析試料結果

ロストル式平窯（SO1, SO3）の燃焼部から採取されたスサ入り粘土では、イネの植物珪酸体が多量に検出され、イネ葉の灰像組織も認められた。したがって、これらの遺構ではイネ藁がスサ材として利用されていた可能性が高いと考えられる。また、窯窓のうち SO5 の窯体ではイネが多量に検出され、SO7, SO8, SO9 の天井部崩壊土でもイネが認められた。したがって、これらの遺構でもイネ藁がスサ材などとして利用されていた可能性が考えられる。

SO1 の燃焼部から採取されたスサ入り粘土および SO7 と SO9 の天井部崩壊土では、ミヤコザサ節型が多く検出されるなど、イネ以外の植物珪酸体組成が SK13 や SK14 のIII層と類似しており、III層で特徴的に認められた海綿骨針も検出された。したがって、これらの遺構ではIII層が構築材の素材として利用されていた可能性が考えられる。その他の遺構では、イネ以外の植物珪酸体があまり検出されないことから、SK13 の C 層（試料 10）のように、比較的深い層位から採取された粘土が素材となっている可能性が考えられる。

III層の堆積当時は、おおむねササ属（チマキザサ節やミヤコザサ節）などの笹類を主体としたイネ科植生であったと考えられ、部分的にキビ族やウシクサ族なども生育していたと推定される。これらの笹類は、落葉樹林の林床植生などとして分布していた可能性が考えられる。III層では海綿骨針が特徴的に検出されたが、海綿骨針についても堆積環境との関係で未解明な部分が多い。

平成 20 年度分析試料の結果

(1) 蟹沢地区

SO14 の窯窓では、イネの植物珪酸体が多量に検出され、イネ葉の灰像組織も認められた。また、SO6, SO7,

SO8、SO9、SO13、SO16の窓体でもイネが検出された。したがって、これらの窓体ではイネ藁がス材などとして利用されていた可能性が考えられる。

SK7の焼土では、ミヤコザサ節型が比較的多く検出されることから、ササ属（ミヤコザサ節）が燃料などとして利用された可能性が考えられる。また、SK7とSO1の焼土では、少量ながらイネが検出されることから、イネ藁が燃料などとして利用された可能性が考えられる。

1号灰原とSK5のⅢ層では、植物珪酸体がほとんど検出されなかった。植物珪酸体が検出されない原因としては、土層の堆積速度が極端に速かったことや水成堆積物であることなどが考えられる。なお、植物珪酸体がほとんど検出されないことから、これらのⅢ層が窓体の素材となっているかどうかは判断できない。

(2) 新堤地区

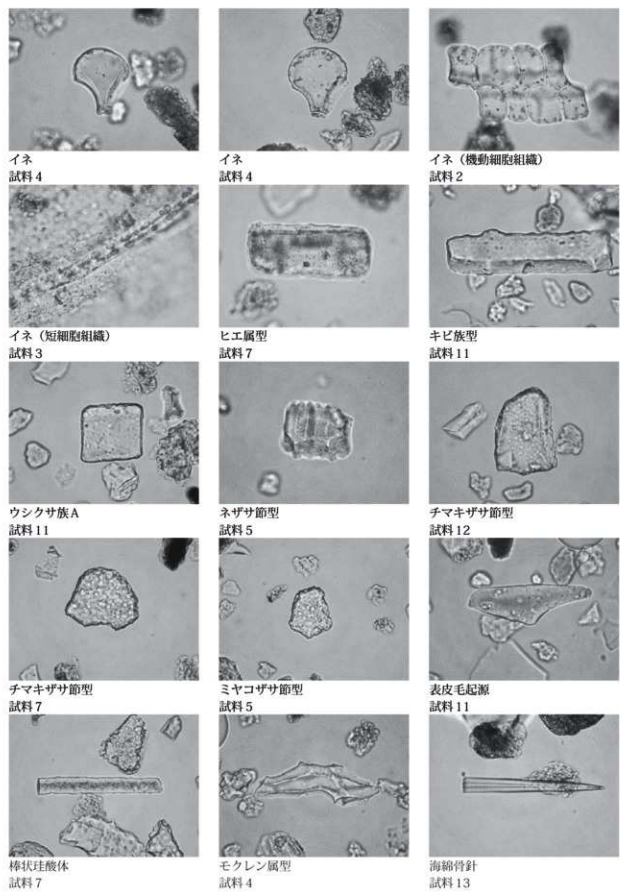
SK23のⅢ層（A～C層）のうち、A層とB層については植物珪酸体の組成や密度が窓体の試料（前回調査）と類似していることから、これらのⅢ層が窓体の素材として利用されていた可能性が考えられる。

SK25のⅢ層（A～C層）では、チマキザサ節型が比較的多く検出され、B層とC層では海綿骨針も比較的多く検出された。このような特徴は窓体の試料では認められないことから、SK25のⅢ層が窓体の主要な素材となっている可能性は低いと考えられる。なお、チマキザサ節やチシマザサ節は多雪化を示す指標とされ、仙台市周辺では晩水期以降に増加する傾向が認められる（杉山、2004）。

文献

- 宇津川徹・細野衛・杉原重夫(1979)テフラ中の動物珪酸体“Opal Sponge Spicules”について.ベドロジスト, 23(2), p.134-144.
- 近藤鍊三・佐瀬隆(1986)植物珪酸体、その特性と応用.第四紀研究, 25, p.31-63.
- 杉山真二(1999)植物珪酸体分析からみた九州南部の照葉樹林発達史.第四紀研究, 38 (2), p.109-123.
- 杉山真二(2000)植物珪酸体（プランツ・オバール）.考古学と植物学.同成社, p.189-213.
- 杉山真二(2004)植物珪酸体分析による中期更新世以降の古環境推定—タケ亜科の植生変遷と気候・積雪量の変動-.日本第四紀学会講演要旨集, p.164-167.
- 杉山真二・松田隆二・藤原宏志(1988)機動細胞珪酸体の形態によるキビ族植物の同定とその応用—古代農耕追究のための基礎試料として-.考古学と自然科学, 20, p.81-92.
- 藤原宏志(1976)プランツ・オバール分析法の基礎的研究(1)－数種イネ科栽培植物の珪酸体標本と定量分析法-.考古学と自然科学, 9, p.15-29.
- 藤原宏志・杉山真二(1984)プランツ・オバール分析法の基礎的研究(5)－プランツ・オバール分析による水田址の探査-.考古学と自然科学, 17, p.73-85.

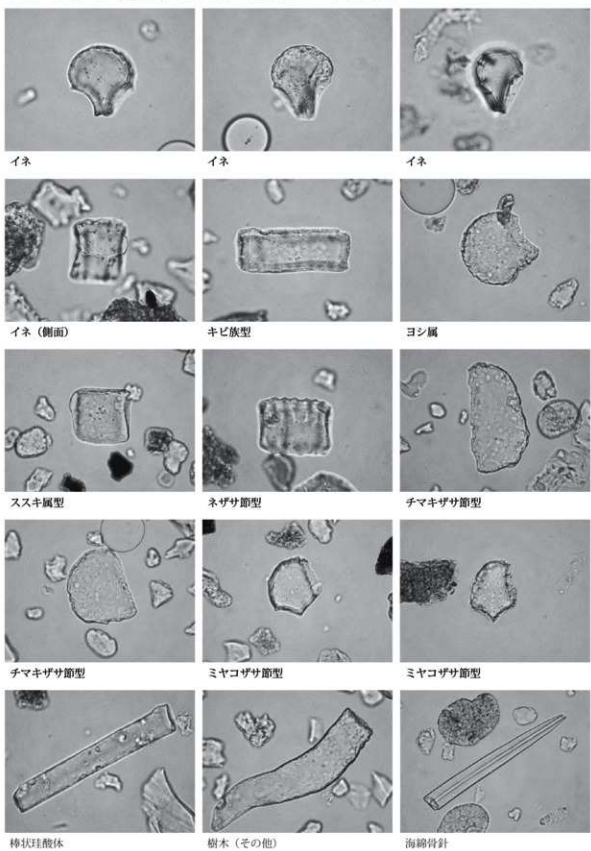
図版7 平成18年度 与兵衛沼窯跡（新堤地区）の植物珪酸体（プラント・オバール）



— 50 μm

図版8

平成20年度 与兵衛沼窯跡（新堤地区・蟹沢地区）の植物珪酸体（プラント・オパール）



— 50 μ m

第6章 総括

第1節 新堤地区

- ・今回調査した2基の半地下式有牀（ロストル）式平窯は、本窯跡の位置する台原・小田原窯跡群の一つである神明社窯跡A地点（蟹沢中瓦窯跡）に次ぐ東北地方で2例目の発見である。神明社窯跡で調査された平窯は多賀城II期であり、今回調査した平窯は多賀城IV期に位置付けられる。今までのところ東北地方では、古代の平窯は台原・小田原窯跡群内でのみ確認されている。
- ・今回調査した1・3号窯跡の分焰牀は2基ともに6列で、1号窯跡は焼成部～燃焼部の全長約4.8m、焼成部の奥行き約1.1m・幅約2.2m、3号窯跡は焼成部～燃焼部の全長約4.3m、焼成部の奥行き約1.2m・幅約2.1mである。平安宮所用瓦を焼成していた9世紀における官営工房の平窯は分焰牀が6列で、焼成部～燃焼部の全長約5m、焼成部の奥行き約1m・幅約2mである。今回調査した平窯2基は、9世紀における官営工房の平窯の構造と一致しており、同様の規模である。「陸奥国修理府」が、多賀城所管の従来の造瓦所を補強する目的で、中央の木工寮造瓦所などに援助を求める結果の反映と考えられる。
- ・今回調査した平窯の瓦生産量は、以下のように考えることができる。本地区の1・3号窯跡の窯詰めが、京都市左京区岩倉幡枝町に所在する栗栖野瓦屋・福枝1号瓦窯跡と同様の窯詰が行われていたと仮定した場合、1段目は分焰牀の上にまたがり、平瓦を交互に腹合わせ、背合せの状態に置き、2段目は1段目の瓦列と交差するように瓦詰めされる。以上のことを踏まえて計算すると、一度に焼成された平瓦の枚数は以下のようになる。

1号窯跡の焼成部の奥行きは1.0～1.1m、幅は2.1～2.2m、分焰牀上端部からの現存する壁高は約0.9mである。焼成部の焰道は、7条確認されている。1号窯跡から出土している平瓦の最も長いものは37.7cm、広端幅で最も広いものは26.7cm、凸面中央から凹面側縁端部までの厚さの中で最も厚いものは7.5cmである。以上のことから、1号窯跡の1段目では、焰道からみて平瓦を7列、奥行きから1列あたり13枚程度、2段目は奥行きからみて4列、幅から28枚程度並べることが可能である。残存している壁高からみて、2～3段積み重ねることができると判断でき、3段目は1段目と同様と考えることができる。その結果、1段目と3段目は7列×13枚×2段=182枚、4列×28枚×1段=112枚となる。合計すると2段積み上げて焼成した場合には203枚、3段積みの場合には294枚となる。3段目が1・2段目と同様に全面にわたって積み上げられたのか否かに関しては不明である。

3号窯跡の焼成部の奥行きは1.0～1.2m、幅は2.0～2.1m、分焰牀上端部からの現存する壁高は約0.85～0.95mである。焼成部の焰道は、7条確認されている。3号窯跡から出土している平瓦の最も長いものは38.3cm、広端幅で最も広いものは28.5cm、凸面中央から凹面側縁端部までの厚さの中で最も厚いものは7.8cmである。1号窯跡と同様に計算すると、1段目と3段目は7列×14枚×2段=196枚、4列×25枚×1段=100枚、4列×26枚×1段=104枚と考えられる。合計すると2段積み上げて焼成した場合には198～202枚、3段積みの場合には296～300枚となる。3段目が1・2段目と同様に全面にわたって積み上げられたのか否かに関しては、1号窯跡と同様に不明である。
- ・窯窓の構造は半地下式無階無段（谷の西側斜面に所在する7～10号窯跡）と、半地下式有階無段（谷の北側斜面に所在する4～6号窯跡）が認められる。
- ・平瓦は成形痕跡から、多賀城平瓦II B類（多賀城III期）・同II C類（同IV期）に分けられる。
- ・窯窓は半地下式無階無段の7～10号窯跡が多賀城III期、半地下式有階無段の4～6号窯跡と平窯の1・3号窯跡が同IV期に相当する。
- ・窯窓の規模は全長5.25～6.9m、幅50～80cm、残存壁高40～60cmである。
- ・貞觀11（869）年、陸奥国大地震により、国府多賀城、その付属寺院（多賀城廢寺）は甚大な被害を受けた。

律令政府は「陸奥国修理府」を設置し、中央主導で震災復興にあたった。今回調査した平窯は、その震災復興の一端を示すものと考えられる。同時に、『日本三代実録』貞觀12(870)年9月15日の項にみえる「復興のために瓦造りに長けた新羅人を陸奥国に配属した」という記事と符合する資料といえる。

- ・新堤地区から出土している瓦の破片数は、軒丸瓦12点・丸瓦6,882点・軒平瓦17点・平瓦29,480点・道具瓦58点の計36,449点である。平瓦が多く80.9%を占める。次いで丸瓦の18.9%である。その他の軒丸瓦・軒平瓦・道具瓦は合計しても1%未満である。そのうち、窯跡から出土した瓦は、丸瓦1,688点・軒平瓦3点・平瓦7,167点・道具瓦31点の計8,889点である。百分比で見ると丸瓦が19.0%・平瓦が80.6%である。平窯のみでは、丸瓦1,197点・軒平瓦2点・平瓦6,350点・道具瓦31点の計7,580点である。百分比で見ると丸瓦15.8%・平瓦83.8%である。窯窓のみでは、丸瓦491点・軒平瓦1点・平瓦817点の計1,309点である。百分比で見ると丸瓦37.5%・平瓦62.4%である。
- ・日本国内における棟平瓦は、本窯跡以外では多賀城跡から出土しているのみである。多賀城跡から出土している棟平瓦は、本地区から供給された可能性が考えられる。このような棟平瓦は、朝鮮半島の統一新羅時代(689-935年)の都であった大韓民国慶尚北道慶州市内の遺跡(月城、雁鴨池、七佛庵、整藏寺址、金丈里瓦窯址)から発見されている。

第2節 蟹沢地区西地点

- ・窯窓は燃焼部が崩落しており、構造が確認できたのは半地下式無階無段(5~9号窯跡)の5基のみである。
- ・窯窓の時期は、出土した瓦から多賀城Ⅲ期に相当する。
- ・窯窓の規模は、後世の削平と崩落により全長は明確にできないが、幅50~95cm、残存壁高35~68cmである。
- ・窯構築材などとして用いられた多賀城Ⅱ期の特徴をもつ重圓文軒丸瓦や、方形突出をもつ平瓦は、隣接する蟹沢地区東地点からは出土していない。これは、谷を下った桥江遺跡、神明社窯跡A地点(蟹沢中瓦窯跡)に認められることから、そこから持ち込まれ、転用された可能性がある。
- ・蟹沢地区西地点から出土している瓦を破片数から見ると、軒丸瓦170点・丸瓦1,113点・軒平瓦264点・平瓦13,387点・道具瓦43点の計14,977点である。百分比で見ると丸瓦が7.4%・平瓦が89.4%であり、その他の軒丸瓦・軒平瓦・道具瓦は合計で3.2%である。そのうち、窯跡から出土した瓦は、軒丸瓦11点・丸瓦81点・軒平瓦18点・平瓦1,555点・道具瓦6点の計1,671点である。百分比で見ると丸瓦4.8%・平瓦93.1%・その他軒丸瓦など2.1%である。
- ・8~9号窯跡は、最終操業面からそれぞれ須恵器坏、風字硬が出土していることから、瓦陶兼業窯であると考えられる。
- ・水切り瓦(12葉細弁蓮華文、多賀城311)と同型式のものは、本窯跡の所在する台原・小田原窯跡群内では神明社窯跡C地点で出土している1例のみである。水切り瓦の分布の中心は備後国で、周辺の備中国、安芸国、出雲国など中国地方に広く展開している。遠く離れた東北地方での、水切り瓦の在り方を考えるうえで示唆に富む。
- ・重弧文軒平瓦(多賀城710)には、ヘラ描きによる弧文が端部で屈曲するものと、屈曲せず弧を描いたままのものがある。前者は多賀城、後者は陸奥国分寺から出土していることが知られており、本窯跡で生産された瓦が双方に供給されていたと考えられる。
- ・隅木蓋瓦は、一般的には瓦の中心線上にある孔から釘を打ち、隅木に取り付けられている。本地点から出土したものは、孔ではなく全て突起を設げていることから本地点から出土した隅木蓋瓦の使用方法は隅木に穴を穿ち、その穴に突起を挿入して取り付けるものと考えられる。

- ・本地点から出土した風字窓は、生産地・消費地ともに類例がみられない。これらの風字窓は一定の形態を示しているものではなく、多くの形態を示している。この風字窓は極めて特徴的な形状をしており、消費地で出土した場合には生産地を特定することが容易である。しかし出土した風字窓は類似した亜形態が多く、製品として確立する以前の試作品であることも考えておく必要がある。前述のとおり、今までこの形態の風字窓は類例がなく、今後の資料の増加に期待したい。

第3節 蟹沢地区東地点

- ・窓体構造は残存状態の悪い11号窓跡を除くと、半地下式有段無段窓窓が6基（10・12～15・18号窓跡）、半地下式無段無段窓窓が2基（16・17号窓跡）である。窓体の焼成部幅が1m前後のものがほとんどである。蟹沢西地点や新堤地区と比べて幅の広い構造となっている。窓体の還元硬化はやや弱い。
- ・窓体の断ち割り調査によって側壁の構架材が床面とほぼ同じ高さで設けるもの（10・12・13・15・18号窓跡）と、壁高を25～30cmほどもたせてから設置するもの（14・16号窓跡）との2種類であることを確認した。前者の場合、後者に比べて窓体構築時における地山の掘り込みは浅く、窓体の大部分が地上に構築されていたと考えられる。
- ・蟹沢地区東地点から出土している瓦を破片数から見ると、軒丸瓦129点・丸瓦1,027点・軒平瓦1点・平瓦6,563点・道具瓦68点の計7,788点である。百分比で見ると丸瓦が13.2%、平瓦が84.3%であり、その他の軒丸瓦・軒平瓦・道具瓦は合計で2.5%である。そのうち窓跡から出土した瓦をみると軒丸瓦54点・丸瓦451点・軒平瓦0点・平瓦2,871点・道具瓦27点の計3,403点である。百分比で見ると丸瓦13.2%・平瓦84.4%・その他2.3%である。
- ・窓跡から出土した軒瓦は、無段の重弁蓮華文軒丸瓦（多賀城211）が主体となっている。この軒丸瓦は、今回の調査で生産地での出土が初めて確認された。今まで陸奥国分寺では211が出土していないことから、多賀城に供給するために製作されたものと考えられる。
- ・東地点全体から出土した軒瓦は重弁蓮華文軒丸瓦（多賀城211、222、227）のみであり、軒平瓦は破片すら出土しなかった。窓跡群の南西に位置する安養寺下瓦窓跡や神明社窓跡A地点（蟹沢中瓦窓跡）からは偏行唐草文軒平瓦や単弧文軒平瓦が出土しており、これらの窓跡との分業体制を示唆するものと考えられるが、消費地での出土数が極端に少ない211は多賀城II期の補修瓦として製作された可能性も考えられる。
- ・「田」押印瓦は多賀城跡で出土した押印瓦と同種である。東地点で出土した押印の型式は、全て多賀城跡の調査で分類された「田」Bで、その押印位置は広端部側縁付近を中心に施されたものと見られる。陸奥国分寺に比べて、出土数量が多い多賀城が供給先である可能性が高い。
- ・面戸瓦は無文平瓦を裁断して製作している。今まで面戸瓦の多賀城跡からの出土例はみられないことから、陸奥国分寺、国分尼寺に供給するものであったと考えられる。
- ・無段丸瓦の製作技法は粘土紐巻き作りと考えられるが、凹面の玉縁に相当する部位に有段丸瓦と同様の窄まりが見られることから、多賀城II期に有段、無段に問らず同型の木製型で作り分けが行われたことが窺われる。
- ・平瓦は、全て一枚作りである。薄手（厚さ約1.5～2.0cm）で還元が弱く、軟質である。陸奥国分寺、国分尼寺にのみ出土例が確認されている凸面無文のもの（平瓦II類=陸奥国分寺分類VI類）や平行叩きを施すもの（陸奥国分寺分類I類）が出土している。

第4節 総 括

- ・3調査区で出土した軒瓦を多賀城に照らし合わせてみると、蟹沢地区東地点では重弁蓮華文軒丸瓦211・222・227が出土している。同西地点では重弁蓮華文軒丸瓦431、細弁蓮華文軒丸瓦310A・311、重圓文軒丸瓦、重弧文軒平瓦710、均整唐草文軒平瓦720・721Aが出土している。新堤地区では細弁蓮華文軒丸瓦310、重弧文

軒平瓦710、均整唐草文軒平瓦721B、連符文軒平瓦920、単波文軒平瓦921が出土している。蟹沢地区東地点は多賀城II期、同西地点はIII期に、新堤地区はIII・IV期に分類される。また、平瓦の製作工程をみると、東地点は、一枚作りで凸面無文、平行タタキのもので、多賀城II期にあたる。西地点では、凸面は糸切り痕、繩タタキ、タタキ目つぶれ、凹型台圧痕がみられ、凹面は糸切り痕、ナデがみられる。多賀城跡の調査報告によって分類された平瓦II B類であり、多賀城III期の特徴を持つ。新堤地区では一枚作りで、凸面は繩タタキ、凹型台圧痕、凹面は糸切り痕、ナデがみられる平瓦II B類と、凸面は繩タタキ、凹面には布目がみられ、凸面・凹面ともに調整が全く認められない平瓦II C類がある。前者は多賀城III期、後者は多賀城IV期である。丸瓦でみると東地点では主に無段丸瓦が出土しており、西地点と新堤地区はすべて有段丸瓦である。凸面は、繩タタキ、ロクロナデがみられ、凹面は粘土紐痕、布目がみられる。

- ・文字瓦でみると、東地点からは「田」の押印が出土している。同様の押印の出土例から、多賀城II期の特徴を持つ。西地点からは、わずか3点だが「上」「下」のヘラ書きがみられる。文字資料の少なさと「下」のヘラ書きの多賀城跡での出土例から、多賀城III期のものと一致する。新堤地区的押印は12種類、ヘラ書きは36種類以上で、平瓦の分類から多賀城IV期にあたる。
- ・台原・小田原窯跡群でみると、蟹沢地区東地点で出土している重弁蓮華文軒丸瓦222は、安養寺下瓦窯跡、神明社窯跡A地点（蟹沢中瓦窯跡）で類例がみられ、211は生産地としては初めての発見である。蟹沢地区西地点の重圓文軒丸瓦は神明社窯跡A地点（蟹沢中瓦窯跡）で、細弁蓮華文軒丸瓦310Aは神明社窯跡C地点、桥江遺跡で、細弁蓮華文軒丸瓦311は神明社窯跡C地点で、重弁蓮華文軒丸瓦431は安養寺下瓦窯跡でそれぞれ類例がみられる。重弧文軒平瓦710、均整唐草文軒平瓦720・721Aは神明社窯跡C地点から出土している。新堤地区ではIII期の軒丸瓦が細弁蓮華文310、軒平瓦は重弧文710、IV期の軒平瓦は均整唐草文721B・連符文920・単波文921が出土している。同タイプの均整唐草文は五本松窯跡・安養寺中圓瓦窯跡から出土している。連符文・単波文は生産地としては初めての発見である。
- 多賀城分類でみると、蟹沢地区西地点では細弁蓮華文310A・311、均整唐草文720・721が出土しており、その組み合わせから、神明社窯跡C地点と共に通する部分が多い。蟹沢地区西地点では重圓文軒丸瓦や方形突出をもつ平瓦が出土しており、隣接する東地点より神明社窯跡A地点（蟹沢中瓦窯跡）とのつながりが窺える。
- ・棟平瓦は、統一新羅で使用されていたが、その他の例として中国では、宋以降に軒丸瓦の代用品として使用された。日本国内では現在までのところ多賀城跡と新堤地区からのみ出土している。国内から出土している棟平瓦に関しては、隅木蓋瓦として使用されたとの意見もある。
- ・隅木蓋瓦は、本窯跡周辺では陸奥国分寺より出土しているが、突起のあるものは例がない。全国的にみても、突起のある例は認められない。
- ・水切り瓦は、本窯跡群周辺では神明社窯跡C地点で出土している。全国的に見ると備後寺町庵寺を中心とする地域（備後、備中、安芸、出雲）でみられる。
- ・蟹沢地区東地点の窯窓の窓体構造は半地下式有階無段窓窓が6基（10・12～15・18号窓跡）と半地下式無階無段窓窓が2基（16・17号窓跡）、西地点では窯窓の窓体構造が理解できたのは半地下式無階無段（5～9号窓跡）の5基、新堤地区的窓体構造は半地下式無階無段（7～10号窓跡）の4基と半地下式有階無段（4～6号窓跡）の3基が認められる。
- ・3調査区の窓体構造を見ると、東地点では半地下式有階無段で幅が広く浅い特徴を持つ、西地点では半地下式無階無段で幅が狭く深い特徴を持つ、新堤地区では半地下式無階無段で幅が狭く深い特徴を持つものと、半地下式有階無段で幅が狭く深い特徴をもつものとがある。出土遺物から東地点は多賀城II期、西地点はIII期、新堤地区はIII・IV期の窓である。

- ・天井構架材は、東地点では窯体内の燃焼部と焼成部境に太い炭化材、窯体外に細い炭化材がみられる。西地点では、窯体内の構架材痕が床面から立ち上がるるものと、壁上部から立ち上がるものとがある。天井には構架材痕跡がすだれ状にみられた。新堤地区では断ち割り調査をおこなっていないことから窯体内的構架材は不明であるが、窯体外に細い炭化材を確認している。
- ・蟹沢地区西地点の8号窯跡では天井部が一部残存しており、天井部の内面には構架材の痕跡が明瞭に残されている。その他の窯跡でも天井崩落上の内面には同様の痕跡が認められる。このような構架材の痕跡は蟹沢地区東地点や新堤地区においても確認することができる。蟹沢地区西地点の7号窯跡の天井部は崩落し、床面近くで出土した。この天井部の内面に残された構架材の痕跡が、最も明確に残されているものである。構架材の痕跡は、窯跡の長軸方向に沿うように並んだ溝状に確認されている。構架材は密に並べられていたと考えられ、隣り合う溝状の痕跡は相互に接するように並んでいる。溝状の痕跡は、旧地表面よりも若干下の壁上部から始まり、天井部を形成して反対側の壁上部に及んでいる。これらの構架材の痕跡から、窯窓の壁上部から天井部の構架方法の一端を理解することができる。
- ・窯体の被熱状況は、蟹沢地区東地点で黄橙色、同地区西地点で灰白色、新堤地区的平窯で明赤褐色・暗赤褐色、窯窓は灰白色である。これらは出土遺物の色調と共通するものである。
- ・新堤地区で検出した平窯は有牀（ロストル）式であるが、朝鮮半島における同時代及びそれ以前・以後の平窯には分焔牀は存在していない。また、日本における平窯の変遷をみると、藤原宮造営（7世紀末）に伴い統一新羅から平窯を導入し、奈良時代に有牀（ロストル）式平窯が出現した。新堤地区で調査した有牀（ロストル）平窯の意味を、合わせて考える必要がある。
- ・蟹沢地区西地点の谷部で記録した層位をみると、地滑り痕跡と考えられる堆積の下層に915年に降下したとされる灰白色火山灰が確認されている。このことから同地点で認められた地滑りの痕跡は、貞觀11（869）年の陸奥国大地震により引き起こされた地滑りではないと考えられる。陸奥国大地震以降、地滑りの原因となった災害に関しては不明である。
- ・新堤地区出土の文字瓦は、押印・ヘラ書きあわせて48種2,909点になる。そのほとんどが多賀城IV期の平窯とその施設から出土している。出土ヘラ書きのうち「井」・「伊」・「上工」・「大」・「田」・「伴」・「本」・「乙」が多賀城跡、「九」・「七」・「上」・「人」・「大」・「田」・「二」・「本」・「有」・「匁」が陸奥国分寺跡から出土している。このことは、新堤地区的瓦は多賀城、陸奥国分寺に供給されていたことを示している。押印については、すべて多賀城跡に見られるものである。特に「田」・「匁」の出土数が際立っている。陸奥国分寺跡出土の押印は見られなかった。また、文字瓦の種類の多さは、係った工人の多さを示すと考えられる。
- ・平窯出土の瓦は、酸化色を示すものと、還元色を示すものがある。窯体の色より製品は、酸化色を示すと見られ、還元色を示す瓦は構築材と考えられる。瓦は酸化焰で焼かれ、閉塞して還元せず、瓦窯として一工程省略して製作したと考えられる。以上のこととは、多くの人数で早急に多賀城・陸奥国分寺の復興を行ったことを示すものと考えられる。

引用・参考文献

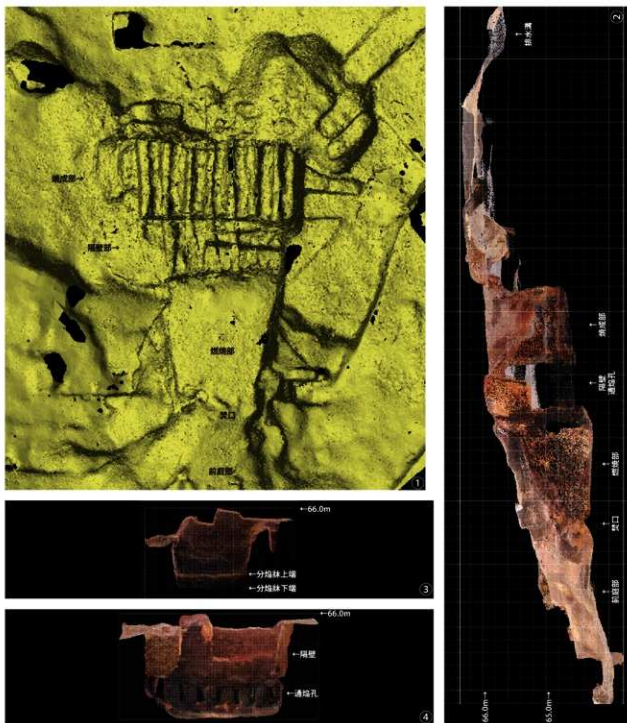
- | | |
|--|--|
| 吾妻俊典
生田和宏 | 2005 「奈良時代における多賀城の土器」『古代の土器研究 聖武朝の土器様式』古代の土器研究会 |
| 石井則孝
伊藤玄三
井内古文化研究室 | 2003 「城官衙道跡における陶窯の様相—多賀城跡を中心として—」『古代の陶窯をめぐる諸問題—地方における文書行政をめぐって—』独立行政法人文化財研究所奈良文化財研究所 |
| 樋畠晋也
福野彰子
上原真人
上原真人
上原真人
大川清
大川清 | 1985 「陶窯・考古学ライブラー42 ニュー・サイエンス社 |
| 井内古文化研究室 | 1991 「陸奥『新修国分寺の研究』吉川弘文館 |
| 樋畠晋也
福野彰子
上原真人
上原真人
上原真人
大川清
大川清 | 1968 「鬼面瓦の研究」 |
| 樋畠晋也
福野彰子
上原真人
上原真人
上原真人
大川清
大川清 | 1983 「古代の剛木造瓦」『古文化論叢』藤沢一夫先生古稀記念 |
| 樋畠晋也
福野彰子
上原真人
上原真人
上原真人
大川清
大川清 | 1995 「いわゆるムシロ底について」『研究報告』第10号 北上市立博物館 |
| 樋畠晋也
福野彰子
上原真人
上原真人
上原真人
大川清
大川清 | 1984 「天平十二、十三年の瓦工房」『研究論集』VII 奈良国立文化財研究所学報第41冊 |
| 樋畠晋也
福野彰子
上原真人
上原真人
上原真人
大川清
大川清 | 1997 「瓦を読む」『歴史発掘』11 講談社 |
| 樋畠晋也
福野彰子
上原真人
上原真人
上原真人
大川清
大川清 | 2002 「奈良時代の文字瓦」『行基の考古学』攝河泉古代寺院研究会 塚書房 |
| 樋畠晋也
福野彰子
上原真人
上原真人
上原真人
大川清
大川清 | 1966 「かわらの美」社会思想社 |
| 樋畠晋也
福野彰子
上原真人
上原真人
上原真人
大川清
大川清 | 1972 「日本の古代瓦窯」雄山閣 |
| 岡大院文化財センター | 1976 「陶邑 I」-本文編- 大阪府文化財調査報告書第28輯 |
| 大塙雄淵
本宮寛久
小川貴司
加藤孝・野崎準 | 1987 「奥州名所図会」『日本名所風俗図会』I.奥州・北陸の巻 角川書店収録 |
| 窯跡研究会・豊科町郷土博物館 | 1992 「水切り瓦の起源と伝播の意義」『吉備の考古学的研究(下)』山陽新聞社 |
| 窯跡研究会 | 1979 「回転式切り技法の展開」『考古学研究』第26巻第1号 考古学研究会 |
| 窯跡研究会 | 1972 「台の原・小田原窯跡群の古窯跡分布とその問題点」『紀要』第4号 東北学院大学東北文化研究所 |
| 窯跡研究会 | 1999a 「須恵器窯の技術と系譜—豊科、信濃、そして日本列島—」窯跡研究会第2回シンポジウム発表要旨集 |
| 窯跡研究会 | 1999b 「須恵器窯構造資料集I-出現期から8世紀中頃を中心にして-」 |
| 窯跡研究会 | 2004a 「須恵器窯の技術と系譜—2世紀中頃～12世紀を中心にして-」窯跡研究会第3回シンポジウム発表要旨集 |
| 窯跡研究会 | 2004b 「須恵器窯構造資料集2—8世紀中頃～12世紀を中心にして-」 |
| 窯跡研究会 | 2005 「窯跡研究」創刊号 |
| 窯跡研究会 | 2007 「窯跡研究」第2号 |
| 亀田修一 | 1997 「吉備における古代寺院の出現とその背景」『古代寺院の出現とその背景』第42回埋蔵文化財研究会資料 香芝市二上山博物館・埋蔵文化財研究会 |
| 亀田修一 | 2006 「日韓古代瓦の研究」吉川弘文館 |
| 菊池豊・山川純一
北野博司 | 2008 「仙台市与兵衛窑跡」『考古学ジャーナル』No.580 |
| 北野博司 | 2004 「陶窯の実用性能を考える—多賀城政庁跡出土陶窯を中心に-」『第2回東北文字資料研究会資料』東北文字資料研究会 |
| 北野博司 | 2007 「律令国家転換期の須恵器窯業」『国立歴史民俗博物館研究報告』第134集 |
| 北村信・石井武政・寒川胤・中川久夫 | 1986 「仙台地域の地質 地域地質研究報告（5万分の1地質図）」地質調査所 |
| 京都大学文学部考古学研究室 | 1982 「丹波周山窯址」 |
| 岡京都府埋蔵文化財調査研究センター | 1999 「奈良山瓦窯跡群」京都府遺跡調査報告書第27冊 |
| 倉石芳郎・坂詠秀一
国士館大学 | 1967 「古代・中世窯業の地質的特質 東北・関東」『日本の考古学』IV歴史時代上 河出書房 |
| 国立鹿児島大学 | 2008 「シンボジウム国分寺の創建を読むⅡ—組織・技術論」 |
| 国立鹿児島大学 | 2000 「新羅瓦罐」国立鹿児島博物館・鹿児世界文化エキスピ組織委員会 |
| 岡古代學協會 | 1978 「西質浅瓦窯跡」平安京跡研究調査報告第4輯 |
| 岡五島美術館 | 1978 「日本の陶窯」五島美術館展覧会図録No.98 |
| 古窯跡研究会 | 1972 「仙台市原町小田原一蟹沢中瓦窯跡発掘調査報告書」古窯跡研究会研究報告第1冊 |
| 古窯跡研究会 | 1973 「陸奥国官窯跡群—台の原古窯跡群調査報告」古窯跡研究会研究報告第2冊 |
| 古窯跡研究会 | 1976 「陸奥国官窯跡群II」古窯跡研究会研究報告第4冊 |
| 古窯跡研究会 | 1988 「仙台市蟹澤中瓦窯跡第2次調査報告—多賀城跡第II期・陸奥国分寺創建期瓦窯跡一半地下式の平廬（ロストル）」『陸奥国官窯跡群V』研究報告第8冊 |
| 佐川正敏 | 2009 「東アジアにおける仙台市与兵衛窑跡の位置づけ—瓦工房跡調査の基礎知識と平窯の起源・系譜を中心に-」『アジア文化史研究』第9号 東北学院大学大学院文学研究科アジア文化史専攻 |
| 櫻井友梓
桜田隆 | 2009 「多賀城周辺地域の須恵器窯構造」『宮城考古学』第11号 |
| 佐々木和博 | 1991 「須恵器窯の割削・天井架構材について」『研究紀要』第6号 秋田県埋蔵文化財センター |
| 史跡陸奥国分寺跡発掘調査委員会 | 1988 「江戸時代における古瓦の認識—宮城県域を中心に-」『調査研究報告』第8号 仙台市博物館 |
| 白鳥良一
白鳥良一 | 1961 「陸奥国分寺跡」 |
| 白鳥良一
白鳥良一 | 1980 「多賀城跡出土土器の変遷」『研究紀要』VII 宮城県多賀城跡調査研究所 |
| 進藤秋輝
菅原祥夫
菅原祥夫 | 1992 「陸奥における城牆・官衛の土器」『古代の土器研究会第1回シンポジウム』 古代の土器研究会 理令式土器様式の西・東 古代の土器研究会 |
| 進藤秋輝
菅原祥夫
菅原祥夫 | 1983 「東北地方の瓦窯」『佛教藝術』148号 每日新聞社 |
| 進藤秋輝
菅原祥夫
菅原祥夫 | 1996 「陸奥国府系瓦における造瓦組織の再編過程(1)」『論集しのぶ考古』論集しのぶ考古刊行会 |
| 進藤秋輝
菅原祥夫
菅原祥夫 | 1997 「東北東部—古代陸奥の土器生産体制と土器焼成坑—」『古代の土器生産と焼成遺構』窯跡研究会真隌社 |

- 菅原祥夫 2000 「平安時代における蝦夷系土器の南下－蝦夷の移住をめぐって－」『阿部正光君追悼集』阿部正光君追悼集刊行会
- 妹尾周三 1991 「芸芸・備後の方瓦（その1）－素糸から複糸へ（造寺活動と寺町廢寺式瓦の提唱）－」『古文化論叢』第26集 九州考古文化研究会
- 揖河泉古代寺院研究会 2003 「揖河泉古代瓦窯を考える」第5回揖河泉古代寺院フォーラム 播河泉文庫
- 仙台育英学園考古学研究部・古窯跡研究会 2009 「陸奥国官窯跡群Ⅶ 仙台市 安養寺下瓦窯跡調査報告書－陸奥国分寺・同尼寺創建期の瓦窯跡－」『秀光中等教育学校仙台育英学園高等学校研究紀要』第24号
- 仙台市教育委員会 1969 「史跡陸奥国分寺跡環境整備並びに調査報告書」仙台市文化財調査報告書第4集
- 仙台市教育委員会 1973 「仙台市荒巻五本松窯跡発掘調査報告書」仙台市文化財調査報告書第6集
- 仙台市教育委員会・古窯跡研究会 1980 「棚江跡発掘調査報告書－造瓦所の調査－」仙台市文化財調査報告書第18集・古窯跡研究会研究報告第5冊
- 仙台市教育委員会 1982 「堤町窯跡B地」『仙台平野の遺跡群 I－昭和56年度発掘調査報告書－』仙台市文化財調査報告書第37集
- 仙台市教育委員会 1983 「神明社窯跡－昭和57年度発掘調査報告－」仙台市文化財調査報告書第54集
- 仙台市教育委員会 1986a 「五城中学校北窯跡発掘調査報告書」仙台市文化財調査報告書第92集
- 仙台市教育委員会 1986b 「五本松窯跡」『年報7』昭和60年度仙台市文化財調査報告書第94集
- 仙台市教育委員会 1987 「五本松窯跡 都市計画道路「川内・南小泉線」関連遺跡発掘調査報告書」仙台市文化財調査報告書第99集
- 仙台市教育委員会 1990 「陸奥国分寺」『仙台平野の遺跡群II』仙台市文化財調査報告書第134集
- 仙台市教育委員会 1993 「大蓮寺窯跡－第2・3次発掘調査報告書－」仙台市文化財調査報告書第168集
- 仙台市教育委員会 1997 「安養寺配水池窯跡調査報告書－高屋敷遺跡ほか発掘調査報告書」仙台市文化財調査報告書第223集
- 仙台市教育委員会 1998 「神明社窯跡A地点(第2次)」「神明社窯跡ほか発掘調査報告書」仙台市文化財調査報告書第232集
- 仙台市教育委員会 2000 「五本松窯跡(第3次調査)」「五本松窯跡ほか発掘調査報告書－」仙台市文化財調査報告書第247集
- 仙台市教育委員会 2003 「庚申前窯跡発掘調査報告書」「分寺東遺跡他発掘調査報告書」仙台市文化財調査報告書第266集
- 仙台市教育委員会 2006a 「与兵衛沼窯跡発掘調査現地説明会資料」
- 仙台市教育委員会 2006b 「仙台市与兵衛沼窯跡」「平成18年度宮城県遺跡調査成果発表会発表要旨」宮城県考古学会
- 仙台市教育委員会 2007a 「与兵衛沼窯跡」「第33回古代城柵官衙遺跡検討会資料集」古代城柵官衙遺跡検討会
- 仙台市教育委員会 2007b 「与兵衛沼窯跡」「宮城考古学 第9号」宮城県考古学会
- 仙台市教育委員会 2007c 「与兵衛沼窯跡(新堤地区)」発掘調査現地説明会資料
- 仙台市教育委員会 2007d 「与兵衛沼窯跡(蟹沢地区)」発掘調査現地説明会資料
- 仙台市教育委員会 2007e 「語り始めた遺跡たちⅡ～与兵衛沼窯跡～守り、伝え、そして生かす」仙台市文化財パンフレット第58集
- 仙台市教育委員会 2007f 「仙台市与兵衛沼窯跡蟹沢地区」「平成19年度宮城県遺跡調査成果発表会発表要旨」宮城県考古学会
- 仙台市教育委員会 2008a 「与兵衛沼窯跡-蟹沢地区-」「第34回古代城柵官衙遺跡検討会資料集」古代城柵官衙遺跡検討会
- 仙台市教育委員会 2008b 「与兵衛沼窯跡蟹沢地区」「宮城考古学」10周年記念第10号 宮城県考古学会
- 仙台市教育委員会 2009 「与兵衛沼窯跡隣接地試掘調査報告書」「山口遺跡他発掘調査報告書」仙台市文化財調査報告書第345集
- 仙台市史編纂委員会 1950 「仙台市史」3別編I
- 仙台市史編さん委員会 1995a 「仙台市史」資料編I古代中世
- 仙台市史編さん委員会 1995b 「仙台市史」特別編2考古資料
- 仙台市史編さん委員会 1999 「仙台市史」通史編I原始
- 仙台市史編さん委員会 2000 「仙台市史」通史編2古代中世
- 大韓民国国立慶州文化財研究所・日本窯跡研究会 2001 「韓・日古代窯跡研究成果と展望」
- 大韓民国文化部文化財管理局 1993 「雁鳴池発掘調査報告書」本文編・図版編 日本語版 西谷正ほか訳 学生社
- 多賀城市史編纂委員会 1991 「多賀城市史」第4巻考古資料
- 多賀城市史編纂委員会 1997 「多賀城市史」第1巻原始・古代・中世
- 高野芳宏・進藤秋輝・熊谷公男・渡辺伸行 1976 「多賀城の文字瓦(その1)」「研究紀要」Ⅲ 宮城県多賀城跡調査研究所
- 高野芳宏・熊谷公男 1978 「多賀城第Ⅱ期の刻印文字瓦」「研究紀要」Ⅴ 宮城県多賀城跡調査研究所
- 高野芳宏 2000 「多賀城・陸奥国分寺の文字瓦」「文字瓦と考古学」日本考古学協会第66総会国士館大学実行委員会
- 瀧口卓 1981 「宮城県仙台市橋江遺跡発見の焼土遺構について」『陸奥国官窯跡群IV』10周年記念号 研究報告第6冊 古窯跡研究会
- 田中広明 2007 「古代の官衙や集落と陶器」「研究紀要」第22号 (財)埼玉県埋蔵文化財調査事業団
- 種石悠 2007 「東北地方における原史・古代の土鍊について」『物質文化』83 物質文化研究会
- 帝塚山大学考古学研究所 2005 「造瓦体制の変革－東日本－」シンポジウム報告書
- 帝塚山大学考古学研究所 2006 「造瓦体制の変革－西日本－」シンポジウム報告書
- 帝塚山大学考古学研究所 2007 「造瓦体制の変革－畿内－」シンポジウム報告書
- 東北学院大学考古学研究部 1967 「安養寺中附瓦窯跡発掘調査報告」「温故」特集号

東北学院大学東北文化研究所	1968	「宮城県仙台市原町小田原安養寺中回瓦窯跡群出土遺物目録」『東北学院大学東北文化研究所考古研究資料目録』第1冊
東北芸術工科大学文化財保存修復研究センター	2008	「古代窯業の森林利用技術—陶人と森との関わり—予稿集」
東北古代土器研究会	2005	『東北古代土器集成—古墳後期—奈良・集落編—<宮城>』研究報告2
東北古代土器研究会	2008	『東北古代土器集成—須恵器・窓跡編—<陸奥>』研究報告3
東北古代土器研究会	2009	『7~8世紀の須恵器生産を巡る諸問題』発表要旨集 第1回東北古代土器研究会公開シンポジウム
内藤政恒・松本源吉	1938	『陸奥國分寺』『圓融寺の研究』考古學研究會
内藤政恒	1944	『本邦古硯考』養徳社
内藤政恒	1963~1965	「仙台市ノ原・小田原瓦窯址群と出土の古瓦（I）～（IV）」『歴史考古』9~10.11.12.13 日本歴史考古学会
中村浩	1982	『窯業遺跡入門』考古学ライブラリー13 ニュー・サイエンス社
濱田耕作	1934	『新羅古瓦の研究』京都帝國大學文學部考古學研究報告第13冊 京都帝國大學
原田良雄	1974	『東北古瓦図鑑』内藤政恒先生墓碑 雄山閣
広島県立歴史民俗資料館	1998	平成10年度考古企画展「ひろしまの古代寺院 寺町廐寺と水切り瓦」
福島県立博物館	1988	『陸奥の古瓦瓦が語る福島の古代史』
藤原学	1993	『須恵器と窯燃料薪』『考古学論叢』関西大学考古学研究室開設40周年記念
藤原学	1998	『瓦窯構造からみた焼成技術とその変遷』『崎嶠影一先生古希記念論文集』
藤原学	2007	『須恵器窯跡の復元研究—窯の構築・焼成実験の成果から—』『古代文化』第58巻第IV号
舟山萬年	1822	『塩松勝譜』1926『仙台叢書別集』第四卷 仙台叢書刊行会収録
古谷道生	1994	『穴窓・策窓・焼成』理工社
松下正司	1969	『備後北部の古瓦—いわゆる水切瓦の様相—』『考古学雑誌』第55巻第1号 日本考古学会
松下正司	1993	『水切瓦再考』『考古論集』潮見浩先生退官記念論文集
凌哲夫・亀田修一	2006	『吉備の古代寺院』吉備考古学ライブラリー® 吉備人出版
宮城都教育会	1928	『史跡名勝 多賀城の瓦』『宮城都誌』
宮城県教育委員会・宮城県多賀城跡調査研究所	1980	『多賀城跡政府跡跡図録』
宮城県教育委員会・宮城県多賀城跡調査研究所	1982	『多賀城跡政府跡跡本文編』
宮城県教育委員会・宮城県道路公社	1982	『多賀城跡政府跡跡本文編』
村田晃一	1987	『福沢・大沢窯跡ほか 仙台・松島道路建設関係遺跡調査報告書』宮城県文化財調査報告書第116集
村田晃一	1992	『多賀城周辺における奈良・平安時代の須恵器生産』『大戸窯検討のための会津シンポジウム』東日本における古代・中世窯業の諸問題 大戸古窯跡群検討会
村主岩吉	1927	『多賀城瓦窯址』『考古学雑誌』第17巻第8號
森郁夫	1986	『瓦』考古学ライブラリー43 ニュー・サイエンス社
森郁夫・金誠龜	2008	『日韓の瓦』帝塚山大学出版会
柳澤和明	2002	『嵯峨城の多賀城』『古代文化』第54巻第11号 古代學協會
矢部良明ほか	2002	『角川日本陶器大辞典』角川書店
山川純一	2009	『神明社窯跡採集の櫻・窯書き丸瓦』『宮城考古学』第11号
山路直充	2005	『文字瓦の生産 七・八世紀の坂東諸国と陸奥国を中心に』『文字と古代日本』3流通と文字 吉川弘文館
山田一郎・庄子貞雄	1980	『宮城県に分布する灰白色火山灰について』『多賀城跡年報1979~昭和54年発掘調査概報ー』宮城県多賀城跡調査研究所
山田一郎・庄子貞雄	1981	『宮城県に分布する新断面の灰白色火山灰について』『日本土壤肥料科学雑誌』第52巻第2号 日本土壤肥料学会
結城慎一	1991	『宮城県における古代火山灰の年代観について』『調査研究報告』第11号 仙台市博物館
吉田恵二	2003	『陶器研究の現状と課題』『古代の陶器をめぐる諸問題ー地方における文書行政をめぐってー』独立行政法人文化財研究所奈良文化財研究所
利府町教育委員会	1991	『春日窯跡群—宮城利府町東部地区重要遺跡分布調査報告書ー』利府町文化財調査報告書第7集
利府町教育委員会	2004	『大貝窯跡群』利府町文化財調査報告書第12集
渡辺一	2006	『古代東国の大貝窯跡群』青木書店
渡部弘美	2008	『仙台市と兵衛沼窯跡群の発掘調査』『古代窯業の森林利用技術—陶人と森との関わり—予稿集』東北芸術工科大学文化財保存修復研究センター
渡邊泰伸	1972	『宮城県仙台市小田原庚申中前窯跡概報(研究発表要旨)』『歴史』42輯 東北史学会
渡邊泰伸	1983	『多賀城創建以前の瓦生産とその供給地の様相-仙台市大連窯瓦窯跡を中心として-』『紀要』第14号 東北学院大学東北文化研究所
渡邊泰伸	1990	『瓦生産の諸段階—古代東北地方における瓦生産導入期—』『考古学古代史論叢』伊東信雄先生追悼伊東信雄先生追悼論文集刊行会
渡邊泰伸	1995	『瓦生産の諸段階—古代東北地方における第二段階の瓦生産(多賀城創建期)ー』『王朝の考古学』大川出版社古稀記念会 雄山閣
渡邊泰伸	2006	『古代東北における古瓦の研究』『秀光中等教育学校・仙台育英学園高等学校研究紀要』第21号
渡邊泰伸	2007	『陸奥國分寺跡出土瓦について—軒瓦と瓦生産からみた国分寺の変遷—』『考古学談叢』東北大大学院文学研究科考古学研究室・須藤隆先生退任記念論文集刊行会 六一書房

1号糞跡・3号糞跡周辺の3D測量図

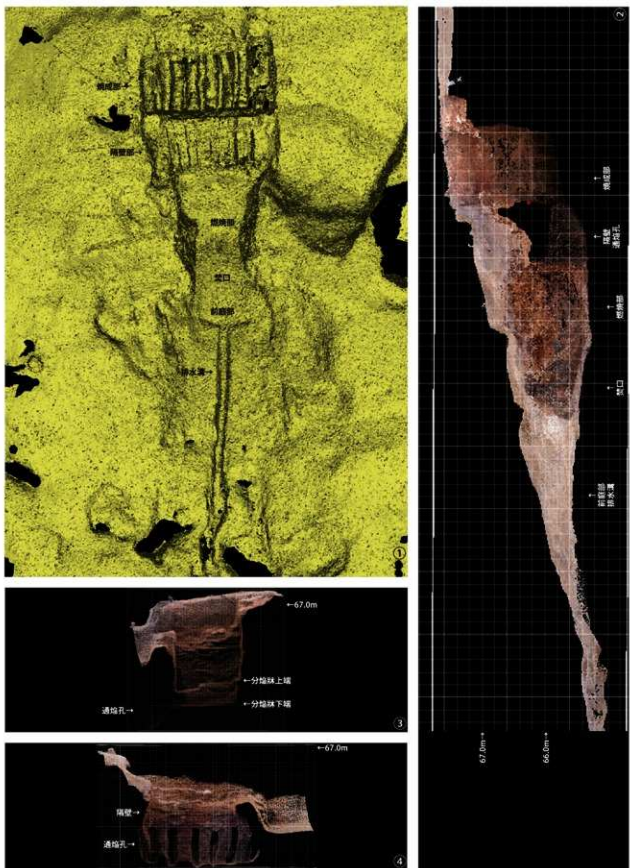




新堤地区 1号窯跡 三次元測量点群の正射投影（オルソ）

- ① 平面 (1/60) 表面テクスチャー処理
 ② 前庭部から排水溝までの縦断面見透図 (1/60)
 ③ 焼成部の縦断面見透図 (1/60)
 ④ 隔壁部の横断面見透図 (1/60)

- ・正射投影（オルソ・Ortho）：写真是レンズ中心に光束が集まる中心投影であるのに対し、一定の面上にそれと直交する平行線で投影することを正射投影という。正射投影により写真がもつ投影の特性である歪みを取り除くことができる。写真等を貼り付けたものを、正射投影画像といい。
- ・テクスチャ（texture）：本来は織物の質感を示す言葉である。コンピュータの用語では、物体の表面や質感を表す模様、または画像のこと。コンピュータグラフィックを全体的にとらえた特徴・材質感・効果を指す。テクスチャ・マッピングと同義的に使用されることもある。3D グラフィックスでは、モデリングされた物体の表面に、単一色ではなく柄や模様などの画像を貼り付けることをテクスチャ・マッピングといい。テクスチャ・マッピングは 3D オブジェクトの質感の向上をもたらす。
- ・前頁の 3D 測量粗図は、三次元測量点群のデータをもとに作成した 10 cm コンタ図の粗図である。



新堤地区 3号窯跡 三次元測量点群の正射投影（オルソ）

- ①平面 (1/60) 地表面テクスチャー処理
- ②前部部から排水溝までの縦断面見透図 (1/60)
- ③焼成部の縦断面見透図 (1/60)
- ④隔壁部の横断見透面 (1/60)

写真図版